





Sociedade Brasileira de Cardiologia ISSN-0066-782X



### Resumo das Comunicações

## 40º CONGRESSO BRASILEIRO DE ARRITMIAS CARDÍACAS – SOBRAC 2023

30 DE NOVEMBRO A 02 DE DEZEMBRO DE 2023 RIO DE JANEIRO - RJ



# CELEBRAMOS COM ORGULHO OS 40 ANOS DE DEDICAÇÃO E EXCELÊNCIA DA SOBRAC!

Quatro décadas de avanços, aprendizado e compromisso com a saúde cardíaca.

Agradecemos a todos que contribuíram para esse percurso de sucesso e reafirmamos nosso compromisso em promover a excelência na prevenção, diagnóstico e tratamento das arritmias cardíacas no Brasil.



Vamos juntos em direção a um futuro ainda mais saudável e vibrante!

WWW.SOBRAC.ORG

### **Corpo Editorial**

**Editor-Chefe** 

Carlos Eduardo Rochitte

Coeditor Internacional

João Lima

Editor de Mídias Sociais

Tiago Senra

Editor de Consultoria Chinesa

Ruhong Jiang

Editores Associados Cardiologia Clínica

Gláucia Maria Moraes de Oliveira Natália Quintella Sangiorgi Olivetti (coeditora) Cardiologia Cirúrgica

Alexandre Siciliano Colafranceschi

Cardiologia Intervencionista

Pedro A. Lemos

Cardiologia Pediátrica/Congênitas

Ieda Biscegli Jatene

Vitor C. Guerra

Arritmias/Marca-passo

Mauricio Scanavacca

Métodos Diagnósticos Não Invasivos

Nuno Bettencourt

Pesquisa Básica ou Experimental

Marina Politi Okoshi

Epidemiologia/Estatística

Marcio Sommer Bittencourt

Hipertensão Arterial

Paulo Cesar B. V. Jardim

Ergometria, Exercício e Reabilitação Cardíaca

Ricardo Stein

Genética

Natália Quintela Sangiorgi Olivetti

Primeiro Editor (1948-1953)

† Jairo Ramos

### **Conselho Editorial**

### Brasi

Aguinaldo Figueiredo de Freitas Junior – Universidade Federal de Goiás (UFG), Goiânia GO – Brasil

Alfredo José Mansur – Faculdade de Medicina da Universidade de São Paulo (FMUSP), São Paulo, SP – Brasil

Aloir Queiroz de Araújo Sobrinho – Instituto de Cardiologia do Espírito Santo, Vitória, ES – Brasil

Amanda Guerra de Moraes Rego Sousa Instituto Dante Pazzanese de Cardiologia/Fundação Adib Jatene (IDPC/FAJ), São Paulo, SP – Brasil

Ana Clara Tude Rodrigues – Hospital das Clínicas da Universidade de São Paulo (HCFMUSP), São Paulo, SP – Brasil

André Labrunie – Hospital do Coração de Londrina (HCL), Londrina, PR – Brasil Andrei Carvalho Sposito – Universidade Estadual de Campinas (UNICAMP), Campinas, SP – Brasil

Angelo Amato Vincenzo de Paola Universidade Federal de São Paulo (UNIFESP), São Paulo, SP – Brasil

Antonio Augusto Barbosa Lopes – Instituto do Coração Incor HCFMUSP (INCOR), São Paulo, SP – Brasil

Antonio Carlos de Camargo Carvalho – Universidade Federal de São Paulo (UNIFESP), São Paulo, SP – Brasil

Antônio Carlos Palandri Chagas – Universidade de São Paulo (USP), São Paulo, SP – Brasil

Antonio Carlos Pereira Barretto – Universidade de São Paulo (USP), São Paulo, SP – Brasil

Antonio Cláudio Lucas da Nóbrega – Universidade Federal Fluminense (UFF), Rio de Janeiro, RJ – Brasil

Antonio de Padua Mansur – Faculdade de Medicina da Universidade de São Paulo (FMUSP), São Paulo, SP – Brasil

Ari Timerman (SP) – Instituto Dante Pazzanese de Cardiologia (IDPC), São Paulo,

Ayrton Pires Brandão – Universidade do Estado do Rio de Janeiro (UERJ), Rio de Janeiro RI – Brasil

Beatriz Matsubara – Universidade Estadual Paulista Júlio de Mesquita Filho (UNESP), São Paulo, SP – Brasil Brivaldo Markman Filho – Universidade Federal de Pernambuco (UFPE), Recife, PE – Brasil

Bruno Caramelli – Universidade de São Paulo (USP), São Paulo, SP – Brasil

Carísi A. Polanczyk – Universidade Federal do Rio Grande do Sul (UFRGS), Porto Alegre, RS – Brasil

Carlos Eduardo Rochitte Instituto do Coração do Hospital das Clínicas da Faculdade de Medicina (INCOR HCFMUSP), São Paulo, SP – Brasil

Carlos Eduardo Suaide Silva – Universidade de São Paulo (USP), São Paulo, SP – Brasil

Carlos Vicente Serrano Júnior – Instituto do Coração (Incor HCFMUSP), São Paulo, SP – Brasil Celso Amodeo – Instituto Dante Pazzanese de Cardiologia/Fundação Adib Jatene (IDPC/

FAJ), São Paulo, SP – Brasil Charles Mady – Universidade de São Paulo (USP), São Paulo, SP – Brasil

Claudio Gil Soares de Araujo – Universidade Federal do Rio de Janeiro (UFRJ), Rio de Janeiro, RJ – Brasil

Cláudio Tinoco Mesquita – Universidade Federal Fluminense (UFF), Rio de Janeiro, RJ – Brasil

Cleonice Carvalho C. Mota – Universidade Federal de Minas Gerais (UFMG), Belo Horizonte, MG – Brasil

Clerio Francisco de Azevedo Filho – Universidade do Estado do Rio de Janeiro (UERJ), Rio de Janeiro, RJ – Brasil

Dalton Bertolim Précoma – Pontifícia Universidade Católica do Paraná (PUC/PR), Curitiba. PR – Brasil

Dário C. Sobral Filho – Universidade de Pernambuco (UPE), Recife, PE – Brasil

Décio Mion Junior – Hospital das Clínicas da Faculdade de Medicina da Universidade de São Paulo (HCFMUSP), São Paulo, SP – Brasil

Denilson Campos de Albuquerque – Universidade do Estado do Rio de Janeiro (UERJ), Rio de Janeiro, RJ – Brasil

Djair Brindeiro Filho – Universidade Federal de Pernambuco (UFPE), Recife, PE – Brasil Edmar Atik – Hospital Sírio Libanês (HSL), São Paulo, SP – Brasil

Emilio Hideyuki Moriguchi – Universidade Federal do Rio Grande do Sul (UFRGS) Porto Alegre, RS – Brasil

Enio Buffolo – Universidade Federal de São Paulo (UNIFESP), São Paulo, SP – Brasil Eulógio E. Martinez Filho – Instituto do Coração (Incor), São Paulo, SP – Brasil

Evandro Tinoco Mesquita – Universidade Federal Fluminense (UFF), Rio de Janeiro, RJ – Brasil

Expedito E. Ribeiro da Silva – Universidade de São Paulo (USP), São Paulo, SP – Brasil

Fábio Vilas Boas Pinto – Secretaria Estadual da Saúde da Bahia (SESAB), Salvador, BA – Brasil

Fernando Bacal – Universidade de São Paulo (USP), São Paulo, SP – Brasil

Flávio D. Fuchs – Universidade Federal do Rio Grande do Sul (UFRGS), Porto Alegre,

Francisco Antonio Helfenstein Fonseca – Universidade Federal de São Paulo (UNIFESP), São Paulo, SP – Brasil

Gilson Soares Feitosa – Escola Bahiana de Medicina e Saúde Pública (EBMSP), Salvador, BA – Brasil

Glaucia Maria M. de Oliveira – Universidade Federal do Rio de Janeiro (UFRJ), Rio de Janeiro, RJ – Brasil

Hans Fernando R. Dohmann, AMIL – Assist. Medica Internacional LTDA., Rio de Janeiro, RJ – Brasil

Humberto Villacorta Junior – Universidade Federal Fluminense (UFF), Rio de Janeiro, RI – Brasil

Ines Lessa – Universidade Federal da Bahia (UFBA), Salvador, BA – Brasil

Iran Castro – Instituto de Cardiologia do Rio Grande do Sul (IC/FUC), Porto Alegre, RS – Brasil

Jarbas Jakson Dinkhuysen – Instituto Dante Pazzanese de Cardiologia/Fundação Adib Jatene (IDPC/FAJ), São Paulo, SP – Brasil

João Pimenta – Instituto de Assistência Médica ao Servidor Público Estadual (IAMSPE), São Paulo, SP – Brasil

Jorge Ilha Guimarães – Fundação Universitária de Cardiologia (IC FUC), Porto Alegre, RS – Brasil

José Antonio Franchini Ramires – Instituto do Coração Incor HCFMUSP (INCOR), São Paulo. SP – Brasil

José Augusto Soares Barreto Filho – Universidade Federal de Sergipe, Aracaju, SE – Brasil

José Carlos Nicolau - Instituto do Coração (Incor), São Paulo, SP - Brasil

José Lázaro de Andrade – Hospital Sírio Libanês, São Paulo, SP – Brasil

José Péricles Esteves - Hospital Português, Salvador, BA - Brasil

Leonardo A. M. Zornoff – Faculdade de Medicina de Botucatu Universidade Estadual Paulista Júlio de Mesquita Filho (UNESP), Botucatu, SP – Brasil

Leopoldo Soares Piegas – Instituto Dante Pazzanese de Cardiologia/Fundação Adib Jatene (IDPC/FAJ) São Paulo, SP – Brasil

Lucia Campos Pellanda – Fundação Universidade Federal de Ciências da Saúde de Porto Alegre (UFCSPA), Porto Alegre, RS – Brasil

Luís Eduardo Paim Rohde – Universidade Federal do Rio Grande do Sul (UFRGS), Porto Alegre, RS – Brasil

Luís Cláudio Lemos Correia – Escola Bahiana de Medicina e Saúde Pública (EBMSP), Salvador, BA – Brasil

Luiz A. Machado César – Fundação Universidade Regional de Blumenau (FURB), Blumenau. SC – Brasil

Luiz Alberto Piva e Mattos – Instituto Dante Pazzanese de Cardiologia (IDPC), São Paulo, SP – Brasil

Marcia Melo Barbosa – Hospital Socor, Belo Horizonte, MG – Brasil

Marcus Vinícius Bolívar Malachias – Faculdade Ciências Médicas MG (FCMMG), Belo Horizonte, MG – Brasil

Maria da Consolação V. Moreira – Universidade Federal de Minas Gerais (UFMG), Belo Horizonte, MG – Brasil

Mario S. S. de Azeredo Coutinho – Universidade Federal de Santa Catarina (UFSC), Florianópolis, SC – Brasil

 $\label{eq:mauricio} \mbox{Mauricio Ibrahim Scanavacca} - \mbox{Universidade de São Paulo (USP), São Paulo, SP-Brasil}$ 

Max Grinberg – Instituto do Coração do HCFMUSP (INCOR), São Paulo, SP – Brasil Michel Batlouni – Instituto Dante Pazzanese de Cardiologia (IDPC), São Paulo, SP – Brasil

Murilo Foppa – Hospital de Clínicas de Porto Alegre (HCPA), Porto Alegre, RS – Brasil

Nadine O. Clausell – Universidade Federal do Rio Grande do Sul (UFRGS), Porto Alegre, RS – Brasil

Orlando Campos Filho – Universidade Federal de São Paulo (UNIFESP), São Paulo, SP – Brasil

Otávio Rizzi Coelho – Universidade Estadual de Campinas (UNICAMP), Campinas,  $\ensuremath{\mathsf{SP}}$  – Brasil

Otoni Moreira Gomes – Universidade Federal de Minas Gerais (UFMG), Belo Horizonte, MG – Brasil

Paulo Andrade Lotufo – Universidade de São Paulo (USP), São Paulo, SP – Brasil

Paulo Cesar B. V. Jardim – Universidade Federal de Goiás (UFG), Brasília, DF – Brasil

Paulo J. F. Tucci – Universidade Federal de São Paulo (UNIFESP), São Paulo, SP – Brasil

Paulo R. A. Caramori – Pontifícia Universidade Católica do Rio Grande do Sul (PUCRS), Porto Alegre, RS – Brasil

Paulo Roberto B. Évora – Universidade de São Paulo (USP), São Paulo, SP – Brasil Paulo Roberto S. Brofman – Pontifícia Universidade Católica do Paraná (PUCPR), Curitiba, PR – Brasil

Pedro A. Lemos – Hospital das Clínicas da Faculdade de Medicina da USP (HCFMUSP), São Paulo, SP – Brasil

Protásio Lemos da Luz – Instituto do Coração do HCFMUSP (INCOR), São Paulo, SP – Brasil

Reinaldo B. Bestetti – Universidade de Ribeirão Preto (UNAERP), Ribeirão Preto, SP – Brasil

Renato A. K. Kalil – Instituto de Cardiologia do Rio Grande do Sul (IC/FUC), Porto Alegre, RS – Brasil

Ricardo Stein – Universidade Federal do Rio Grande do Sul (UFRS), Porto Alegre, RS – Brasil

Salvador Rassi – Faculdade de Medicina da Universidade Federal de Goiás (FM/GO), Goiânia, GO – Brasil

Sandra da Silva Mattos – Real Hospital Português de Beneficência em Pernambuco, Recife, PE – Brasil

Sandra Fuchs – Universidade Federal do Rio Grande do Sul (UFRGS), Porto Alegre, RS – Brasil

Sergio Timerman – Hospital das Clínicas da Faculdade de Medicina da USP (INCOR HCFMUSP), São Paulo, SP – Brasil

Silvio Henrique Barberato – Cardioeco Centro de Diagnóstico Cardiovascular (CARDIOECO), Curitiba, PR – Brasil

Tales de Carvalho – Universidade do Estado de Santa Catarina (UDESC), Florianópolis, SC – Brasil

Vera D. Aiello – Instituto do Coração do Hospital das Clínicas da (FMUSP, INCOR), São Paulo, SP – Brasil

Walter José Gomes – Universidade Federal de São Paulo (UNIFESP), São Paulo, SP – Brasil

Weimar K. S. B. de Souza – Faculdade de Medicina da Universidade Federal de Goiás (FMUFG), Goiânia, GO – Brasil

William Azem Chalela – Instituto do Coração (INCOR HCFMUSP), São Paulo, SP – Brasil

Wilson Mathias Junior – Instituto do Coração (Incor) do Hospital das Clínicas da Faculdade de Medicina da Universidade de São Paulo (HCFMUSP), São Paulo, SP – Brasil

### Exterior

Adelino F. Leite-Moreira – Universidade do Porto, Porto – Portugal

Alan Maisel - Long Island University, Nova York - EUA

Aldo P. Maggioni – ANMCO Research Center, Florença – Itália

Ana Isabel Venâncio Oliveira Galrinho – Hospital Santa Marta, Lisboa – Portugal

Ana Maria Ferreira Neves Abreu – Hospital Santa Marta, Lisboa – Portugal

Ana Teresa Timóteo – Hospital Santa Marta, Lisboa – Portugal

Ana Teresa Timóteo – Hospital Santa Marta, Lisboa – Portugal

Fausto Pinto – Universidade de Lisboa, Lisboa – Portugal

Hugo Grancelli – Instituto de Cardiología del Hospital Español de Buenos Aires – Argentina

James de Lemos – Parkland Memorial Hospital, Texas – EUA

João A. Lima, Johns – Johns Hopkins Hospital, Baltimore – EUA

John G. F. – Cleland Imperial College London, Londres – Inglaterra

Jorge Ferreira – Hospital de Santa Cruz, Carnaxide – Portugal

Manuel de Jesus Antunes – Centro Hospitalar de Coimbra, Coimbra – Portugal

Marco Alves da Costa – Centro Hospitalar de Coimbra, Coimbra – Portugal

Maria João Soares Vidigal Teixeira Ferreira – Universidade de Coimbra, Coimbra – Portugal

Maria Pilar Tornos - Hospital Quirónsalud Barcelona, Barcelona - Espanha

Nuno Bettencourt – Universidade do Porto, Porto – Portugal

Pedro Brugada - Universiteit Brussel, Brussels - Bélgica

Peter A. McCullough – Baylor Heart and Vascular Institute, Texas – EUA

Peter Libby – Brigham and Women's Hospital, Boston – EUA

Roberto José Palma dos Reis – Hospital Polido Valente, Lisboa – Portugal

### Conselho Administrativo - Mandato 2023 (Sociedade Brasileira de Cardiologia)

### Região Norte/Nordeste

Nivaldo Menezes Filgueiras Filho (BA) Sérgio Tavares Montenegro (PE)

### Região Leste

Denilson Campos de Albuquerque (RJ) Andréa Araujo Brandão (RJ) – Presidente do Conselho Administrativo

### Região Paulista

Celso Amodeo (SP) João Fernando Monteiro Ferreira (SP)

SBC/DIC - André Luiz Cerqueira de Almeida

### Região Central

Carlos Eduardo de Souza Miranda (MG) – Vice-presidente do Conselho Administrativo Weimar Kunz Sebba Barroso de Souza (GO)

### Região Sul

Paulo Ricardo Avancini Caramori (RS) Gerson Luiz Bredt Júnior (PR)

### Comitê Científico

Denilson Campos de Albuquerque (RJ) Ibraim Masciarelli Francisco Pinto (SP) Weimar Kunz Sebba Barroso de Souza (GO)

### Presidentes das Soc. Estaduais e Regionais

SBC/AL - Pedro Henrique Oliveira de Albuquerque SBC/MS - Mauro Rogério de Barros Wanderley Júnior SBC/RN – Antônio Amorim de Araújo Filho SBC/AM - Mônica Regina Hosannah da Silva e Silva SBC/MT - Fábio Argenta SBC/SC - Daniel Medeiros Moreira SBC/BA - Joberto Pinheiro Sena SBC/NNE – José Albuquerque de Figueiredo Neto SBC/SE - Ursula Maria Moreira Costa Burgos SBC/CE - Almino Cavalcante Rocha Neto SBC/PA - João Maria Silva Rodrigues SBC/TO - Ibsen Suetônio Trindade SBC/DF – Fausto Stauffer Junqueira de Souza SBC/PB - Guilherme Veras Mascena SOCERON - Marcelo Salame SBC/ES – José Airton de Arruda SBC/PE - Carlos Japhet Da Matta Albuquerque SOCERGS - Fábio Cañellas Moreira SBC/GO - Humberto Graner Moreira SBC/PI - Jônatas Melo Neto SOCESP - Ieda Biscegli Jatene SBC/PR – Olímpio R. França Neto SBC/MA – Francisco de Assis Amorim de Aguiar Filho SBC/MG - Antônio Fernandino de Castro Bahia Neto SOCERI – Ronaldo de Souza Leão Lima

### Departamentos e Grupos de Estudo

SBC/DA - Marcelo Heitor Vieira Assad SBCCV - João Carlos Ferreira Leal DCC/GERTC - Adriano Camargo de Castro Carneiro DCC/GECO - Roberto Kalil Filho SBC/DCC - Bruno Caramelli SOBRAC - Fatima Dumas Cintra DEIC/GEICPED - Estela Azeka SBC/DCC/CP - Cristiane Nunes Martins SBHCI - Ricardo Alves da Costa DEIC/GEMIC - Marcus Vinicius Simões SBC/DCM - Maria Cristina Costa de Almeida DCC/GECIP - Marcelo Luiz da Silva Bandeira DEIC/GETAC - Silvia Moreira Ayub Ferreira SBC/DECAGE - José Carlos da Costa Zanon DCC/GECOP - Maria Verônica Câmara dos Santos DERC/GECESP - Marconi Gomes da Silva SBC/DEIC - Mucio Tavares de Oliveira Junior DCC/GEPREVIA - Isabel Cristina Britto Guimarães DERC/GECN - Lara Cristiane Terra Ferreira Carreira SBC/DEMCA - Álvaro Avezum Junior DCC/GAPO - Luciana Savoy Fornari DERC/GERCPM - Pablo Marino Corrêa Nascimento SBC/DERC - Ricardo Quental Coutinho DCC/GFAT - Carlos Vicente Serrano Iunior SBC/DFCVR - Elmiro Santos Resende DCC/GECETI – João Luiz Fernandes Petriz SBC/DHA - Lucélia Batista Neves Cunha

DCC/GEDORAC - Sandra Marques e Silva

DCC/GEECG - Nelson Samesima

### Arquivos Brasileiros de Cardiologia

### Volume 120, Nº 12, Supl. 1, Dezembro 2023

Indexação: ISI (Thomson Scientific), Cumulated Index Medicus (NLM), SCOPUS, MEDLINE, EMBASE, LILACS, SciELO, PubMed



Av. Marechal Câmara, 160 - 3º andar - Sala 330 20020-907 • Centro • Rio de Janeiro, RJ • Brasil Tel.: (21) 3478-2700

E-mail: arquivos@cardiol.br http://abccardiol.org/ SciFIO: www.scielo.br

**Departamento Comercial** 

Telefone: (11) 3411-5500 e-mail: comercialsp@cardiol.br

Produção Editorial

SBC - Setor Científico

Produção Gráfica e Diagramação

SBC - Setor de Comunicação e Marketing

Os anúncios veiculados nesta edição são de exclusiva responsabilidade dos anunciantes, assim como os conceitos emitidos em artigos assinados são de exclusiva responsabilidade de seus autores, não refletindo necessariamente a opinião da SBC.

Material de distribuição exclusiva à classe médica. Os Arquivos Brasileiros de Cardiologia não se responsabilizam pelo acesso indevido a seu conteúdo e que contrarie a determinação em atendimento à Resolução da Diretoria Colegiada (RDC) nº 96/08 da Agência Nacional de Vigilância Sanitária (Anvisa), que atualiza o regulamento técnico sobre Propaganda, Publicidade, Promoção e informação de Medicamentos. Segundo o artigo 27 da insígnia, "a propaganda ou publicidade de medicamentos de venda sob prescrição deve ser restrita, única e exclusivamente, aos profissionais de saúde habilitados a prescrever ou dispensar tais produtos (...)".

Garantindo o acesso universal, o conteúdo científico do periódico continua disponível para acesso gratuito e integral a todos os interessados no endereço: www.arquivosonline.com.br.



### Resumo das Comunicações

### 40° CONGRESSO BRASILEIRO DE ARRITMIAS CARDÍACAS -SOBRAC 2023

30 DE NOVEMBRO A 02 DE DEZEMBRO DE 2023 RIO DE JANEIRO - RJ



### Caros Colegas,

A produção científica brasileira na área das arritmias segue intensa, isso se reflete nos temas livres submetidos ao congresso SOBRAC 2023. No ano de 2023 foram submetidos 153 temas livres nas áreas de eletrofisiologia e experimental, clínica e métodos não invasivos, estimulação cardíaca artificial, casos clínicos e profissionais aliados, que foram submetidos a 1293 avaliações de 63 diferentes especialistas nas diferentes áreas, chegando à seleção de 10 trabalhos que concorrerão ao **Prêmio Eduardo Sosa de Melhor Tema Livre 2023**, sendo cinco desses trabalhos apresentados na manhã do dia 30/11 e cinco no dia 01/12. Após essa apresentação os trabalhos serão avaliados por prestigiosa banca sendo selecionados os três melhores temas livres que serão agraciados com a premiação.

Além disso outros 60 trabalhos, incluindo 10 casos clínicos, foram selecionados e serão apresentados no formato poster e também terão os seus resumos publicados nesse suplemento dos Arquivos Brasileiros de Cardiologia.

A evolução da tecnologia vem acontecendo de maneira muito rápida nas áreas das arritmias com a implementação de novas tecnologias de ablação e estimulação cardíaca, além da inteligência artificial e a melhor maneira de compartilhar a experiência dos diferentes serviços e discutir essa evolução é através dos temas livres.

A Comissão Científica do Congresso SOBRAC 2023 incentiva cada vez mais os diferentes grupos a utilizarem os temas livres como meio de compartilhar suas experiências e resultados nas diversas áreas de estudo das arritmias cardíacas.

Fátima Dumas Cintra Luiz

Presidente da SOBRAC

Cristiano Faria Pisani

Diretor Científico SOBRAC Presidente da Comissão de Seleção de Tema Livres e Casos Clínicos Silvia Boghossian

Presidente do 40º Congresso Brasileiro de Arritmias Cardíacas - SOBRAC 2023



### TEMAS LIVRES - 30 DE NOVEMBRO A 02 DE DEZEMBRO DE 2023

#### 1958

CORRELAÇÃO DO ESTUDO ELETROFISIOLÓGICO E O ESCORE DE RASSI NA ESTRATIFICAÇÃO DO RISCO DE MORTE EM PORTADORES DE DOENÇA DE CHAGAS

IEDA PRATA COSTA<sup>1</sup>; LUIZ EDUARDO MONTENEGRO CAMANHO<sup>2</sup>; RONALDO VASCONCELOS TÁVORA<sup>3</sup>; ALMINO CAVALCANTE ROCHA NETO<sup>1</sup>; ROBERTO LIMA FARIAS<sup>4</sup>: CRISTIANE BEZERRA LIBERATO<sup>4</sup>: EDUARDO ROCHA<sup>4</sup>.

1. UNIVERSIDADE FEDERAL DO CEARA, FORTALEZA - CE - BRASIL; 2. PRO CARDIACO, RIO DE JANEIRO - RJ - BRASIL; 3. HOSPITAL DE MESSEJANA -SESA CE, FORTALEZA - CE - BRASIL; 4. HOSPITAL UNIVERSITARIO WALTER CANTIDIO - UFC. FORTALEZA - CE - BRASIL

Introdução: A cardiopatia chagásica crônica (CCC) apresenta um conjunto de alterações estruturais que levam a uma alta morbimortalidade cardíaca. A morte súbita na CCC apresenta dificuldades na estratificação de risco. O estudo eletrofisiológico (EEF) poderá fornecer novos preditores de risco de eventos cardiovasculares nessa população. **Objetivo:** Analisar a associação entre a progressão do escore de Rassi com desfechos no EEF em pacientes (PT)com CCC.Métodos: Trata-se de um estudo tipo coorte prospectivo que incluiu 59 PT com doença de chagas. Esses PT foram classificados segundo Escore de Rassi e foram submetidos a EEF com/sem utilização de drogas antiarrítmicas. Os desfechos foram: presença de doença nó sinusal (tempo de recuperação do nó sinusal corrigido >550ms), distúrbios graves do sistema de condução (intervalo HV >70ms ou duplo HIS) e/ou indução de taquicardia ventricular/ fibrilação ventricular (TV/FV). Na análise estatística, para as variáveis qualitativas ou quantitativas ordinais, foi utilizado o teste de Kruskal-Wallis; para as variáveis categóricas foi utilizado o teste exato de Fisher, sendo considerado significante um p<0,05. Foi utilizado o teste de Mantel - Haenszel, para avaliar a independência das variáveis. **Resultados:** A idade média dos PT foi 58 anos, sendo 64,4% masculino. A média do Escore de Rassi foi 8,7+ 4,5 pontos, sendo 39,5% PT do baixo risco; 38,9% de risco intermediário e 27,1% de alto risco. A classe funcional (CF)NYHA III/ IV foi evidenciada em 10,2% dos PT, sendo a baixa voltagem do QRS foi vista em 30,5%. E, em 49,2% tinham cardiomegalia, 61% tinham TVNS e 62,7% tinham alteração segmentar ou global VE. O EEF foi alterado em 57,6% PT, sendo 3,4% por DNS, 6,8% por HV prolongado e 52,5% por TV/FV. O EEF teve desfechos em 35% do grupo baixo, 60,9% do intermediário e 81,3% do alto risco de Rassi (p=0,02). A razão de chances para o desfecho no EEF em relação aos grupos de risco é estimada em 1,8849 (IC95%: 1,15-3,06; p=0,01). **Conclusões:** O alto risco do Rassi está relacionado com probabilidade elevada de EEF alterado. A progressão do escore de Rassi está associada à presença de alterações no EEF nos pacientes com CCC, quanto maior o escore de Rassi maior chance de EEF alterado.

#### 2078

ESTUDO ELETROVETORCARDIOGRÁFICO DOS ANEURISMAS VENTRICU-LARES NA CARDIOPATIA ISQUÊMICA

LEONARDO PASCHOAL CAMACHO VARONI; NELSON SAMESIMA; HORACIO GOMES PEREIRA FILHO; MIRELLA ESMANHOTTO FACIN; BRUNA AFFONSO MADALOSO; CARLOS ALBERTO PASTORE.

INSTITUTO DO CORAÇÃO (INCOR), SÃO PAULO - SP - BRASIL

Introdução: O aneurisma ventricular é uma das complicações crônicas da síndrome coronariana aguda. Estudos com ECG estabeleceram critérios diagnósticos para identificá-los, entretanto com baixa acurácia. Método: Assim, caracterizamos o padrão eletrovetorcardiográfico (ECG/VCG) dos aneurismas ventriculares na cardiopatia isquêmica através da análise da repolarização ventricular em duas etapas (fases de teste e validação). Associamos os padrões da onda T com a fração de ejeção do ventrículo esquerdo. Fase de teste: 33 pacientes realizaram ecocardiograma com contraste (microbolhas), ECG e vetorcardiograma (VCG) no mesmo dia. Após o ecocardiograma, os pacientes foram divididos em grupo aneurisma (n=22) e grupo acinesia (n=11). Resultados: Ao ECG, a presença do padrão *plus-minus* da onda T em V2 e/ou V3 e/ou V4 (fig.1A), identificou o grupo aneurisma com sensibilidade 91%, especificidade 91%, valor preditivo positivo (VPP) 95% e valor preditivo negativo (VPN) 83% (p<0,0001). O VCG, no plano horizontal, identificou o grupo aneurisma através do padrão anterior-posterior da alça de T em V2 e/o u V3 e/ou V4 (fig.1B) com sensibilidade 95%, especificidade 91%, VPP 95% e VPN 91% (p<0,0001). Os aspectos ECG/VCG (*plus-minus*/anterior-posterior) evidenciaram maior disfunção do VE (34,344,4% v3 43,548,0%, p=0,002 e 34,344,3% vs 44,2±7,9%, p=0,002, respectivamente). Na fase de validação, 16 pacientes (50% grupos aneurisma/ acinesia) com ressonância magnética cardíaca foram incluídos. A identificação do grupo aneurisma, pelo ECG e pelo VCG, evidenciou sensibilidade, especificidade, VPP e VPN, respectivamente: 87,5%, 87,5% e 87,5% e 87,5% (p=0,01) e 75%, 87,5%, 87,5% e 77,7% (p=0,04). Tisete Kappa mostrou conocordância perfeita na interpretação eletrocardiogrâcia entre o examinador principal x avaliadores 1 e 2 (avaliador 1; к=0,625; p=0,012 e avaliador e valiador 1 (к=1,0;p<0,001), e concordância forte (VCG) entre o examinador principal x avaliadores de orda rom padrão *plus-minus* em V2 e/ou V3 e/ou V4 ao CGG, mostraram elev



### 2011

PULSE FIELD CRYOABLATION FOR PERSISTENT AF: EARLY SINGLE-CENTER EXPERIENCE FROM PARALELL TRIAL

LUIZ GUSTAVO BRAVOSI DA ROSA; VALERIA ANGLESIO; PAULA SANCHEZ; AHMED ALTURKI; VLADIMIR POLETAEV; MAYARA MAZA MARQUES; SANTIAGO SANCHEZ BUSTAMANTE; JACQUELINE JOZA; MARTIN BERNIER; ATUL VERMA; VIDAL ESSEBAG.

MCGILL, MONTREAL - CANADA.

Introduction: Pulsed Field Cryoablation (PFCA) is dual-energy cardiac ablation modality consisting of the short-duration ultra-low temperature cryoablation (ULTC) followed immediately by application of pulsed electric field delivered using the same catheter. PARALELL is a prospective, randomized, multi-center study evaluating safety and effectiveness of PFCA for treatment of persistent atrial fibrillation. We report the largest single center PFCA experience in the world to date. Methods: 11 patients, 67±12 y.o., 82% male, were randomized to receive PFCA treatment using Cryopulse™ ablation catheter (Adagio Medical, Inc, CA, USA) connected to the dedicated ULTC and PFA energy sources. The standard lesion set included the isolation of the pulmonary veins and posterior wall, with additional left and right atrial ablations performed at the discretion of the operator. The circular and linear lesions of varying dimensions were created by in-vivo shaping of flexible, 11 cm-long ablation element of the catheter using exchangeable stylets. The ULTC freeze of 30 second duration was followed immediately by bipolar, biphasic PFA pulse trains delivered sequentially between the pairs of sixteen 3-mm electrodes evenly spaced along the ablation element. Results: Successful isolation of the ablation targets was achieved in 100% of the cases. The PV isolation was performed using segmental approach with 3.8±1.7 applications per vein. The average number of PW and total energy applications were 8.5±2.7 and 25.1±8.2 respectively. The average procedure time, inclusive of mandatory 20 minutes with period was 134±44 minutes, with median 112 minutes, while average catheter dwell time was 85±29 minutes. Right atrial flutter ablation line was performed in 2 patients. The average procedure times were 141±38 minutes for the first 5 cases and 128±51 minutes in the subsequent cases (p=0.66). We had a transitory phrenic nerve palsy occurred in one patient. Conclusions: This early single center experience suggests that PFCA ablations can be per



### 2070

ADJUNCTIVE POSTERIOR WALL ISOLATION FOR PATIENTS WITH PERSISTENT ATRIAL FIBRILLATION: A META-ANALYSIS OF RANDOMIZED CONTROLLED TRIALS

ANDRÉ LUCAS CALLEJAS RIVERA<sup>1</sup>; ANTONIO DA SILVA MENEZES JUNIOR<sup>2</sup>; DOUGLAS MESADRI GEWEHR<sup>3</sup>; BÁRBARA NASCIMENTO<sup>4</sup>; ISABELE AYUMI MIYAWAKI<sup>5</sup>; CAIQUE MARTINS PEREIRA DE MOURA TERNES<sup>6</sup>.

1. UNIVERSIDADE NOVE DE JULHO, SÃO BERNARDO DO CAMPO - SP-BRASIL; 2. UNIVERSIDADE FEDERAL DE GOIÁS, GOIÂNIA - GO - BRASIL; 3. INSTITUTO DO CORAÇÃO DE CURITIBA, CURITIBA - PR - BRASIL; 4. UFRGS, PORTO ALEGRE - RS - BRASIL; 5. UFPR, CURITIBA - PR - BRASIL; 6. UFRGS, RIBEIRAO PRETO - SP - BRASIL.

Background: The efficacy and safety of adjunctive posterior wall isolation (PWI) to the standard pulmonary vein isolation (PVI) for patients with persistent atrial fibrillation (PeAF) is still unclear. Methods: We systematically searched PubMed, EMBASE, Cochrane Library, and ClinicalTrials.gov databases for randomized controlled trials (RCTs) comparing PVI alone versus PVI with PWI in patients with PeAF. Risk ratios (RR) with 95% confidence intervals (CI) were pooled with a random-effects model. Our primary endpoint was freedom from atrial tachyarrhythmia (ATA), a composite of atrial fibrillation (AF), atrial flutter, or atrial tachycardia. We used R version 4.3.1 for all statistical analyses. Results: Our meta-analysis included 8 RCTs, compromising 1,243 patients assigned to PVI (n=614) or PVI with PWI (n=629). Compared to PVI alone, the adjunctive PWI significantly increased freedom from ATA recurrence (RR 1.18; 95% CI: 1.05–1.32; p=0.006; Figure 1A). The benefit was mainly driven by freedom from ATA recurrence and AF duration (i.e., time since diagnosis of AF)(p<0.0.1; Figure 1B). The adjunctive PWI group had longer total procedure, ablation, and fluoroscopy times. However, no significant difference in adverse events was found between the two groups. Conclusion: Our findings support that adjunctive PWI to PVI is an effective strategy compared to PVI alone for reducing ATA recurrence in patients with PeAF without compromising safety. Notably, patients with longer AF duration appeared to benefit more from PWI.



#### 1992

ESTIMULAÇÃO FISIOLÓGICA VS. BIVENTRICULAR EM PACIENTES COM ICFER E BRE: RACIONAL E DESENHO DO ECR PHYSIOSYNC-HF

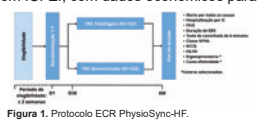
CAIQUE MARTINS PEREIRA DE MOURA TERNES'; ALEXANDER DAL FORNO°; LEANDRO IOSCHPE ZIMERMAN'; ANDRE ZIMERMAN'; FERNANDA DONNER ALVES'; LILIANE APPRATTO SOUZA'; JULIANA SOUZA SANTOS'; SERGIO DECKER'; LUIS EDUARDO ROHDE'; CARISI A POLANCZYK'; ANDRE LUIZ BUCHELE D'AVILA'

1. HOSPITAL MOINHOS DE VENTO, PORTO ALEGRE - RS - BRASIL; 2. HOSPITAL SOS CARDIO, FLORIANÓPOLIS - SC - BRASIL; 3. BETH ISRAEL DEACONESS MEDICAL CENTER - HARVARD MEDICAL SCHOOL, BOSTON - ESTADOS UNIDOS DA AMERICA.

ESTADOS UNIDOS DA AMERICA.

Introdução. A ressincronização biventricular (TRC-BV) é o tratamento padrão para reduzir morbimortalidade em pacientes com ICFEr e BRE, mas a estimulação do sistema de condução (TRC-SC) surgiu como uma alternativa segura. Até o momento, não há estudos randomizados (ECRs) com poder adequado que comparem a eficácia, segurança, e custo-efetividade da TRC-SC vs. TRC-BV. Objetivo. Avaliar se a TRC-SC é não-inferior à TRC-BV para reduzir desfechos cardiovasculares em pacientes com ICFEr e BRE. Métodos: ECR de não-inferioridade, multicéntrico, nacional, com controle ativo, adjudicação de desfechos, que compara TRC-SC vs. TRC-BV. Está prevista a inclusão de 180 pacientes com FE ≤35% e BRE com QRS ≥130ms. Pacientes com plano de implante de CDI são excluídos. A estratégia de TRC-SC incluí a estimulação da região do ramo esquerdo, do feixe de His, sepíal profundo, e LOT-CRT. Os pacientes serão acompanhados por 6 meses. O desfecho primário é uma combinação hierárquica de morte por qualquer causa, hospitalização por IC, visita urgente por IC, e mudança na FE em relação ao basal. Desfechos secundários incluem mudança na FE, duração do QRS, peptideos natruréticos, teste de caminhada de 6 minutos, EO-5D, classe funcional da NYHA, e KCCQ. Uma avaliação funcional usando ergoespirometria e uma análise de custo-efetividade serão conduzidas em centros selecionados. Um comité cego adjudicaráos desfechos clínicos, e um laboratório analisará os parâmetros ecocardiográficos.

Resultados: Até 26 de setembro de 2023, um total de 134 pacientes foram randomizados em 14 centros brasileiros. A idade mediana era de 60 anos (IQR 55-68), sendo 51% do sexo femínino e 48% ñão-brancos. A FEVE mediana era de 27% (IQR 22-32), e a duração do QRS de 170 ms (IQR 160-182). O PhysioSync-HF (INCTOS572736) é o primeiro ECR a comparar desfechos clínicos com TRC-SC vs. TRC-BV em pacientes com ICFEr e BRE. Os resultados, previstos para 2024-2025, podem formecer evidências para mudanças no manejo dos pacientes com ICFEr, com dados



### 1987

COMPARAÇÃO VENTILAÇÃO BAIXO VOLUME CORRENTE E ALTA FREQUÊNCIA AJUSTADA AO PESO ASSOCIADA ESTIMULAÇÃO ATRIAL C/VENTILAÇÃO NORMAL NA ABLAÇÃO DE FA

FABRÍCIO SARMENTO VASSALLO¹; EDEVALDO DA SILVA²; LUCAS CORCINO DOS SANTOS³; CHRISTIANO LEMOS DA CUNHA⁴; EDUARDO GIESTAS SERPA⁵; ALOYR GONÇALVES SIMÕES JUNIOR⁴; HERMES CARLONI ARAÚJO⁴; CARLOS ALEXANDRE VOLPONI LOVATTO³; DALTON HESPANHOL AMARAL⁴; DALBIAN SIMÕES GASPARINI³; ANDRE SCHMIDT⁵.

1. HOSPITAL SANTA RITA DE CÁSSIA, VITORIA - ES - BRASIL; 2. ABBOTT DO BRASIL, SÃO PAULO - SP - BRASIL; 3. HOSPITAL SANTA CASA DE MISERICÓRDIA DE VITÓRIA, VITÓRIA - ES - BRASIL; 4. HOSPITAL SANTA RITA DE CÁSSIA, VITÓRIA - ES - BRASIL; 5. INSTITUTO DO CORAÇÃO DO ESPÍRITO SANTO, VITÓRIA - ES - BRASIL; 6. FACULDADE DE MEDICINA DE RIBEIRÃO PRETO - USP. RIBEIRÃO PRETO - SP - BRASIL.

Antecedentes: Melhor força de contato (FC) e estabilidade do cateter (EC) durante a ablação de fibrilação atrial (FA) estão associadas a maior taxa de sucesso. Alterações na FC e EC São observadas durante os movimentos respiratórios e contração cardíaca. Estudos anteriores sugerem que a estimulação atrial rápida (EAR) e a ventilação de baixo volume corrente de alta frequência (BVCAF), independentemente ou em combinação, melhoram a EC e a FC e a qualidade das lesões. Ainda faltam dados sobre a estratégia de ventilação BVCAF ajustada ao peso corporal associada à EAR na ablação de FA de alta potência e curta duração (APCD). Objetivo: Este estudo teve como objetivo comparar os resultados da ablação de FAAPCD usando BVCAF e EAR simultâneos com ajuste de peso e protocolo de ventilação padrão (VP). Métodos: Estudo prospectivo, não randomizado, com 136 pacientes (pts) submetidos à ablação de novo divididos em dois grupos; 70 em EAR (100ppm) + BVCAF com 4ml/kg de volume corrente e 25 respirações/min (grupo A) e 66 pts com VP em ritmo sinusal intrínseco (grupo B). Ablação com 50% (força de contato de 5-10g/10-20g e fluxo de 40 mL/minuto na parede posterior e anterior do átrio esquerdo, respectivamente. Resultados: Sem complicações relacionadas ao procedimento. Grupo A: Os tempos de ablação do átrio esquerdo (TAE) e total (TTA) foram 53.5±8,3min e 67,4±10,1min, respectivamente. O tempo de radiofrequência (RF) foi de 19,7±5,7 min, tempo de raio X 3,4±1,8min, isolamento de primeira passagem (EPP) 62 (88,6%), pontos. Grupo B: TAE 56,7±10,8min, TTA 72,4±11,5min, tempo de RF 22,4±6,2 min, tempo de raio X 3,6±3min, EPP 58 (87,9%) e elevação de TLE em 20 (30,3%) pls. Conclusão: A ventilação BVCAF com peso ajustado com EAR em comparação com VP en timo sinusal intrínseco na ablação APCD é segura sem retenção de CO2. A abordagem produziu uma redução significativa da radiofrequência, do átrio esquerdo, dos tempos totais de ablação e melhores indices de FC e de queda de impedância local.

### 1999

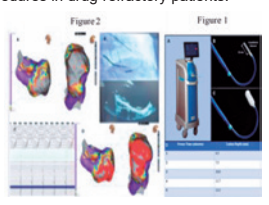
ULTRA-LOW TEMPERATURE CRYOABLATION FOR VENTRICULAR TACHYCARDIA: A SINGLE CENTRE EXPERIENCE AT MCGILL UNIVERSITY HEALTH CENTER

LUIZ GUSTAVO BRAVOSI DA ROSA; VALERIA ANGLESIO; PAULA SANCHEZ; AHMED ALTURKI; JACQUELINE JOZA; MARTIN BERNIER; ATUL VERMA; VIDAL ESSEBAG; TOM HADJIS.

MCGILL. MONTREAL - CANADA

Background: Endocardial catheter ablation for ventricular tachycardia (VT) may fail owing to the inability to deliver transmural lesions. Ultra-low temperature cryoablation (ULTC) uses near-critical nitrogen and can generate temperatures as low as -196°C. We report a series of 18 patients that underwent ULTC at the McGill University Health Centre (MUHC), representing the largest single center experience to date. Methods: Eighteen patients with monomorphic drug-refractory VT underwent VT ablation with ULTC at our institution as part of the first-in-human CryoCure-VT trial (NCT04893317). After voltage map, the mapping catheter was replaced with the ULTC catheter (figure 1) and lesions were applied over a fixed duration of time (60–180 s), followed by a 60-second thaw and another application at the original duration (freeze-thaw-freeze), seen in the Figure 1. Duration of ablation time was selected depending on the wall thickness of the left ventricule monitored with intracardiac echo to achieve tissue depths of 4.5–7.5 mm (figure 2). Results: Baseline left ventricular ejection fraction was 32%, mean age 71 years; 94% were male (characteristics in the table 1). A total of 32 sustained VTs were induced in 16 of 18 patients (the other 2 were non-inducible at baseline). Mean procedure time was 173 minutes and mean ablation time was 44 minutes. A total of 177 cryoablation lesions were delivered (9.8 lesions per patient). Of the 16 patients with inducible VT, 15 (94%) were rendered non-inducible post ablation and 1 was inducible only for a non-clinical VT. Complications included 1 pericardial effusion that required drainage. From 18 patients, 16 (89%) were discharged within the first 24 hours post ablation. Conclusions: ULTC is feasible and permits acute control of monomorphic VT during VT ablation procedures in drug-refractory patients.

Demographics	8-18
or least	71+11
tale Gender	94.4% (1718)
167,%	325195
Constant Aftern Closesse	72.2% (13/18)
Yor Muscardial Infection	88.9%(9678)
Loefratic Cardomicaeths	5.9% (518)
Congestive Head Failure	50% (918)
Islandar Doeste	16.7% (310)
CO prior to ablation	94.4%(1718)
Prior VT ablations	- 0%



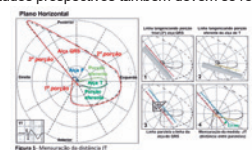
### 2081

CONTRIBUIÇÃO DO VETORCARDIOGRAMA NO DIAGNÓSTICO DIFERENCIAL DO PADRÃO ELETROCARDIOGRÁFICO DE BRUGADA

BRUNA AFFONSO MADALOSO; NELSON SAMESIMA; NANCY MARIA MARTINS DE OLIVEIRA TOBIAS; HORACIO GOMES PEREIRA FILHO; MIRELLA ESMANHOTTO FACIN; CAIO DE ASSIS MOURA TAVARES; LEONARDO PASCHOAL CAMACHO VARONI; BRENO AFFONSO MADALOSO; CARLOS ALBERTO PASTORE.

INCOR-HCFMUSP, SÃO PAULO - SP - BRASIL.

Fundamento: O eletrocardiograma (ECG) é uma poderosa ferramenta diagnóstica entre a síndrome da onda J.O vetorcardiograma (VCG) pode ser utilizado como método complementar ao ECG em diversas alterações duvidosas. Objetivo: Realizamos uma análise VCG; após conceber um novo parâmetro (distância JT), que quantificou a alteração visual observada no VCG da maioria dos pacientes Brugada tipo 1 e que permite o diagnóstico do padrão ECG. Métodos: Selecionados noventa e seis ECGs (corte teste) com elevação do ponto Jem V1/V2, derivações superiores do ECG e VCGs, realizados no mesmo dia. A medida VCG pelo método de Frank (distância JT) foi desenhada nos planos horizontal e sagitial direito por três linhas traçadas 1) terço final da alça QRS, compreendendo o ponto J; 2) porção incial da alça T; 3) um paralelo da linha do ponto J no início da alça T. Medida JT determinada pela distância entre paralelas (Figura 1). Uma coorte de validação de trinta e cinco pacientes foi estabelecida. Resultados: distância JT ≥1,5 mm (plano horizontal) e distância JT >1,25 mm (plano horizontal) e JT >1,25 mm (plano sagital direito) apresentaram sensibilidade de 95%, especificidade de 86% (p<0,05). A cistância JT <1,5 mm (plano horizontal) e JT >1,25 mm (plano horizontal) poderia diferenciar ambos os tipos de Brugada dos demais com sensibilidade de 94%, para diagnóstico de Brugada tipo 1 (Figura 2). A coorte de validação mostrou que a distância JT |1,5 mm (plano horizontal) poderia diferenciar ambos os tipos de Brugada dos demais com sensibilidade de 94%, para diagnóstico de Brugada tipo 1 (p=0,001). Anhas as coortes apresentaram níveis kappa de Cohen muito >1,25 mm, encontramos sensibilidade de 83%, especificidade de 94%, para diagnóstico de Brugada tipo 1. (p=0,001). Anhas as coortes apresentaram níveis kappa de Cohen muito semelhantes (0,65 vs 0,77, coortes de teste e validação, respectivamente.). Conclusões: A medida vetorcardiográfica (dis







#### 2067

ABLAÇÃO DE ARRITMIAS VENTRICULARES DO MÚSCULO PAPILAR: OTIMIZANDO A ESTRATÉGIA DE MAPEAMENTO PARA OBTENÇÃO DE MELHORES RESULTADOS.

MUHIEDDINE OMAR CHOKR'; PEDRO MARIO PINTO VANDONI'; ITALO BRUNO DOS SANTOS SOUSA'; PEDRO VIEIRA LINHARES'; RODRIGO MELO KULCHETSCKI'; CARINA ABIGAIL HARDY?; CRISTIANO FARIA PISANI?; KAREN PRISCILLA BRUZZAMOLINO TEIXEIRA³; OLGA FERREIRA DE SOUZA¹; MAURÍCIO IBRAHIM SCANAVACCA².

1. INSTITUTO DO CORAÇÃO INCOR-HCFMUSP E REDE D'OR DE SÃO PAULO, SÃO PAULO - SP - BRASIL; 2. INCOR - INSTITUTO DO CORAÇÃO, SÃO PAULO - SP - BRASIL; 3. REDE D'OR DE SÃO PAULO, SÃO PAULO - SP - BRASIL; 4. REDE D'OR, SÃO PAULO - SP - BRASIL.

Introdução: A ablação de arritmias ventriculares (AVs) dos músculos papilares (MPs) permanece como um desafio no laboratório de eletrofisiologia, com resultados menos favoráveis do que AVs idiopáticas em outras localizações. A complexidade anatômica dos MPs e a dificuldade na estabilização do cateler pode justificar esses achados Objetivo: Descrevemos o resultado imediato e tardio da ablação de arritmias dos MPs putilizando ecocardiografia intracárdiaca (ICE) associada ao mapeamento de alta densidade (MAD) e cateler com sensor de contato (CSC) para ablação. Métodos e resultados: Foram incluidos 21 pacientes com média de idade (364-12 anos, 61% masculino, FE: 524-8%) submetidos a ablação. Em 19 foram utilizados sistema de mapeamento eletroanatomico carto 3, e em 2 foi utilizado o Ensite. Em 90% a manifestação clínica foi de extrassistoles ventriculares (densidade de 21+-6%) e em 2 taquicárdia ventricular sustentada. Acesso transeptal (TS) e retroáortico foram utilizados conjuntamente em 66%, e 34% TS exclusivo. A localização anatômica de origem da Vf oi 57% no MP inferosseptal, 33% no superolateral, e 9% em ambos MPs. O músculo papilar apresentou 2 cabeças em 38% dos pacientes. Foi utilizado inicialmente cateler de alta densidade para mapeamento, que identificou o melhor alvo com precocidade média de 27+-7 ms em relação ao inicio do QRS. Em relação a localização da AV no MP em 52% das vezes o alvo estava na cabeça, 28% no corpo e 19% na base. Foram realizadas 6+5 aplicações por procedimento com potência média de 4550M. Cocrreu supressão total da arritmia após 30 minutos de observação em 90.4% dos pacientes. Após seguimento de 19 +-13 meses, em 80,9% dos pacientes houve redução de mais de 80% na densidade de extrassistoles em relação ao procedimento index. Um paciente apresento u pseuqo na maiorima após veze colenten com potência média de 4550M. Cocrreu supressão total da arritmia após 20 minutos de observação em 90.4% dos pacientes expessão total da arritmia após 20 minutos de observação em 90.4% dos pacientes.



### 1959

VARIÁVEIS CLÍNICAS ASSOCIADAS A DESFECHOS NO ESTUDO ELETRO-FISIOLÓGICO EM PORTADORES DE DOENÇA DE CHAGAS

IEDA PRATA COSTA¹; LUIZ EDUARDO MONTENEGRO CAMANHO²; RONALDO VASCONCELOS TÁVORA³; ALMINO CAVALCANTE ROCHA NETO¹; ROBERTO LIMA FARIAS⁴; CRISTIANE BEZERRA LIBERATO⁴; EDUARDO ROCHA⁴.

1. UNIVERSIDADE FEDERAL DO CEARA, FORTALEZA - CE - BRASIL; 2. PRO CARDIACO, RIO DE JANEIRO - RJ - BRASIL; 3. HOSPITAL DE MESSEJANA -SESA CE, FORTALEZA - CE - BRASIL; 4. HOSPITAL UNIVERSITARIO WALTER CANTIDIO - UFC, FORTALEZA - CE - BRASIL

Introdução: Inúmeras variáveis clínicas têm sido associadas a risco de morte na cardiopatia chagásica crônica (CCC). O estudo eletrofisiológico (EEF) pode predizer risco de eventos cardiovasculares nessa população. Objetivo: Analisar a associação de variáveis clínicas (síncope/pré-síncope, TVNS, fração de ejeção, presença de aneurisma do VE, duração e voltagem do QRS) e desfechos no EEF em pacientes (PT) com CCC. Métodos: Estudo tipo coorte prospectivo que incluiu 59 PT com CCC, classificados segundo escore de Rassi e submetidos a EEF com/sem utilização de drogas antiarritmicas. Os desfechos foram: doença nó sinusal (TRNS corrigido >550ms), distúrbios do sistema de condução (intervalo Hv >70ms ou duplo HIS) e/ou indução de taquicardia ventricular//FV (TV/FV). Análise estatística: variáveis qualitativas ou quantitativas ordinais- teste de Kruskal-Wallis; variáveis categóricas - teste exato de Fisher e o teste de Mantel - Haenszel, para avaliar a independência das variáveis. Resultados: A idade média dos PT foi 58 anos, sendo 64,4% masculino. A média do Escore de Rassi foi 8,7+ 4,5 pontos (39,5% pt baixo risco; 39,9% intermediário e 27,1% atlo). A CF NYHA III/ IV ocorreu em 10,2% dos PT e baixa voltagem do QRS em 30,5%. 49,2% PT tinham cardiomegalia, 61% tinham TVNS e 62,7% tinham alteração do VE. O EEF teve desfecho em 71,1% PT e 33,3%, respectivamente com e sem síncope e/ou pré-síncope (p=0,015). Pacientes com TVNS ao Holter apresentaram 57,1% EEF com desfechos e sem TVNS 58,3% (p= 0,96). Os PT com FE<40% apresentaram 70% EEF com desfechos (p=0,01). Não houve associação entre desfechos do EEF e a presença de aneurisma do VE (p= 0,30). entre a duração do QRS (p=0,2) ou a baixa voltagem do QRS (p=0,32). Conclusões: A presença de aneurisma do ventrículo esquerdo, baixa voltagem do QRS, duração do QRS e TVNS ao Holter não se correlacionaram com desfechos on EEF.

### 1993

PREDITORES CLÍNICOS DE RECORRÊNCIA ABLAÇÃO DE FA COM CATETER FORÇA DE CONTATO E ALTA POTÊNCIA CURTA DURAÇÃO E TÉCNICA DE "PERPETUAL MODE DRAGGING"

FABRÍCIO SARMENTO VASSALLO¹; LUCAS CORCINO DOS SANTOS²; CHRISTIANO LEMOS DA CUNHA¹; EDUARDO GIESTAS SERPA¹; ALOYR GONÇALVES SIMÕES JUNIOR¹; HERMES CARLONI ARAÚJO¹; CARLOS ALEXANDRE VOLPONI LOVATTO²; DALTON HESPANHOL AMARAL¹; DALBIAN SIMÕES GASPARINI²; ANDRE SCHMIDT⁴.

1. HOSPITAL SANTA RITA DE CÁSSIA, VITORIA - ES - BRASIL; 2. HOSPITAL SANTA CASA DE MISERICÓRDIA DE VITÓRIA, VITÓRIA - ES - BRASIL; 3. INSTITUTO DO CORAÇÃO DO ESPÍRITO SANTO, VITÓRIA - ES - BRASIL; 4. FACULDADE DE MEDICINA DE RIBEIRÃO PRETO - USP, RIBEIRÃO PRETO - SP - BRASIL.

Introdução: Este estudo concentrou-se na identificação de preditores clínicos de recorência na ablação de alta potência e curta duração (HPSD) usando uma técnica de "perpetual motion dragging" de cateter (TD). O objetivo foi analisar e avaliar características clínicas que impactam nos resultados em longo prazo determinando e assim determinar preditores de recorrência. **Métodos**: Entre dezembro de 2018 e dezembro de 2021, recrutamos prospectivamente 214 pacientes com primeira fibrilação atrial (FA) que se apresentavam em ritmo sinusal durante uma ablação. Utilizamos um TD com potência de radiofrequência de 50 W e CF de 10-20 g e 5-10 g com fluxo de 40 mL/min nas paredes anterior e posterior, respectivamente. **Resultados**:Havia 143 (66,6%) homens e FA paroxística em 124 (57,9%) pacientes. A idade média foi de 61,1±12,3 anos e o tempo médio de seguimento foi de 32,8±13,2 meses. A recorrência foi documentada após 90 dias em 39 (18,2%) pacientes, incluindo 19 (15,3%) do grupo FA paroxística e 20 (22,2%) do grupo FA persistente (FAPers). Na análise univariada através do teste de "long-rank" os preditores de recorrência foram idade > 65 anos [p=0,01, IC 95% HR 2,22 (1,15-4,27)], IMC > 30 [p=0,02, IC 95% HR 2.08 (1,08-3,98)], CHA2DS2VASC ≥ 3 [p=0,01, IC 95% HR 2.3 (1,19-4,42)], FAPers [p=0,04, IC 95% HR 1,38 (1,04-2,59)] e portadores de síndrome de apneia obstrutiva do sono [p=0,003, IC 95% HR 2.05 (1,06-4,0)]. Através da análise multivariada os preditores clínicos de recorrência identificados foram idade > 65 anos [p=0,006, IC 95% HR 1,8 (1,1-4,0)]; IMC > 30 [p=0,009, IC 95% HR 2,4 (1,3-4,7)]; escore de CHA2DS2VASC ≥ 3 [p=0,009, IC 95% HR 2,4 (1,4-5,6)]; e FAPers [p=0,05, IC 95% HR 1,21 (1,1-2,3)]. Sendo assim pacientes com idade > 65 anos [MC > 30, CHA2DS2VASC ≥ 3 e PersA froma capazes de determinar maior taxa de recorrência quando comparados a pacientes sem estas características.

### 1988

VALIDAÇÃO DA ELETROCARDIOGRAFIA DINÂMICA REAL DE 12 DERI-VAÇÕES ("HOLTER12") PARA A PRÁTICA CLÍNICA

CARLOS ARTHUR HANSEL DINIZ DA COSTA; GABRIELA MENICHELLI MEDEIROS COELHO; RHANNIEL THEODORUS HELHYAS OLIVEIRA SHILVA GOMES VILLAR; MATHEUS CASSIMIRO PARTATA; GABRIELA RODRIGUES DE OLIVEIRA; ENIA LUCIA COUTINHO; CLAUDIO CIRENZA; ANGELO AMATO VINICENZO DE PAOI A

UNIVERSIDADE FEDERAL DE SÃO PAULO, SÃO PAULO - SP - BRASIL.

Introdução: O holter é um método diagnóstico amplamente utilizado que apresenta limitações na resolução temporal do traçado por ter apenas 3 derivações. O holter de 12 derivações (H12) contorna essa deficiência, pela possibilidade de fornecer as mesmas informações do eletrocardiograma convencional de repouso (EKG), mas o impacto das diferentes formas de captação dos sinais elétricos em diferentes posições não foi devidamente analisado. Objetivo: Comparar o H12 com o EKG afim de avaliar diferenças e similaridades no traçado resultante dos exames. Métodos: Foram obtidos o EKG e H12 de 20 pacientes do serviço de Eletrofisiologia da Universidade Federal de São Paulo. Foi elaborado um questionário com 240 comparações (12 derivações de 20 pacientes) compostas por um batimento do H12 lado a lado com sua contraparte do EKG. Esse questionário foi aplicado a cardiologistas e eles deveriam julgar se os traçados guardavam similaridade ou diferença entre si. Os resultados foram avaliados por meio de estatistica descritiva e a concordância inter observador pelo método Kappa de Fleiss, em que 0 denota ausência de concordância e 1 concordância perfeita. Análise computacional foi feita por meio do software Jamovi (The jamovi project (2023). Sydney, Australia). Os Resultados foram considerados significativos em caso de p<0,05. Resultados 5 cardiologistas, todos com treinamento em eletrofisiologia, responderam ao questionário, gerando um total de 1200 respostas. A porcentagem de similaridade entre as derivações do H12 e do EKG variou de 68% no caso de aVL até 98% no caso da VR (85 ± 9,11%). Quando avaliado por paciente, a similaridade entre o H12 e o EKG chegou até 98,33% (84,49 ± 7,63%). A concordância entre os avaliadors foi de 75%, com um coeficiente Kappa de Fleiss eleto, 542 (PQ,001), ou seja, concordância moderada conforme a classificação proposta por Landis e Koch. Conclusões: O H12 e um método diagnóstico comparável ao EKG em termos de traçado e com maior resolução temporal. A alta similaridade entre as duas técnicas poss





#### 1994

### TONTURA E SÍNCOPE EM PORTADORES DE DISPOSITIVOS CARDÍACOS

RHANNIEL THEODORUS HELHYAS OLIVEIRA SHILVA GOMES VILLAR; CARLOS ARTHUR HANSEL DINIZ DA COSTA; GABRIELA MENICHELLI MEDEIROS COELHO; MATHEUS CASSIMIRO PARTATA; GABRIELA RODRIGUES DE OLIVEIRA; ENIA LUCIA COUTINHO; FREDERICO SCUOTTO; CLAUDIO CIRENZA; ANGELO AMATO VINCENZO DE PAOLA.

ESCOLA PAULISTA DE MEDICINA / UNIFESP, SÃO PAULO - SP - BRASIL.

Introdução: A síncope é uma queixa comum entre pacientes com Dispositivos Cardíacos Eletrônicos Implantáveis (DCEI) e pode ser precedida por sintomas pré-sincopais, como tonturas. No entanto, esses sintomas pré-sincopais não são amplamente estudados e nem sempre recebem a devida atenção médica, tornando essa investigação um desafio significativo. **Métodos:** Estudo observacional retrospectivo com revisão sistemática de prontuários de pacientes atendidos em um hospital universitário especializado nos últimos três anos. O objetivo foi avaliar os fenômenos relacionados à síncope em portadores de DCEI. **Resultados**: Dentre os 136 pacientes pré-selecionados, foram analisados 73 pacientes com queixas de tontura ou síncope, submetidos a acompanhamento regular durante um período de 3 anos. A média de idade foi de 66 ± 14 anos, com 51% de mulheres. Entre eles, 32 (23%) manifestaram queixas de tontura frequente (diária ou semanal) e episódios de síncope. Adicionalmente, 41 (30%) relataram tonturas esporádicas (com frequência mensal ou semestral), sendo todos os sintomas iniciados após o implante do DCEI, As causas mais comuns de síncope foram de origem neuromediada (62%), disfunção do dispositivo (6,3%), arritmias atriais (12,5%) e arritmias ventriculares (6,3%). Houve dois casos de síncope de causa não esclarecida (12,5%). Observou-se que a tontura recorrente estava mais associada ao aumento do risco de novos episódios de síncope neuromediada, com um RR de 3,5 (IC 95%: 1,08-11,29; p=0,03). O uso da ferramenta CLS não influiu significantemente em reduzir a presença de síncope e tontura recorrente em pacientes com síncope neuromediada (RR para síncope 0,133 [IC 95%: 0,085-2,0829; p=0,150], RR para tontura 1,4 [IC 95%: 0,73-2,93; p=0,28]). A presença de tonturas recorrentes, em conjunto com episódios de síncope, mostrou-se significativamente associada a um aumento do risco de queda da própria altura, com RR 4.92 (IC 95% 1.52-15.89), P=0.0076. **Conclusões:** A sincope neuromediada é a causa mais frequente em pacientes com DCEI e cardiopatia estrutural. A tontura de origem neuromediada esteve associada ao aumento de risco de síncope. A exploração de mecanismos que modulam estes reflexos como o CLS, parece promissora nestes

### 1996

ALTERAÇÕES DA REPOLARIZAÇÃO VENTRICULAR ESTÃO ASSOCIADAS ÀS ANORMALIDADES DA FUNÇÃO SISTÓLICA LONGITUDINAL EM PACIENTES COM ICFEP

YURI MADURO'; RENATO DE AGUIAR HORTEGAL'; RENATO HAVIARAS CANCELLIER'; MARIANE HIGA SHINZATO'; HENRIQUE TAKACHI MORIYA?; NATASHA SOARES SIMOES DOS SANTOS'; VANESSA PUCHE SALAZAR'; JORGE EDUARDO ASSEF'; PAULO DE TARSO JORGE MEDEIROS'; FAUSTO FERES'; DALMO ANTONIO RIBEIRO MOREIRA'.

1. INSTITUTO DANTE PAZZANESE DE CARDIOLOGIA, SÃO PAULO - SP -BRASIL; 2. ESCOLA POLITÉCNICA DA UNIVERSIDADE DE SÃO PAULO, SÃO PAULO - SP - BRASIL.

Introdução: A insuficiência cardíaca de fração de ejeção preservada (ICFEP) é uma sindrome clínica decorrente de uma diversa combinação de anormalidades fisiopatológicas que confluem na elevação das pressões de enchimento do coração. Dentre tais alterações, alguns fenótipos de pacientes podem apresentar anormalidades da função sistólica do ventrículo esquerdo, a despeito de valores da fração de ejeção dentre dos limites da normalidade. Atualmente, há uma escassez de estudos que avaliam qual o papel das alterações no eletrocardiograma (ECG) na ICFEP e como estas podem contribuir para melhor identificação dos mecanismos que levam à intolerância ao exercicio. **Objetivos:** Avaliar a associação entre alterações da repolarização ventricular com as anormalidades na função sistólica do ventrículo esquerdo em uma população com diagnóstico de ICFEP. **Métodos:** Estudo observacional transversal de 50 pacientes com diagnóstico de ICFEP. **Métodos:** Estudo observacional transversal de 50 pacientes com diagnóstico de ICFEP. Deonfirmado pelo escore europeu HFA-PEFF. A repolarização ventricular foi avaliada através da medida do ângulo espacial QRS-T pelo vetocardiograma (método de Kors) e pelo índice TpicoTfim no ECG. As alterações da função sistólica do ventrículo esquerdo foram avaliadas através da medida do *Global Longitudinal Strain* (GLS) na ecocardiografía com *Speckle Tracking*, **Resultados:** Obteve-se uma amostra de 48 pacientes com idade média de 50 (±5) anos, sendo 67% (33) do sexo femínino. Houve correlação moderada e estatisticamente significante entre o GLS e os parâmetros de repolarização ventricular. TpicoTfim (r=0.42;p<0.001) e o ângulo QRS-T, fá a uma queda de 1% na função sistólica longitudinal pelo GLS. **Conclusão**: Nossos dados sugerem que as alterações da repolarização ventricular identificam pacientes com iCEFEP que possuem anormalidades da função istólica do ventriculo esquerdo apesar de apresentarem valores da fração de ejeção dentro dos limites da normalidade. Particularmente, o ângulo espacial QRS-T s



### 2021

RE-ESTRATIFICAÇÃO DE RISCO DE CANDIDATOS À TERAPIA DE RESSIN-CRONIZAÇÃO CARDÍACA GUIADA PELA ECOCARDIOGRAFIA COM SPECKLE TRACKING

VANESSA PUCHE SALAZAR'; MARIANE HIGA SHINZATO'; GILBERTO BALBY ARAUJO FILHO?; NATASHA SOARES SIMOES DOS SANTOS'; HENRIQUE TAKACHI MORIYA?; JORGE EDUARDO ASSEF!; RODRIGO BELLIO DE MATTOS BARRETO'; CECILIA MONTEIRO BOYA BARCELLOS'; RENATO DE AGUIAR HORTEGAL'; FAUSTO FERES'; PAULO DE TARSO JORGE MEDEIROS'.

 INSTITUTO DANTE PAZZANESE DE CARDIOLOGIA, SÃO PAULO - SP -BRASIL; 2. ESCOLA POLITÉCNICA DA UNIVERSIDADE DE SÃO PAULO, SÃO PAULO - SP - BRASIL.

Introdução: A fração de ejeção do ventrículo esquerdo (FEVE) é o parâmetro utilizado para a classificação dos diferentes fenótipos de insuficiência cardiaca (IC). Embora pacientes portadores de IC com FEVE reduzida (ICFER) e evidência de bloqueio de ramo esquerdo (BRE) possam ser considerados para a Terapia de Ressincronização Cardiaca (TRC), há uma taxa de aproximadamente 30% de não-respondedores. Nesse contexto, é fundamental a avaliação de novas técnicas capazes de identificar subgrupos com maior risco de desfechos e que devem ser priorizados para a TRC. **Objetivo:** Avaliar a FEVE com o Global Longitudinal Strain (GLS) na predição de eventos maiores em candidatos à TRC. **Métodos:** Foram incluidos 99 pacientes candidatos à TRC (ICFER com FEVE≤35% e padrão de BRE no ECG), avaliados no período entre fevereiro de 2008 e outubro de 2012 com follow up de 8 anos. As análises foram segmentadas em grupos com eventos combinados: internação por IC, ôbito e/ou transplante cardíaco. **Resultados:** Pacientes com desfecho apresentaram uma FEVE=27,6(±0,05)% e GLS=-13,9(±12,3)%, enquanto pacientes sem desfecho apresentaram FEVE=27,6(±0,05)% e GLS=-16,2(±7,2)%. A diferença entre os grupos foi estatisticamente isginificante para o GLS (p=0,07) (**Figura 1**). A análise de Kaplan-Meier utilizando um valor de corte do módulo de GLS<-16%, observou-se uma diferença significante nas curvas de sobrevida com significância pelo teste de log-rank (p=0.005) (Figura 2). Conclusão: O GLS é uma ferramenta com potencial uso na re-estratificação de pacientes com ICFER candidatos à TRC. Esse recurso além de descrever uma piora da evolução, pode também ajudar na decisão dos grupos que se beneficiariam de uma intervenção mais precoce.



### 1978

FIBRILAÇÃO ATRIAL PAROXÍSTICA: "HIGH-POWER SHORT-DURATION" VERSUS TÉCNICA CONVENCIONAL - RESULTADOS PÓS ABLAÇÃO DE COORTE PROSPECTIVO

AFONSO DALMAZIO SOUZA MARIO; EDUARDO PELEGRINETI TARGUETA; VÍTOR BASTOS LOVISI; ALEXANDRA REGIA DANTAS BRIGIDO; ALBERTO PEREIRA FERRAZ; RODRIGO MELO KULCHETSCKI; SISSY LARA DE MELO; MUHIEDDINE OMAR CHOKR; CARINA ABIGAIL HARDY; CRISTIANO FARIA PISANI; MAURÍCIO IBRAHIM SCANAVACCA.

INCOR, SÃO PAULO - SP - BRASIL

Introdução: A melhor técnica para realização de ablação por cateter que seja efetiva, segura e que auxilie em menor tempo de procedimento ainda não é um consenso. A técnica de ablação de fibrilação atrial "High-power short-duration" (HPSD) yem sendo apontada como alternativa que poderia trazer esses beneficios. Objetivo: Comparar tempo de procedimento, segurança e eficácia entre técnica convencional (G1) per HPSD (G2). Métodos: Realizado coorte prospectivo que incluiu consecutivamente 60 pacientes com FA paroxistica sem cardiopatia estrutural que foram submetidos à ablação por cateter. Na técnica convencional (G1) foi realizada aplicação com potência de 40W guiadas por Surpoint (>550 anterior; >400 posterior) e na técnica HPSD (G2) foi considerada aplicação com potência de 50W por 10 segundos (caso aumento de temperatura esofágica, o tempo foi reduzido para 5 segundos). Todos os procedimentos foram realizados com sistema de mapeamento eletroanatômico com CARTO-3, utilizando termômetro esofágico e realizaram endoscopia digestiva após ablação. Resultados: A maioria dos pacientes era do sexo masculino (G1: 70%; G2: 73%; p=1) com idade mediana de 63,5 e 62 anos (P=0,91) e CHADS-VASc mediano de 1 e 1(p=0,9), respectivamente. O tamanho médio do AE no G1 era de 41±6,3mm e no G2 de 39±4,7mm (P=0,16) e a FEVE 63±5 e 63±6 (P=0,93). O tempo mediano de procedimento foi menor (P=0,02) no grupo HPSD (G2: 193min;Q1:155);Q3:203) que no grupo convencional (G1: 210min; Q1:180; Q3:245). Não se observou diferença na taxa de lesão na endoscopia de controle (G1: 23,2%; G2: 16,7%; P=0,75) e não ocorreu tamponamento cardíaco em nenhum procedimento. O tempo de seguimento mediano foi de 443 (365;56) dias no G1 e 238 (133;732) no G2 (P<0,001), tendo 4 (13,3%) pacientes apresentados recorrência no G1 e 2 (6,67%) no G2 (Log-Rank: 0,73). Conclusão: Em pacientes com FA paroxística, a utilização da técnica HPSD foi associada a menor tempo de procedimento, sem mudança na taxa de eficácia ou seguirança da ablação.





#### 1985

RESULTADOS DE LONGO PRAZO E PREDITORES DE RECORRÊNCIA E SUCESSO NA ABLAÇÃO DE FA COM HPSD E TÉCNICA DE "DRAGGING"

FABRÍCIO SARMENTO VASSALLO<sup>1</sup>; LUCAS CORCINO DOS SANTOS<sup>2</sup>; CHRISTIANO LEMOS DA CUNHA<sup>3</sup>; EDUARDO GIESTAS SERPA<sup>2</sup>; ALOYR GONÇALVES SIMÕES JUNIOR<sup>2</sup>; HERMES CARLONI ARAÚJO<sup>2</sup>; CARLOS ALEXANDRE VOLPONI LOVATTO<sup>3</sup>; DALTON HESPANHOL AMARAL<sup>2</sup>; DALBIAN SIMÕES GASPARINI<sup>3</sup>; ANDRE SCHMIDT<sup>4</sup>.

1. HOSPITAL SANTA RITA DE CÁSSIA, VITORIA - ES - BRASIL; 2. HOSPITAL SANTA RITA DE CÁSSIA, VITÓRIA - ES - BRASIL; 3. HOPSITAL SANTA CASA DE MISERICÓRDIA DE VITÓRIA, VITÓRIA - ES - BRASIL; 4. FACULDADE DE MEDICINA DE RIBEIRÃO PRETO - USP, RIBEIRÃO PRETO - SP - BRASIL.

Introdução: Este estudo concentrou-se na identificação de preditores de recorrência e sucesso na ablação com cateter com sensor de força de contato (FC) com alta potência e curta duração (APCD) usando a técnica de "perpetual motion dragging" (TG). O objetivo foi analisar e avaliar resultados em longo prazo, preditores clínicos e procedimentais de sucesso e recorrência. Métodos: Entre dezembro de 2018 e dezembro de 2021, recrutamos prospectivamente 214 pacientes com primeira fibrilação atrial (FA) que se apresentavam em ritmo sinusal durante uma ablação. Utilizamos a TG com potência de 50 W e FC de 10–20 g e 5–10 g com fluxo de 40 mL/min nas paredes anterior e posterior, respectivamente. Resultados: 143 (66,8%) homens e FA paroxística em 124 (57,9%) pacientes. A média de idade foi de 61,1±12,3 anos e o tempo de seguimento foi de 32,8±13,2 meses. Arritmia ocorreu após 90 dias em 39 (18,2%) pacientes, incluindo 19 (15,3%) do grupo FA paroxística e 20 (22,2%) do grupo FA persistente (FAPers). Os preditores clínicos de recorrência foram idade ≥ 65 anos (p = 0,006); obesidade [índice de massa corporal > 30 (p = 0,009)]; escore CHA2DS2VASC ≥ 3 (p = 0,003); e FAPers (p = 0,05). Os preditores de recorrência relacionados ao procedimento foram aumento da frequência cardíaca < 10% após a ablação (p = 0,006). Os preditores de desfechos favoráveis foram aumento da frequência cardíaca e 30% (p = 0,01) e < 60 min do átrio esquerdo (p = 0,007). Conclusão: Na ablação de FA com com uso de cateter com FC e técnica de "dragging" utilizando APCD os preditores clínicos e intra-procedimento de recorrência foram; idade ≥ 65 anos, obesidade, CHA2DS2VASC ≥ 3, FA persistente, aumento ≥ 30% na frequência cardíaca e tempo de átrio esquerdo baixo (< 60 min).

### 1986

A DENERVAÇÃO PARASIMPÁTICA INCIDENTAL DURANTE ABLAÇÃO DE FIBRILAÇÃO ATRIAL É PREDITOR DE SUCESSO EM LONGO PRAZO? COMPARAÇÃO ENTRE DUAS TÉCNICAS

FABRÍCIO SARMENTO VASSALLO¹; LUCAS CORCINO DOS SANTOS²; CHRISTIANO LEMOS DA CUNHA¹; EDUARDO GIESTAS SERPA¹; ALOYR GONÇALVES SIMÕES JUNIOR¹; HERMES CARLONI ARAÚJO¹; CARLOS ALEXANDRE VOLPONI LOVATTO²; DALTON HESPANHOL AMARAL¹; DALBIAN SIMÕES GASPARINI²; ANDRE SCHMIDT⁴.

1. HOSPITAL SANTA RITA DE CÁSSIA, VITORIA - ES - BRASIL; 2. HOSPITAL SANTA CASA DE MISERICÓRDIA DE VITÓRIA, VITÓRIA - ES - BRASIL; 3. INSTITUTO DO CORAÇÃO DO ESPÍRITO SANTO, VITORIA - ES - BRASIL; 4. FACULDADE DE MEDICINA DE RIBEIRÃO PRETO - USP, RIBEIRÃO PRETO - SP - BRASIL.

Introdução: Diferentes resultados são descritos após ablação da fibrilação atrial e múltiplos preditores clínicos de recorrência estão bem estabelecidos. Objetivo: Avaliar e analisar se o aumento da frequência cardíaca (FC) durante uma primeira ablação de fibrilação atrial (FA) com uso da técnica de alta potência e curta duração (HPSD) em comparação com baixa potência de longa duração (LPLD) pode impactar no desfecho tardio de sucesso. Métodos: Analisados retrospectivamente 340 pacientes consecutivos (pts) submetidos à primeira ablação de FA que encontravam-se em ritmo sinusal no momento do procedimento, paciente em ritmo de fibrilação atrial foram excluídos da análise. Havia 158 pts no Grupo A (LPLD): 113 (71,5%) FA paroxística com ablação com potência de 20/30W, na parede anterior e posterior do átrio esquerdo (AE), respectivamente, e força de contato de 10-30g por 30 s. Havia 182 pts no Grupo B (HPSD): 106 (58,2%) FA paroxística, que foram submetidos a ablação com 45/50W, força de contato de 8-15g/10-20g e fluxo de 35/40 mL/minuto na parede anterior e posterior do átrio esquerdo, respectivamente. A idade média foi de 52,9±10,5 anos e 58,4±14 anos nos grupos A e B, respectivamente. O seguimento médio foi de 32±16 meses. Resultados: O sucesso foi observado em 94 (59,5%) pacientes do Grupo A (LPLD) e 152 (83,5%) do Grupo B (HPSD) (p<0,001). O diâmetro do AE foi de 40,6±6,12 versus 42,9±5,88 mm e a fração de ejeção de 63,2±18,7 ersus 61±13,2 % nos grupos A e B respectivamente. No grupo A o aumento médio da FC foi de 4,3 (8%) bpm enquanto no grupo B de o aumento foi de 13,5 (27,2%) bpm en comparação com as frequências cardíacas basais de cada grupo (p<0,001). Co**nclusão:** O aumento da frequência cardíaca foi associado a uma maior taxa de sucesso em ambas as técnicas de ablação. A técnica de HPSD comparada a de LPLD apresentou maior proporção de aumento da FC e demonstrou superioridade na manutenção do ritmo sinusal no seguimento em longo prazo.

### 1998

### CARDIONEUROABLATION FOR SYNCOPE: A EXPERIENCE FROM MCGILL UNIVERSITY HEALTH CENTER

LUIZ GUSTAVO BRAVOSI DA ROSA; VALERIA ANGLESIO; PAULA SANCHEZ; AHMED ALTURKI; JACQUELINE JOZA; MARTIN BERNIER; ATUL VERMA; VIDAL ESSEBAG; TOM HADJIS.

MCGILL. MONTREAL - CANADA.

Background: Vasovagal syncope (VVS) with a dominant cardioinhibitory response is particularly difficult to treat. These patients are frequently young and may be refractory to treatment necessitating implantation of a pacemaker. Cardioneural ablation (CNA) is a very novel catheter-based technique to treat patients with clinically significant bradyarrhythmia due to a cardio-inhibitory subtype of VVS. The aim of this study is to demonstrate the efficacy and safety of this procedure in our experience at the McGill University Health Center. Methods: Data was collected prospectively for all patients undergoing CNA between December 2020 to the present. Patients were required to have a history of recurrent traumatic syncope that was refractory to medical management. All patients were also required to have an implantable loop recorder (ILR) to document prolonged pauses correlating with syncope. CNA was performed under general anesthesia with a 3D mapping system. Left atrial access was obtained through transseptal puncture, and an ablation catheter was used to identify fragmented signals in anatomical regions consistent with ganglionic plexi (GPs) – figure 1. High frequency stimulation (60ms at 20mV for 4 seconds) was delivered at sites of interest in both the left and right atria. Radiofrequency energy was delivered target ablation index of \* 400) with a vagal response noted (fig 1). This method of high frequency stimulation, ablation, and repeat stimulation was repeated at each of the known GP sites. Results: Between December 2020 and December 22 four patients with medically refractory cardio-inhibitory syncope underwent CNA. All patients had objective adjudication of their outcomes through remote and in-clinical follow-up of their ILRs. The Characteristics of these patients regarding the patients and procedure are seeing in the table 1. During a mean follow-up 10±3.19 months, 3 patients remained asymptomatic and one patient required a repeat limited ablation due to a syncope recurrence 7 months post-ablation. There we



### 2001

RESULTADOS DA CRIOABLAÇÃO DE VIAS ACESSÓRIAS PARAHISSIANAS. ANÁLISE DE UMA SÉRIE DE CASOS

TAYENE ALBANO QUINTELLA; NILSON ARAUJO DE OLIVEIRA JUNIOR; OLGA FERREIRA DE SOUZA; MARTHA VALERIA TAVARES PINHEIRO; RAFAEL AUGUSTO LETHIER RANGEL; CLAUDIO MUNHOZ DA FONTOURA TAVARES; RODRIGO PERIQUITO COSENZA; LEONARDO REZENDE DE SIQUEIRA; ALEXANDRE SANTORO FRANCISQUINI; PATRICIA MATTOS VIEIRA DO PAÇO; WILLIAM OLIVEIRA DE SOUZA.

REDE D'OR RIO DE JANEIRO, RIO DE JANEIRO - RJ - BRASIL.

Introdução: A ablação por radiofrequência (RFA) de vias acessórias (AP) próximas ao feixe de His (HB) está relacionada a um risco aumentado de dano irreversível ao nó atrioventricular (AVN). A crioablação (CRIA) devido às suas características de progressão mais lenta da lesão, adesão do cateter durante a aplicação e o tipo de lesão causadad, tem se mostrado um método eficaz e seguro para ablação das vias parahissianas (PHP). Apesar disso, alguns defendem que há um menor índice de sucesso com essa tecnologia. Objetivos:Demonstrar o resultado de uma série de casos de CRIA de PHP, avaliando sua segurança e sucesso. Pacientes e Métodos: De 2010 a 2022 submetemos 22 pacientes ao CRIA devido a PHP. Para ser considerado PHP, um local de ablação bem-sucedido precisava exibir um potencial indubitável de His. A ablação foi realizada com cateter medtronic FREEZOR de 6 mm de ponta. A localização da AP foi feita com critérios padrão e em 6 casos com uso de mapeamento eletroanatômico. Após a localização do suposto sítio de ablação, a CRIA era iniciada e se a condução sobre o PHP desaparecesse em 30s, mantinha-se a CRIA por 180s e uma segunda aplicação era feita no mesmo local. Manobras eletrofisiológicas e infusão de adenosina foram feitas para demonstrar ausência de qualquer condução de PAP e após 30 minutos de observação o procedimento era encerrado. **Resultados:** Obtivemos sucessos agudo em 21/22 casos. A temperatura média obtida durante a ablação em 8 pacientes. Em um deles a ablação foi interrompida levando a recidiva em curto prazo. Nos outros casos, a CRIA não foi interrompida, resultando em eliminação sustentada de AP. Houve BAVT transitório em um caso. Foi observada recidiva da AP tardiamente em 2 pacientes, sendo feita nova CRIA com sucesso. Conclusão: A técnica de CRIA para PHP mostrou-se segura e eficaz nesta série de casos. O RBB parece ser um achado comum e não foi associado ao bloqueio AV agudo.



#### 1960

### ¿ES EL FIN DE LOS ALGORITMOS DE OPTIMIZACIÓN EN DISPOSITIVOS DE

DANIEL ORTEGA; PAOLUCCI ANALIA GLADYS; EMILIO LOGARZO; EVELYN GARCIA: NICOLAS MANGANI.

CLINICA SAN CAMILO, CABA - ARGENTINA.

Introducción: En los últimos años han surgido sitios alternativos para la estimulación cardiaca (ECP), con catéteres en his, seno coronario, rama izquierda, parahisiano y sus diferentes combinaciones, con el fin de lograr una activación lo más cercana a lo fisiológica. Estos continuos avances en las diferentes modalidades de ECP generan una discordancia para la utilización de algoritmos de optimización, va que han sido creados para sitios convencionales. Ademas, no todos los pacientes (P) presentan trastornos de conducción A-V o son intermitentes lo que hace más compleja la programación Objetivos: Evaluar la necesidad de la optimización manual de los intervalos VV y AV en pacientes con estimulación no convencional, con dispositivos de resincronizacion (TRC) que combinan activación parahisiana (PH) con ápex de VD (AVD). **M y M**: Se evaluaron 10 P con TRC con catéter ubicado en AVD y PH, guiado por sincronía eléctrica (SE) por el método Syncromax ®, hasta obtener una curva 2 e índice de SE menor de 0.4. Se utilizaron catéteres con screw in. Todos los P tenían conducción AV preservada y BRI. Se evaluaron las curvas de sincronía en modo VVI con distintos VV hasta obtener la estimulación PH con curva 2 y mejor índice de sincronía. En todos los casos se logró curva 2. Luego se programó el intervalo AV con el VV que permita obtener mejor indice SE y un intervalo AV sensado de 100 y estimulado de 150 mseg. R: En el 80 % con estimulación DDD con sensado de auricula se encontró disincronia eléctrica al utilizar esta programación. Esto se explica porque el ritmo propio con BRI y la fusión con la estimulación parahisiana desicroniza eléctricamente al P. En cada caso fue necesaria la programación de un intervalo AV de acuerdo al VV programado para lograr SE. **Conclusion**: Con las nuevas combinaciones de sitios de ECP es necesaria la programación manual de los dispositivos de acuerdo al análisis particular de la sincronía eléctrica. Esto torna ineficaz los algoritmos de automatización del intervalo VV, especialmente en pacientes con conducción AV preservada. En nuestro grupo de pacientes una programación standard torna asincrónica eléctricamente en el 80% de los pacientes una estimulación pasible de ser más fisiológica.

### 1961

### HALLAZGOS DEL MOVIMIENTO SEPTAL ASOCIADO A DISTINTOS TIPOS DE ESTIMULACIÓN. COMPARACION CON SINCRONÍA ELECTRICA

DANIEL ORTEGA; PAOLUCCI ANALIA GLADYS; EMILIO LOGARZO; EVELYN GARCIA: NICOLAS MANGANI: ROJAS PAOLA.

CLINICA SAN CAMILO. CABA - ARGENTINA.

Introducción: El movimiento septal por ecocardiograma (ECO) es un parámetro poco estudiado en relación a la sincronía eléctrica (SE) en términos de función ventricular (FEy). Existen numerosos parámetros estudiados, aunque uno tan simple no fue comparado con los índices de SE. Existen estudios de la torsión cardiaca en distintos escenarios, pero carecen de estandarización en nuestros días y requieren softwares especiales. Objetivos: Evaluar el movimiento del septum interventricular mediante ECO en un grupo de pacientes (p) sometidos a implantes de marcapasos (MCP) en diferentes sitios de estimulación del ventrículo derecho y su comparación. Simultáneamente se evaluó la Fey. **M Y M:** Se evaluaron 130 p con indicación de MCP definitivo por diferentes causas. Se realizó un seguimiento de 4 ± 2 años. Se dividieron los p en 3 grupos. Se realizó la evolución de la SE en forma no invasiva con el método de Synchromax. Se consideró sincrónico a la curva 2 con índice entre 0 y 0,4, intermedio a la curva 5 con índice de 0,4 a 0,7 y disincrónicos a la curva 8 con índice mayor a 0,7. **Grupo 1:** p con estimulación (E) en ápex disincrónicos con curva 8 e índice mayor a 0.7 **Grupo 2:** p con E en ápex con curva 5 índice menor a 0.7. **Grupo** 3: p con E parahisiana con curva 2 indice menor a 0.4. A todos los p se les realizo eco doppler para evaluar Fey y movimiento septal. **Resultados**: De los 130 p 47 eran de sexo femenino. La media de edad fue 81 años (± 7 años). La causa más frecuente de implante de MCP fue la enfermedad de nodo sinusal. **Grupo** 1: 15 p el 53% presentan movimiento anormal de septum (MAS) y el promedio de la Fey fue de 45,5 %. **Grupo** 2: 38 p el 37% presentan MAS y el promedio de la Fey fue de 54,0 %. **Grupo 3:** 77 p el 19% presentan MAS y el promedio de la Fey fue de 57,1 %. **Conclusiones.** El movimiento anormal de septum fue significativamente más frecuente en el grupo 1 al igual que presentaban una menor fracción de evección. A la inversa la estimulación parahisiana tiene una baja incidencia de movimiento anormal de septum y la fracción de eyección más alta entre los 3 grupos estudiados.

### 1962

### ESTIMULACIÓN PARAHISIANA CON CARDIODESFIBRILADOR EN PACIENTES CON SÍNDROME DE BRUGADA GUIADA POR EVALUACIÓN NO INVASIVA DE LA SINCRONÍA ELÉCTRICA. SEG

DANIEL ORTEGA; PAOLUCCI ANALIA GLADYS; EMILIO LOGARZO; EVELYN GARCIA: NICOLAS MANGANI.

CLINICA SAN CAMILO, CABA - ARGENTINA

Introducción: Los pacientes con Síndrome de Brugada (SB) requieren frecuentemente el implante de un cardiodesfibrilador (CDI). La estimulación parahisiana guiada por método no invasivo de evaluación de la sincronía eléctrica normaliza los trastornos de conducción intraventricular. En el SB el área arritmogénica se encuentra en la zona del tracto de salida del ventrículo derecho (TSVD) y es detectada como una patente que podria simular a un bloqueo atípico de un rama derecha. En investigaciones previas se studiaron los efectos la estimulación desde esta área en relación a los cambios en el ECG y se demostró la desaparición del patrón. Objetivo: Evaluar la desaparicion del patrón del ECG en el SB y su potencial efecto antiarrítmico en pacientes (p)sometidos a implante de CDI guiados por método de evaluación de la sincronia eléctrica no invasiva. **M y M:** Se evaluaron 6 p con patente de SB tipo 1 con indicación de implante de CDI parahisiano. La edad media fue de 49 años. Cuatro p eran de sexo masculino. La indicación del implante del CDI fue síncope en dos casos, inducción de arritmia ventricular en estudio electrofisiológico en los 4 casos restantes. Se realizo el implante en zona parahisiana de CDI DDD con catéteres screw in, guiados por el metodo Synchromax hasta ubicar la normalización de las curvas de sincronía que coinciden con la desaparición del patrón del SB. Seguimiento de 7 años. **Resultados:** En todos los p se logró la normalización del grs y desaparición del SB. Una p presento pre up grade a zona parahisiana (estaba estimulada en ápex y tenía antecedentes de ARF del TSVD) en otro centro tormenta eléctrica, tuvo 8 shocks el día de internación y 7 episodios previos de tormenta eléctrica en los pasados 3 años. La p con tormenta eléctrica no volvió a repetir arritmias durante 7 años. Los otros 5 pacientes nunca tuvieron eventos. **Conclusiones:** La estimulación parahisiana guiada por Synchromax en pacientes con SB normaliza el qrs y podría estar asociada a la desaparición de arritmias. Dada la intermitencia del patrón sería conveniente un CDI especialmente diseñado para la estimulación cuando esté presente el patrón ya que las arritmias se producen con el patrón característico que antecede al evento

### 1974

#### PREDITORES DE MORTALIDADE E TERAPIAS APROPRIADAS EM PORTADORES DE CARDIODESFIBRILADOR IMPLANTÁVEL E CARDIOMIOPATIA CRÔNICA DA DOENÇA DE CHAGAS

FRANCISCA TATIANA MOREIRA PEREIRA<sup>1</sup>; DAVI SALES PEREIRA GONDIM<sup>2</sup>; PEDRO SALES PEREIRA GONDIM<sup>3</sup>; LUISA DIOGENES QUEIROZ<sup>3</sup>; JULIA SANTOS DUARTE FERNANDES<sup>4</sup>; MARCELO DE PAULA MARTINS MONTEIRO<sup>1</sup>; EDUARDO ROCHA<sup>5</sup>; ROSA LIVIA FREITAS DE ALMEIDA<sup>6</sup>; ROBERTO DA JUSTA PIRES NETO<sup>1</sup>.

1. UNIVERSIDADE FEDERAL DO CEARÁ, FORTALEZA - CE - BRASIL; 2. UNIVERSIDADE DE FORTALEZA -UNIFOR, FORTALEZA - CE - BRASIL; 3. CENTRO UNIVERSITÁRIO CHRISTUS -UNICHRISTUS, FORTALEZA - CE - BRASIL; 4. UNIVERSIDADE DE FORTALEZA-UNIFOR, FORTALEZA - CE - BRASIL; 5. UNIVERSIDADE DE FEDERAL DO CEARÁ, FORTALEZA - CE - BRASIL; 6. UNIVERSIDADE TULANE, FORTALEZA - CE - BRASIL;

Existem poucos estudos sobre cardiodesfibrilador implantável(CDI) na prevenção primária e secundária de morte súbita na cardiomiopatia crônica da doença de Chagas (CCC). Objetivos:Avaliar os prediotres de mortalidade e de acionamento apropriado do dispositivo nessa população. **Metodologia:** Trata-se de um estudo prospectivo histórico de uma população. **Metodologia:** Trata-se de um estudo prospectivo histórico de uma população de 117 pacientes portadores de CDI e CCC. Estudo aprovado pelo Comité de Etica da Instituição. Os dispositivos foram implantados de janeiro de 2003 a dezembro de 2021 em um serviço de referência em Estimulação Cardiaca Artificial. Análise estatistica: Os dados foram analisados no software SPSS. O teste de Shapiro-Wilk , X2 (quiquadrado) e exato de Fisher foram utilizados. Construímos curvas de Kaplan-Meier para variáveis com P <0,05 e suas comparações foram realizadas com o teste log rank-bicaudal entre estratos. A sobrevida cumulativa foi avaliada pelo método de regressão de Cox, e o Estimador de Nelson-Allen foi utilizado para determinar a probabilidade dos eventos de interesse. Utilizamos também o teste de Schoenfeld e a inspeção gráfica dos residuos de Cox-Snell. **Resultados:** Foram incluídos 117 pacientes com mediana de seguimento foi 61 meses , sendo o gênero masculino predominante e a mediana de idade de 55 anos. A incidência de choques apropriados e terapias apropriadas(ATP) foram 43,6% e 26,5%, respectivamente. Durante o seguimento, 46 pacientes (39,7%) foram a óbito. A mortalidade anual foi de 6,2 % pessoa - anos ((C95% 4,6-8,3), com apenas duas mortes súbitas durante o seguimento. A prevenção secundária foi preditor a de torques(P=0,03) isoladamente e associados(P=0,029).Possuir escore de Rassi intermediário foi preditor de terapia apropriada(p=0,017) isoladamente e associados (he-0,029).Possuir escore de Rassi intermediário foi preditor de terapia apropriado especialmente a associado a choque apropriado (P=0,005). Na análise multivariada de Cox a classe funcional IV(p=0,007) ,



### 2024

P-WAVE INDICES FOR RISK ASSESSMENT OF ATRIAL FIBRILLATION IN CHAGAS DISEASE

CLÁUDIA DA SILVA FRAGATA; ABILIO AUGUSTO FRAGATA FILHO

INSTITUTO DANTE PAZZANESE DE CARDIOLOGIA. SÃO PAULO - SP - BRASIL

Background: Studies analyzing atrial activation in electrocardiograms (ECG) usually highlight P-wave duration, P-wave dispersion, PR interval, P/PRi ratio, and atrial activation time (AAT). Although these indices can be predictors of atrial fibrillation (AF) development in different clinical contexts, there are no studies specifically looking at them in the context of Chagas disease (CD). Objectives: To evaluate the following electrocardiographic indices as predictors of AF in CD: P-wave duration, AAT, P-wave dispersion, PR Interval, and P/PRi ratio. Methods: This retrospective study examined the ECG records of CD patients who had been monitored for at least 10 years and examined the progression in five electrocardiographic indices over time in patients with and without atrial fibrillation. Results: Of the 42 patients with CD included in the study, 13 experienced AF ("AF yes") and 29 did not ("AF no"). The electrocardiographic records analyzed were taken an average of 20 years apart (20.55±7.54). While the P/PRi ratio was not different between the two groups at the time of the first ECG, it decreased from 0.68±0.11 to 0.57±0.11 in the "AF yes" group, such that the P/PRi ratio was significantly lower in the "AF yes" group than the "AF no" group by the time of the second ECG (p=0.03). There were no statistically significant differences in the other parameters studied. Conclusions: In our study, only the P/PRi ratio was shown to predict the onset of paroxysmal AF, with lower values predicting the occurrence of this arrhythmia.

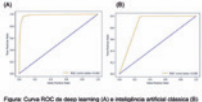
### 2044

ANÁLISE COMPARATIVA ENTRE MODELO DE INTELIGÊNCIA ARTIFICIAL CLÁSSICA E DE REDES NEURAIS PARA DETECÇÃO DE FIBRILAÇÃO ATRIAL

CRISTIANO DE OLIVEIRA DIETRICH<sup>1</sup>; CAMILA HELENA MACEDO DA COSTA<sup>2</sup>; FABIANO NOVAES BARCELLOS FILHO<sup>3</sup>; HUMBERTO WEBER FERNANDES<sup>2</sup>; FLÁVIA PAIVA PROENÇA LOBO LOPES<sup>2</sup>; PALIO ROBERTO TELLES PIRES DIAS<sup>2</sup>; SERGIO HENRIQUE RODOLPHO RAMALHO<sup>3</sup>; EDUARDO GOMES LIMA<sup>2</sup>; DIANDRO MARINHO MOTA<sup>3</sup>; JOÃO VICTOR INNECCO AREAS<sup>3</sup>; VICTOR DE BRITTO GADELHA<sup>2</sup>.

1. REDE DASA, SÃO PAULO - SP - BRASIL; 2. REDE DASA, SAO PAULO - SP - BRASIL; 3. NEOMED, SAO PAULO - SP - BRASIL

A fibrilação atrial (FA) representa um desafio no que tange ao diagnóstico precoce e identificação, tormando crucial a busca por métodos que aprimorem o cuidadod desta condição. Neste contexto, as estratégias baseadas em inteligência artificial clássica (IAC) e deep learning (DL) têm emergido como abordagens para otimizar o rastreamento e detecção de arritmias cardíacas. O objetivo deste estudo é comparar um modelo de IAC e um modelo de DL para a detecção de FA em pacientes submetidos a exames eletrocardiográficos (ECG) em 11 hospitais terciários localizados em quatro cidades brasileiras. Entre março e agosto de 2023, um total de 18.364 ECGs foram analisados por ambos os modelos. Os resultados obtidos foram comparados com o padrão-ouro estabelecido - laudo do cardiologista. No modelo de IAC, foram extraídos sinais provenientes de imagens de ECG, com avaliação de cinco parâmetros foram então do etinico parâmetros foram então comparados com os valores padrão das diretizes da Sociedade Brasileira de Cardiologia para detecção de anomalias cardíacas. Por outro lado, o modelo de DL empregou aprendizado profundo, específicamente uma Convolutional Neural Network (CNN) baseada em uma rede ResNet unidimensional. Esse modelo foi treinado utilizando otimização Adam e perda de entropia cruzada binária, permitindo o aprendizado de padrões complexos nos dados. Na análise realizada, ao definir um valor de corte no eixo X de 0,03, o modelo de IAC apresentou sensibilidade e especificidade de 100% e 71%, respectivamente, enquanto o modelo de DL 98% e 87%. As curvas ROC foram geradas para ambos os modelos, evidenciando o desempenho superior do modelo de DL em nossa amostra. Embora a sensibilidade enha permanecido semelhante entre os modelos, o modelo de 90 e destacou pela sua elevada específicidade. Estes resultados sugerem que a inteligência artificial, em particular a abordagem de deep learning, mostra-se promissora como um recurso de suporte ao diagnóstico de FA. No entanto, mais estudos são necessários para avalaira os modelos



### 2058

TONTURA COMO SINTOMA PREDITOR DE SÍNCOPE EM PACIENTES COM DISPOSITIVOS CARDÍACOS IMPLANTÁVEIS

PEDRO HENRIQUE CORREIA FILGUEIRAS; RHANNIEL THEODORUS HELHYAS OLIVEIRA SHILVA GOMES VILLAR; MATHEUS CASSIMIRO PARTATA; CARLOS ARTHUR HANSEL DINIZ DA COSTA; GABRIELA RODRIGUES DE OLIVEIRA; GABRIELA MENICHELLI MEDEIROS COELHO; ENIA LUCIA COUTINHO; CLAUDIO CIRENZA; ANGELO AMATO VINCENZO DE PAOLA.

UNIVERSIDADE FEDERAL DE SÃO PAULO, SÃO PAULO - SP - BRASIL

Introdução: A síncope é uma queixa frequente de pacientes portadores de dispositivos cardiacos eletrónicos implantáveis (DCEI), podendo ser precedida por tonturas sem caracterização pré-sincopal. As queixas de tonturas inespecíficas não são amplamente estudadas, são frequentemente descritas de forma vaga e nem sempre devidamente estudadas, são frequentemente descritas de forma vaga e nem sempre devidamente valorizadas pela propedêutica médica. Além disto, o processo de julgamento e valorização de prognóstico, sofre forte influência da idade, levada em consideração a curto e longo prazo nestes pacientes. Métodos: estudo observacional, retrospectivo, com revisão de prontuário, em pacientes portadores de DCEI, acompanhados em ambulatório especializado de hospital universitário entre 2020-2023. Objetivo: avaliar a associação e a capacidade preditora do sintoma de tontura com síncope, em pacientes com DCEI, além da influência da idade nesta relação. Resultados: foram selecionados 70 pacientes portadores de DCEI — marca-passo, cardiodesfibrilador implantável e ressincronizador cardíaco, 41 homens, (62 anos + 18 anos; 59% do sexo masculino) com sintomatologia de dispnéia, palpitações, tonturas e síncope. Entre estes, 22 (31%) pacientes eram chagásicos, 11 (15%) coronarianos e 37 (46%) com outras cardiomiopatias. Na amostra, 17 (24%) tinham fibrilação atrial, 31 (44%) eram hipertensos e 12 (17%) diabéticos. Observou-se que 46/70 (66%) apresentaram tontura e 16 (23%) desses pacientes, apresentou síncope, (p=0,001). Nenhum dos 24 pacientes que não tiveram tontura cursaram com síncope. A análise das outras variáveis não esteve significantemente relacionada aos fenômenos sincopais, sendo realizadas não esteve significantemente relacionada aos fenômenos sincopais, sendo realizadas não esteve significantemente relacionada aos fenômenos contros fatores de risco (7,2; p=0,7). Conclusão: a tontura mostrou-se importante preditor de síncope em pacientes com DCEI, devendo haver valorização clínica deste sintoma desde a sua apresen



### 2073

AS VÁRIAS FACES DO PROLAPSO DA VALVA MITRAL ARRÍTMICO – SÉRIE DE CASOS

GUILHERME AUGUSTO TEODORO ATHAYDE; GABRIEL PELEGRINETI TARGUETA; DANIEL MOREIRA COSTA MOURA; RENNER AUGUSTO RAPOSO PEREIRA; LILIAN LUCIA AMADOR RESENDE.

RITMA - ARRITMIAS CARDÍACAS, JOÃO PESSOA - PB - BRASIL.

Introdução: O prolapso da valva mitral (PVM) é a doença valvar mais comum, acometendo 2-3% da população geral. Recentemente, a partir da observação de elevada prevalência de PVM entre pacientes jovens com morte súbita cardíaca (MSC) em autópsias, foi reconhecido um grupo de pacientes com tal doença valvar associado a arritmias, levando a um alto risco de MSC, denominado PVM arritmico (PVMA). OBJETIVO: relatar uma série de casos representando a miriade fenotipica de pacientes com PVMA e ressaltar os desafios diagnósticos da doença. METODOS: Foram avaliados prontuários de pacientes com diagnóstico eocardiográfico de PVM, atendidos por queixas secundárias a arritmias ventriculares e que obrigatoriamente tenham sido submetido a Holter e Ressonância Magnética do Coração (RMC). Foram extraídos dados demográficos, clínicos e avaliada densidade de extrassistoles ao Holter, presença de disjunção do anel mitral e fibrose à RMC (imagem 1). Todos os casos também foram avaliados quando a indicação de ablação por cateter ou implante de CDI. Resultados: São apresentados cinco casos de PVMA. A idade média dos casos foi de 53,6 anos e 04 dos pacientes eram do sexo femínino (80%). Todos os pacientes se apresentaram com queixas de palpitações e apenas um com relato de síncope recorrente. Todos apresentavam excesso de extrassistoles ventriculares ao Holter. Nenhum deles apresentou disfunção de ventrículo esquerdo significativa ao ecocardiograma. Todos foram submetidos a ressonância magnética do coração, sendo encontrada disjunção do anel mitral em 4 dos 5 casos (80%) e focos de fibrose em 3 dos 5 casos (60%). Uma das pacientes foi submetida a estudo eletrofisiológico com indução de FV e indicação de CDI. Outro paciente foi submetido a implante de CDI devido a queixa de síncope recorrente. Duas pacientes foram submetidas a ablação por cateter das extrassístoles ventriculares. Conclusão: A associação de CPVM a arritmias complexas pode determinar elevado risco de MSC. O reconhecimento dos fatores de alto risco é essencial para identi





#### 2088

ANÁLISE RETROSPECTIVA ENTRE 2018 A 2022 DE PARADAS
CARDIORRESPIRATÓRIAS ATENDIDAS PELO SERVIÇO DE ATENDIMENTO
MÓVEL DE URGÊNCIA DE PORTO ALEGRE

FERNANDA DONNER JALVES; ROSEANA BOEK CARVALHO; RODRIGO PEREIRA DE ALMEIDA; GLAUCIA FRAGOSO HOHENBERGER; DÉBORA PACHECO FLACH; ANDRESSA DE ABREU COSTA; FABIANO BARRIONUEVO.

HOSPITAL MOINHOS DE VENTO PROADI-SUS, MINISTÉRIO DA SAÚDE, PORTO ALEGRE - RS - BRASIL.

Introdução: A parada cardiorrespiratória (PCR) é responsável por aproximadamente 40-50% das mortes por causa cardiovascular. Estimativas sugerem que apenas um No Brasil, ocorrem cerca de 220 mil PCRs por ano, destas 82% em ambiente extra-hospitalar. **Objetivo**: Descrever o perfil de casos confirmados de PCR extra-hospitalar. atendidos por um Serviço de Atendimento Móvel de Urgência. Métodos: Estudo observacional retrospectivo de dados coletados utilizando o protocolo de Utstein das fichas de atendimento do Serviço Móvel de Urgência público, da cidade de Porto Alegre/ RS, durante o período de 2018 a 2022. Foi realizada estatística descritiva e analítica, adotando nível de significância de 5% para análises comparativas. O estudo faz parte do projeto do PROADI-SUS: Cidade Cardio Protegida (CAAE: 51136021.0.0000.5330). Resultados: Durante o período avaliado, a média de casos de PCR extra-hospitalar foi de 431/ano. Dos casos de PCR, 55% da amostra era do sexo masculino e a mediana de idade foi de 68 anos (IQ 56-79). A taxa média de sobrevivência foi de 14,42%. O tempo entre a ligação para o serviço de urgência até o atendimento foi de 15 min (mediana e IQ 11-22). Vítimas atendidas em até cinco minutos corresponderam a 11% da amostra, e estas apresentaram 63% mais chance de sobrevivência (OR 0,63; IC 0,5152 - 0,7120). Referente ao período do dia, foi observada uma menor quantidade de chamados para casos de PCR durante a madrugada (16%) (p<0,05). Um maior número de casos ocorreu durante o período de 2020 a 2022 (pandemia COVID-19) em comparação à 2018 e 2019 (p<0,05). **Conclusões:** Os dados de PCRs extra-hospitalares descritos corroboram com os dados da literatura mundial referentes ao tempo-resposta do serviço móvel de urgência e maior ocorrência em homens e idosos. Porém, a sobrevida foi menor do que descrito na literatura (14 vs 22%). Estes dados reforçam a ideia de que o sucesso para a sobrevivência do paciente demanda ações coordenadas que incluam o rápido reconhecimento da PCR e a ativação do sistema de resposta à emergência, além de ações educativas para população a respeito de suporte básico de vida e desfibrilação precoce

### 2004

ANÁLISE DAS MARCAÇÕES AUTOMÁTICAS CRIADAS ABLAÇÃO DE FA COM TÉCNICA DE "DRAGGING" E HPSD: ANÁLISE DE DUAS ABORDAGENS DE VENTILAÇÃO

FABRÍCIO SARMENTO VASSALLO'; EDEVALDO DA SILVA'; ANDERSON BARCELOS'; CHRISTIANO LEMOS DA CUNHA'; LUCAS CORCINO DOS SANTOS'; EDUARDO GIESTAS SERPA'; ALOYR GONÇALVES SIMÕES JUNIOR'; HERMES CARLONI ARAÚJO'; CARLOS ALEXANDRE VOLPONI LOVATTO'; DALBIAN SIMÕES GASPARINI'; ANDRE SCHMIDT'S.

1. HOSPITAL SANTA RITA DE CÁSSIA, VITORIA - ES - BRASIL; 2. ABBOTT DO BRASIL, SÃO PAULO - SP - BRASIL; 3. HOSPITAL SANTA CASA DE MISERICÓRDIA DE VITÓRIA, VITÓRIA - ES - BRASIL; 4. INSTITUTO DO CORAÇÃO DO ESPIRITO SANTO, VITÓRIA - ES - BRASIL; 5. FACULDADE DE MEDICINA DE RIBEIRÃO PRESTO - USP, RIBEIRÃO PRETO - SP - BRASIL.

Introdução/objetivo: Estimulação atrial rápida (EAR) e a ventilação de baixo volume corrente de alta frequência (BVCAF) isoladas ou combinadas melhoram a estabilidade e força contato (FC). Sistemas de mapeamento realizam marcações automáticas baseadas em FC, radiofrequência (RF) e queda de impedância. Comparar resultados anotações realizadas pelo AutoMarkTM ablações de FA HPSD e BVCAF/EAR simultâneos e ventilação padrão (VP). Métodos: Grupos A; 70 em EAR (100ppm) + BVCAF com 4ml/kg de volume corrente e 25 respirações/min e B 66 pts com VP e ritmo sinusal. Ablação com 50W, força de contato de 5-10g/10-20g e fluxo de 40 mL/min parede posterior e anterior do AE. Conclusão: Ventilação BVAF+EAR produzem melhor força de contato e maior queda de impedância por segundo de RF e melhores indices de LSI.

Marcações Automáticas	A (70 pts) (média ± DP)	B (66 pts) (média ± DP)	(p)	
Pontos FC	118.3±31.0	111.1±23.0	0,62	
FC Total	1246.6±539.8	1131±336.3	0,05	
Indice FC	10.6±1.3	10.2±1.3	0,18	
pontos FC <10g	63.8±22.1	57.2±21.1	0,22	
Índice FC <10g(%)	54.2±5.4	51.6±4.5	0,47	
FC / RF g/s	1.0±1.3	0.8±1.1	0,008	
Pontos QIL	118.8±28.4	111.4±21.5	0,26	
QIL total(%)	1532.9±487.5	1260.2±253.9	0,01	
Índice QIL(%)	12.9±1.5	11.4±1.2	0,009	
QIL <12%	55.9±23.8	64.9±25.2	0,15	
Índice QIL <12%	46.6±5.4	58.3±5.3	0,02	
QIL/RF %/s	1.2±1.3	0.9±1.3	< 0,001	
Índice FC X QIL / RF	11.5±2.2	8.8±3.1	0,04	
Índice FC total X QIL / RF	1566.9±202.2	1032.0±337.3	0,007	
Pontos LSI	70±16,57	56±2,7	0,001	
<lsi< td=""><td>3,4±0,5</td><td>2,9±0,7</td><td>0,05</td></lsi<>	3,4±0,5	2,9±0,7	0,05	
>LSI	8,2±0,4	6,9±0,9	0,001	
LSI	5.6±0.6	4.8±0.8	0.05	

### 2009

IMPACT OF CATHETER ABLATION WITH VEIN OF MARSHALL ETHANOL INFUSION VS. ABLATION ALONE IN ATRIAL FIBRILLATION: A SYSTEMATIC REVIEW AND META-ANALYSIS

EDUARDO DAN ITAYA; FELIPE FERRAZ MARTINS GRAÇA ARANHA; ALEXANDER DAL FORNO; ANDRE LUIZ BUCHELE D'ÁVILA.

CLÍNICA RITMO - HOSPITAL SOS CARDIO, FLORIANÓPOLIS - SC - BRASIL.

Background: Catheter ablation (CA) of atrial fibrillation (AF) has limited long-term efficacy. The vein of Marshall (VoM) is associated with autonomic innervation and has arrhythmogenic roles in AF. However, the impact of CA with VoM ethanol infusion on the recurrence of atrial tachyarrhythmia (AT) remains unclear. Methods: We systematically searched PubMed, Embase, and Cochrane databases for randomized controlled trials (RCTs) and observational studies comparing CA with VoM ethanol infusion vs. CA alone in patients with AF. Recurrent AT was defined as AF, atrial flutter, or atrial tachycardia. A subgroup analysis was performed for patients undergoing a re-do procedure. A fixed or random-effects model was used in studies with low and high heterogeneity studies, respectively. Results: We included 1 RCT and 10 observational studies with 2,828 patients who underwent CA for AF, of whom 1,117 (39%) underwent VoM ethanol infusion. Follow-up ranged from 10 to 46 months. Compared with CA alone, VoM ethanol infusion was associated with a significantly lower AT recurrence (OR 0.52; 95% CI 0.35-0.78; p=0.001; I2 =76%; Figure 1) and significantly higher rates of mitral isthmus (MI) block rate (OR 4.81; 95% CI 2.46-9.44; p<0.00001; I2 =69%; Figure 2). A subgroup analysis of patients who underwent a re-do procedure (OR 0.44; 95% CI 0.30-0.64; p<0.0001; I2 =0%; Figure 3) also showed significantly lower rates of AT recurrences in the VoM + CA group. Conclusion: In patients with AF, CA with VoM ethanol infusion significantly reduced AT recurrence compared to CA alone, including patients undergoing a re-do procedure. Additionally, VoM ablation was also associated with higher rates of MI block. Most data available at this point is derived from observational studies. Thus, these results should be interpreted with caution. Further studies are warranted to assess treatment strategies for this population.



### 2018

OCLUSÃO PERCUTÂNEA DO APÊNDICE ATRIAL ESQUERDO NA PRESENÇA DE TROMBO INTRACAVITÁRIO.

EDVALDO FERREIRA XAVIER JUNIOR<sup>1</sup>; LUCAS BRANDÃO CAVALCANTE<sup>2</sup>; ALFREDO AURÉLIO MARINHO ROSA FILHO<sup>2</sup>; ALEXANDRE PEGO XAVIER<sup>2</sup>; GUSTAVO SANTIAGO<sup>1</sup>; MARCELLO RUSSO<sup>1</sup>; LENINE ANGELO<sup>1</sup>; LETICIA TORRES<sup>2</sup>; SARA CAROLLINE GOMES DE ARAUJO LIMA<sup>2</sup>; DARIO DE MOURA<sup>1</sup>; MARCONE RRANDAO<sup>1</sup>

1. SANTA CASA DE MISERICÓRDIA DE MACEIÓ, MACEIO - AL - BRASIL; 2. CENTRO UNIVERSITÁRIO DE MACEIÓ. MACEIO - AL - BRASIL.

Fundamento: A presença de trombo intracavitário é um critério para exclusão do implante da prótese para oclusão do apêndice atrial esquerdo (AAE), no entanto em situações especiais é possível a realização do procedimento com segurança. Objetivo: Apresentar a técnica, resultados transoperatórios e o seguimento clínico-ambulatorial da oclusão percutânea do AAE na presença de trombo intracavitário. Material e métodos: Entre junho de 2020 e maio de 2023 foram realizados 26 oclusões de AAE em nosso serviço de Eletrofisiologia. Quatro pacientes possuíam trombo intracavitário, em três pacientes o trombo estava consolidado sem dissolvição após um ano de uso ininterrupto com terapia de anticoagulante. Em um paciente a observação do trombo foi no ato do implante; neste paciente o anticoagulante foi suspenso ssenta dias antes devido a um quadro de sangramento digestivo baixo. Em todos os pacientes foram realizados tomografia de átrio esquerdo, três eram do sexo masculino (75%), a idade variou de 65 a 75 anos com média de 68,5. O procedimento foi realizado sob anestesia geral e guiado por ecocardiograma transesofágico (ETE), sendo realizada sob punções venosas femorais e uma punção transeptal. A duração do procedimento variou entre 90 a 120 minutos, em três pacientes foi implantado o sistema de proteção cerebral SENTINEL como forma de proteção embólica para capturar e remover trombos/detritos durante a realização do procedimento. Resultados: Em 100%, a oclusão do AAE na presença de trombo intracavitário foi considerada sucesso, não sendo observado shunt no AAE, não houve nenhum deslocamento da prótese nem complicações da punção transeptal. Os quatro pacientes receberam alta após 48 horas do procedimento. No seguimento clínico de 12 meses, não houve registro de novos eventos tromboembólicos. Após 90 dias, todos os pacientes foram submetidos a novo ETE sem observação de shunt no AAE. Conclusão: Apesar da contraindicação da oclusão percutânea do AAE na presença de trombo intracavitário, existem situações especiais que viabilizam a necessidade de realizar tal procedimento. E nessa amostra todos os pacientes não apresentaram complicações e tiveram o trombo isolado após o implante da prótese



#### 2023

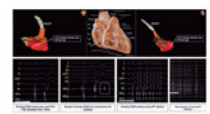
### SHORT COUPLED VENTRICULAR FIBRILLATION ABLATION FROM MODERATOR BAND

CARLOS ALEXANDRE VOLPONI LOVATTO; WALTER DUARTE BATISTA JUNIOR; ELTON PINHEIRO BARBIERO; FABRÍCIO SARMENTO VASSALLO; HERMES CARLONI ARAÚJO; ALOYR GONÇALVES SIMÕES JUNIOR; EDUARDO GIESTAS SERPA; CHRISTIANO LEMOS DA CUNHA; LUCAS CORCINO DOS SANTOS; DALBIAN SIMÕES GASPARINI; LUIZ FERNANDO M. BARBOSA.

HOSPITAL SANTA CASA DE VITÓRIA, VITÓRIA - ES - BRASIL

Background: Short-coupled ventricular fibrillation (SCVF) is a type of idiopathic ventricular fibrillation (IVF) caused by short-coupled premature ventricular contraction (PVC) and does not exhibit distinct ECG findings. Case presentation: A 39 years old male presented after an aborted sudden cardiac death (SCD). The only abnormality was a frequent PVC with 280ms coupling interval (CI), superior axis left bundle branch lock (LBBB) morphology and late precordial R/S transition (R on T). Cardiac magnetic resonance (CMR) and coronary angiography were normal. A cardiac defibrillator (ICD) was implanted and any type of arrhythmia occurred during 3 years follow up. In 2022 ICD shocks reverted 12 VF caused by PVC's with 290ms to 350ms CI with the same morphology from 2018. After an inappropriate delay for the ablation, all PVC's was gone even with isoprenaline and was discharged on verapamil (Figure 1). In 2023 ICD shock reverted a VF caused by the same PVC as before. Ensite electroanatomic activation map revealed the earliest site of PVC at the right ventricle (RV) free wall and at this region we've found an EGM consistent with Purkinje potentials during sinus rhythm, PVC and isolated Purkinje potential not propagated to the ventricle. During RF 30W delivery with an irrigated tip catheter (Abbatt) a pleomorphic rapid VT with the same morphology of the PVC appeared followed by suppression of the PVC's that initially was on trigeminy. During this RF induced VT all the EGM-V were preceded by a Purkinje potential (Figure 2). Discussion: Moderator band (MB) PVC has a susperior axis LBBB morphology, a late precordial transition and also is later than sinus QRS. The MB contains bundles of Purkinje fibers that cross subendocardially from the septum and spread to joins the anterior papillary muscle to the RV free wall. Belhassen B. described 86 patients with SCVF and 72% presented with LBB morphology PVC, suggesting RV Purkinje as frequent site of origin of SCVF. A cluster behavior is a peculiarity of this arrhythmia and trea





### 2012

#### TRINTA ANOS DE ESTUDO DE MORTALIDADE NUMA COORTE DE PACIENTES COM A FORMA CLÁSSICA DA DISTROFIA MIOTÔNICA

SILVANA ANGELINA D'ORIO; HUGO CARDOSO DE SOUZA FALCON; CINTHYA IBRAHIM GUIRAO; ANÍSIO ALEXANDRE ANDRADE PEDROSA; SERGIO AUGUSTO MEZZALIRA MARTINS; MARCOS MARTINELLI SACCAB; THIAGO OVANESSIAN HUEB; CAIO VITALE SPAGGIARI; SERGIO FREITAS DE SIQUEIRA; MATEUS BRAGA VALLE; MARTINO MARTINELLI FILHO.

INSTITUTO DO CORAÇÃO – HC/FMUSP, SÃO PAULO - SP - BRASIL

Introdução: A Distrofia Muscular Miotônica (DM), herança autossômica dominante de envolvimento sistêmico, é a doença neuromuscular mais comum do adulto. A doença resulta de uma expansão instável na repetição do trinucleotídeo Citosina-Timina-Guanina (CTGrep) localizado no cromossomo 19q13.3. A mortalidade está relacionada à insuficiência respiratória e à doença cardiovascular (distúrbios da condução cardíaca, arritmias e disfunção ventricular). Objetívos: a) primário - determinar causas de morte em pacientes (pac) referenciados a clínica de marca-passo com diagnóstico de DM; b) secundário – determinar os preditores de mortalidade nestes pacs. Método: estudo prospectivo, consecutivo e longitudinal, que incluiu oitenta e três pets com DM da forma clássica e que foram seguidos por 30 anos. Foram analisadas as características entre os pacs que morreram (GrupoM) e os que sobreviveram (GrupoS) pelo Teste T e pelo Chi2. Análise multivariada utilizou a regressão logística, com p<0,25 na análise univariada. Resultados: Durante o período de 30 anos, 45 pac (55%) morreram. A média de idade na inclusão dos pacientes do GrupoM foi de 47±11,1 anos e de 32±7,2 no GrupoS (p<0.001), sendo que 12 (27%) morreram subitamente e 09 (20%) de insuficiência respiratória. A mortalidade entre homens e mulheres foi: 27 (60%) e 17 (38%) respectivamente, p=0.21. A presença de marca-passo e ou repetições DNA não se associaram a um aumento de risco de morte (p=0.26 e 0,45), porém ser da segunda (p=0,06). Após a regressão multivariada somente sexo masculino (OR: 7,70; IC 95%: 1,60 – 37,3; p=0.01) e idade (OR: 1,21; IC 95%: 1,10 – 1,34; p<0.001) foram petidade com com DM foram determinadas por idade, com aumento do risco expressivo de morte (nove veze maior após os 45 anos de idade) e gênero masculino. A alta mortalidade refletiu um aumento do óbitos por morte súbita, presumivelmente por arritmias cardíacas.

### 2042

### ABLAÇÃO POR CATETER DE FIBRILAÇÃO ATRIAL EM PACIENTES IDOSOS: REVISÃO SISTEMÁTICA E META-ANÁLISE

MARCOS ROBERTO QUEIROZ FRANCA'; ANDRE ASSIS LOPES DO CARMO'; GUSTAVO DE ARAUJO SILVA'; MARINA MAYRINK'; REYNALDO DE CASTRO MIRANDA'; CARLOS MORILLO'; ANTONIO LUIZ PINHO RIBEIRO'; BRUNO RAMOS NASCIMENTO!

1. HOSPITAL DAS CLÍNICAS DA UNIVERSIDADE FEDERAL DE MINAS GERAIS, BELO HORIZONTE - MG - BRASIL; 2. HOSPITAL DAS CLINICAS DA UNIVERSIDADE FEDERAL DE MINAS GERAIS, BELO HORIZONTE - MG - BRASIL; 3. CENTRO DE TRATAMENTO AVANÇADO EM ARRITMIAS, BELO HORIZONTE - MG - BRASIL; 4. UNIVERSITY OF CALGARY, CALGARY - CANADA.

Introdução: A ablação por cateter é uma terapia bem estabelecida para pacientes com fibrilação atrial (FA); entretanto, há poucos dados em pacientes idosos. Nosso objetivo é acessar a eficácia e segurança da ablação por cateter de FA em pacientes idosos a longo prazo. Métodos: MEDLINE, BVS,Cochrane e EMBASE foram consultadas até publicações de abril/2023 para investigar desfechos comparativos entre idosos > 75 ou 80 anos e indivíduos ≤75/80 anos submetidos a ablação por cateter de FA. Desfechos primários de eficácia e segurança foram recorrência de FA e complicações maiores relacionadas ao procedimento, respectivamente. Análises de subgrupo foram realizadas por faixa etária e tipo de procedimento (radiofrequência vs. crioablação). Resultados: 4.829 títulos foram pesquisados, 36 manuscritos foram lidos integralmente, e 27 estudos foram incluídos, sendo 26 observacionais e 1 estudo randomizado, compreendendo 117.869 pacientes (70% homens) submetidos à ablação por cateter, sendo 8.714 (7.4%) idosos >75/80 anos, com seguimento de 11,7 a 72,3 meses. Em estudos comparativos (N=17 estudos), idosos >75/80 anos tiveram maior risco de recorrência comparados a aqueles ≤75/80 anos: Risco Relativo (RR): 1.16 (IC 95% 1.05 − 1.27, p=0.002). Entretanto, o gráfico de funil indicou a presença de viés de publicação e, após imputação de 5 estudos, os grupos foram similares (RR: 1.07, IC 95% 0.97 − 1.19). As taxas de complicações maiores (N=14 estudos) foram superiores em idosos >75/80 anos (RR: 1.30, IC 95% 1.10-1.54, I2=0, p=0.002). Nos estudos de crioablação, as taxas de complicações maiores foram similares: RR: 1.10, IC 95% 0.94 − 1.29, p=0.24, I2=0.0. Agrupando braços individuais dos estudos (N=27 estudos), a recorrência da FA em idosos >75/80 anos foi de 34.0% (IC 95% 28.1 − 40.5), I2=91.5 vs. 32.5% (IC 5% 26.8 − 32.7), I2=96.7 (p=0.73). As taxas de complicações maiores foram similares: RR: 0.00 (IC 95% 3.5 − 4.2), I2=91.5 vs. 32.5% (IC 95% 2.7 − 2.9), I2=75.5 em ≤75/80 anos (p=0.08). Conclusão: A ablação de FA é viável em p

### 2017

### UTILIZAÇÃO DO ELETROGRAMA INTRACAVITÁRIO NA ESTIMULAÇÃO DO RAMO ESQUERDO

RENATO DAVID DA SILVA; TAMER NAJAR SEIXAS; JAIRO MACEDO DA ROCHA; CARLA SEPTIMIO MARGALHO; RUITER CARLOS ARANTES FILHO; RICARDO FERREIRA COELHO DE MIRANDA; PEDRO FELIPE PRATES SILVA; HENRIQUE CESAR DE ALMEIDA MAIA; GABRIEL JOSÉ SILVA JÚNIOR; PAULA DAMASCO DO VALE

RITMOCARDIO, BRASÍLIA - DF - BRASIL.

Introdução: A estimulação do ramo esquerdo (FRF) é alternativa viável e segura à estimulação convencional e à estimulação biventricular. Para sua execução é necessário o mapeamento do sistema de condução e determinação do potencial do feixe de His, referência para o posicionamento e fixação do eletrodo no septo interventricular. Contudo, não raramente, nos deparamos com pacientes portadores de bradiarritmias graves, sem ritmo intrínseco e, portanto, sem a possibilidade de mapeamento do sistema de condução. Este estudo analisa o uso do eletrograma intracavitário para o adequado posicionamento do eletrodo ventricular na estimulação do ramo esquerdo. **Método:** Estudo observacional, prospectivo, em pacientes submetidos a implante de dispositivos cardíacos eletrônicos devido bradiarritmias instáveis, sob estimulação ventricular provisória (marcapasso provisório transvenoso), sem ritmo próprio. Foram utilizados os polígrafos Ep-Tracer® ou Cardian® para d mapeamento do eletrograma intracavitário. Com o eletrodo ventricular (Select Secure® - Medtronic ou Solia® S60 – Biotronik) foi feito mapeamento intracavitário e obtenção dos eletrogramas atrial e ventricular. Após determinação destes eletrogramas, o conjunto foi direcionado à ponta do VD até a não mais detecção do eletrograma atrial, mantendo-se apenas o eletrograma ventricular, com fixação do eletrodo nesta região, penetração no septo interventricular e tentativa de ERE. Os critérios para confirmação da ERE foram: 1- tempo de ativação do ventrículo E < 75ms; ou 2- mudança do padrão de estimulação durante teste do limiar; ou 3- RWV6-RWV1 > 44ms. Resultados Vinte e oito pacientes foram submetidos ao mapeamento e tentativa de ERE no período de fevereiro de 2022 a setembro de 2023 (Idade média: 78,45 ± 9,82 anos), 19 / 28 mulheres, e fração de ejecão média 48,26 ± 13,8%. Um ou mais critérios para ERE foram obtidos em 26 pacientes (92,8%); limiar intra-operatório 0,76 ± 0,28V x 0,48 ± 0,9ms, duração QRS estimulado 114,12 ± 8,41ms. Não houve complicações. Conclusão A utilização do eletrograma intracavitário pode ser ferramenta útil e objetiva para posicionamento do eletrodo ventricular na tentativa de ERE em pacientes sem possibilidade do mapeamento do sistema de condução.



### 2020

#### EXPERIÊNCIA INICIAL COM MARCAPASSO LEADLESS: UMA SÉRIE DE CASOS

JESSICA DE ARAUJO DA FONSECA FERNANDES'; EDUARDO BENCHIMOL SAAD<sup>2</sup>; CARLOS EDUARDO DUARTE<sup>3</sup>; CHARLES SLATER<sup>4</sup>; LUIZ ANTONIO OLIVEIRA INACIO JUNIOR'; LUCAS CARVALHO DIAS<sup>4</sup>; GUSTAVO VIGNOLI DOS SANTOS<sup>4</sup>; LUIZ EDUARDO MONTENEGRO CAMANHO5. <sup>1</sup>. HOSPITAL PRÓ CARDIACO, RIO DE JANEIRO - RJ - BRASIL; <sup>2</sup>.

1. COORDENADOR DO SERVIÇO DE ARRITMIAS E ESTIMULAÇÃO CARDÍACA - HOSPITAL HOSPITAL SAMARITANO BOTAFOGO (R.J) 2. ELETROFISIOLGISTA DO SERVIÇO DE ARRITMIAS E HARVARD THORNDIKE ELECTROPHYSIOLOGY INSTITUTE, RIO DE JANEIRO - R.J - BRASIL; 3. CENTRO AVANÇADO DE RITMOLOGIA E ELETROFISIOLOGIA DE SP. SÃO PAULO - SP - BRASIL; 4. HOSPITAL PRÓ CARDÍACO, RIO DE JANEIRO - R.J - BRASIL; 5. COORDENADOR DO SERVIÇO DE ARRITMIAS E ESTIMULAÇÃO CARDÍACA - HOSPITAL PRO CARDIACO, RIO DE JANEIRO - R.J - BRASIL.

Introdução: O Marcapasso cardíaco transvenoso é uma terapia bem estabelecida para as bradiarritmias em geral. No entanto algumas complicações relacionadas a presença do eletrodo intravascular são descritas: disfunção do eletrodo, obstrução vascular, e necessidade de possível explante. Este relato descreve a experencia inicial de um serviço de Eletrofisiologia e Estimulação Cardíaca com implante de marcapasso Leadless, através de uma série de casos. **Relato de Caso:** No período de outubro/2022 a setembro/2023 foram realizados 6 implantes de marcapasso Leadless. A idade média foi de 78,5 anos e 66,6% eram do sexo masculino. A indicação do dispositivo foi: infecção/ endocardite em 4/6 pt e ausência vascular em 2/6 pt. As medidas intracavitárias perioperatórias obtidas foram: limiar de captura (0.13 – 0.62 V), onda R (2,7-12,7 mV), impedância (570-1060 ohms). O implante foi bem-sucedido em todos os casos. Acesso femoral a direita foi utilizado em 4/6 pacientes. Houve necessidade de reposicionamento do dispositivo em 1 caso no intraoperatório. Não foram observadas complicações tais como: tamponamento cardíaco, desposicionamento do dispositivo, ou complicações vasculares. No seguimento médio de 6,5 meses (1 a 12 meses) os limiares de sensibilidade e estimulação, e os valores da impedância se mantiveram inalterados e adequados. Um paciente evoluiu com óbito por causa não cardíaca (sepse pulmonar). Conclusão: Nesta série de casos, a experiência inicial demonstrou tratar-se de uma intervenção segura e eficaz, não sendo observado nenhuma complicação diretamente relacionada ao procedimento.

### 2037

TERAPIA DE RESSINCRONIZAÇÃO CARDÍACA NA CARDIOPATIA
CONGÊNITA: BLOQUEIO ATRIOVENTRICULAR TOTAL OU PÓS OPERATÓRIO

EDUARDA SILVA RODRIGUES<sup>1</sup>; CINTHYA IBRAHIM GUIRAO<sup>1</sup>; LUISA CARVALHO BENEDITO<sup>1</sup>; CAIO VITALE SPAGGIARI<sup>1</sup>; SILVANA ANGELINA D'ORIO<sup>1</sup>; ANÍSIO ALEXANDRE ANDRADE PEDROSA<sup>1</sup>; SERGIO AUGUSTO MEZZALIRA MARTINS<sup>1</sup>; SERGIO FREITAS DE SIQUEIRA<sup>2</sup>; MARCELA FIEL RODRIGUES<sup>1</sup>; MARCOS GUILHERME MARTINELLI SACCAB<sup>1</sup>; MARTINO MARTINELLI FILHO<sup>1</sup>.

1. INCOR, SÃO PAULO - SP - BRASIL; 2. INCOR, SÃO PAULOS - SP - BRASIL.

Introdução: A indicação de terapia de ressincronização cardíaca (TRC) na população pediátrica inclui os critérios clássicos como disfunção ventricular esquerda, sintomas e bloqueio de ramo esquerdo, e outros critérios não utilizados na população geral, como bloqueio de ramo direito (BRD) em ventrículo direito sistêmico, expectativa de remodelamento ventricular diração de ejeção (FE) e oportunidade cirúrgica em cirurgias abertas. Objetivo: comparar a efetividade da indicação da TRC clássica com a não clássica na cardiopatia congênita (CC) matriculados na Unidade Clínica de Estimulação Cardíaca do InCor -HC-FMUSP (UCEC). Métodos: estudo retrospectivo, observacional, unicêntrico que comparou pacientes, com indicação clássica e não clássica para TRC. Foram coletados os seguintes dados: doença cardíaca de base, indicação de implante da TRC, sintomas de insuficiência cardíaca (IC), duração do QRS, função cardíaca. Analisado os grupos pelo Teste T e pelo Chi². A análisa multivariada utilizou a regressão logística, com p<0,25 na análise univariada. Resultados: Dos 21 pacientes do UCEC incluídos, 16 pacientes apresentavam indicação clássica, o diagnóstico de bloqueio atrioventricular total congênito (BAVTc) representavam 11 (68,7%) pacientes, neste grupo a disfunção ventricular era importante. Já no grupo com indicação não clássica 4 (60%) pacientes o diagnóstico era de BAVT pós operatório, e nesse grupo a função ventricular estava preservada. (tabela 1). Com essa amostra heterogênea de pacientes foi analisado os seguintes desfechos: A taxa de resposta a terapia de TRC foi melhor no grupo da indicação clássica em 12 (75%) pacientes, analisado pela melhora da FE com aumento médio da FE em 5%, apesar de estreitamento significativo da duração do QRS. (Tabela 2). Conneusaco: A TRC não clássica apresenta efetividade inferior à clássica. Sendo assim, a TRC é uma terapia promissora para os pacientes com cardiopatia congênita e BAVTc com benefícios hemodinâmicos, elétricos e mecânicos no coração.

frem	Owner		Min		
Name of participa	846		**		
Serv Western		-			131
Made retile atom correct	218		-		131
BW's	71	66.7		-	6.04
345" pie gerelitie	1	31.3	-		
(C-culran		34.3	-	-	-0.40
State of the	H	873			417
	N.		*		110
Offices Williams	10		163		8.47

Tabela 2. Taxa de resposta à tempia de ressinorentasção cardiaca nos grupos						
Onge	Cidence (81-10)		I Niko-diesica (Ni-S)	-	P	
Respondedor (10)	12	75	1	20	0,01	
Otato (ris	. 2	10,2				
FE mids pos TRC (%)	6		96		4,19	
Mudança média da FE (%)	15		4		6,54	
Media do GRS pos TRC ano	123		140		426	

### 2060

CONDUCTION SYSTEM PACING VS. BIVENTRICULAR PACING IN PATIENTS WITH HFREF AND LBBB: A SYSTEMATIC REVIEW AND META-ANALYSIS OF RANDOMIZED TRIALS

CAIQUE MARTINS PEREIRA DE MOURA TERNES'; CARISI A POLANCZYK'; ANDRE ZIMERMAN'; ALEXANDER DAL FORNO<sup>2</sup>; LEANDRO IOSCHPE ZIMERMAN'; FERNANDA DONNER ALVES'; LILIANE APPRATTO SOUZA'; JULIANA SOUZA SANTOS'; SERGIO DECKER'; LUIS EDUARDO ROHDE'; ANDRE LUIZ BUCHELE D'AVILA<sup>2</sup>.

1. HOSPITAL MOINHOS DE VENTO, PORTO ALEGRE - RS - BRASIL; 2. HOSPITAL SOS CARDIO, FLORIANÓPOLIS - SC - BRASIL.

Background: Conduction system pacing (CSP) has emerged as a promising treatment for patients with HFrEF and LBBB, but adequately powered head-to-head randomized comparisons of CSP vs. biventricular pacing (BVP) are lacking. Methods: We conducted a systematic review and meta-analysis of randomized controlled trials (RCTs) that included HF patients who underwent CRT with BVP or CSP. Inclusion criteria comprised LVEF ≤ 40% and minimal QRS complex duration ranged from ≥120ms to ≥150ms. We searched PubMed, Embase, and ClinicalTrials.gov databases. A random-effects model was used for pooled data analysis. Results: We included 5 RCTs with 300 patients randomized on a 1:1 ratio. Mean follow-up ranged from 6 to 12.2 months. Left ventricular ejection fraction was significantly improved with CSP vs. BVP (mean difference [MD] 3.6%; 95% Cl 1.53, 5.74; p<0.01, Fig 1). Also, the final QRS complex duration was significantly shorter in the CSP group (MD -4.03 ms; 95% Cl -7.95, -0.11; p=0.04; Fig 2). Conclusions: Pooled data from several small RCTs demonstrate promising results of CSP vs. BVP in patients with HFrEF and LBBB. The ongoing PhysioSync-HF trial (NCT05572736) has successfully randomized 137 patients as of September 2023 and will provide the largest randomized evidence to inform clinical practice for patients with HFrEF and LBBB.

### 2091

BRADIARRITMIA SINTOMÁTICA E DISTÚRBIOS RESPIRATÓRIOS DO SONO (DRS): PREVALÊNCIA E IMPORTÂNCIA DE INSTRUMENTOS DE RASTREIO

SERGIO AUGUSTO MEZZALIRA MARTINS; SERGIO FREITAS DE SIQUEIRA; CAIO VITALE SPAGGIARI; SILVANA ANGELINA D'ORIO; ANISO ALEXANDRE ANDRADE PEDROSA; CINTHYA IBRAHIM GUIRAO; MARCOS GUILHERME MARTINELLI SACCAB; THIAGO OVANESSIAN HUEB; LUCIANO FERREIRA DRAGER; GERALDO LORENZI FILHO; MARTINO MARTINELLI FILHO.

INCOR, SÃO PAULO - SP - BRASIL.

Introdução: Distúrbios respiratórios do sono (DRS) têm prevalência de 2 a 15% na população geral. Não existem dados a esse respeito em pacientes com bradiarritmias sintomáticas; a importância dos questionários de triagem da DRS também é desconhecida. **Objetivos:** avaliar a prevalência de DRS em bradiarritmias sintomáticas e identificar instrumentos associados ao diagnostica DRS. Avaliar a melhor associação entre os diversos questionários de triagem de DRS em pacientes com bradicardia e indicação de MP com poligrafia do sono positiva para DRS. **Metodologia:** Sub-estudo do Projeto SONAR, observacional e transversal que avaliou pacientes consecutivos com bradiarritmia sintomática. Todos pacientes foram submetidos a: 1- avaliação clínica e antroprométrica, 2- poligrafia do sono (BIOLOGIX-Inc.) e, 3- questionários de rastreio de DRS Epworth, StopBang, NoSAS score, Berlin e Pittsburg. O critério de positividade de DRS foi documentação por poligrafiao de, no mínimo, 15 eventos/h de redução da saturação O2 superior a 4%. A análise estatística constou de teste T Student para variáveis paramétricas, Qui quadrado para variáveis não paramétricas e avaliação de sensibilidade e especificadade. Os testes estatísticos foram bicaudais e o valor de P<0,05 foi considerado significativo. **Resultados:** Foram incluídos 115 pacientes, 61 do sexo feminino e com idade média de 69,6 ±10,8anos. A fração de ejeção do VE média foi de 61%, o IMC foi 27,2±5,0, a circunferência do pescoço foi 38,9 ±11,0cm, a circunferência abdominal foi 94,9±23,2cm. As bradiarritmias foram Doença do Nó Sinusal 13 (11,30%) e Bloqueio Atrioventricular 102(89,70%). A DRS foi positiva em 41(35,7%) dos pacientes. Apenas achados do NoSa score e StopBang se associaram à ocorrência da DRS (p=0,019 e p=0,006, respectivamente). A sensibilidade e a especificidade para o do NoSa score e StopBang e foram: 61% e 100% e 66% e 51%, respectivamente. Conclusoes: pacientes com bardiarritmia sintomática assistidos em hospital terciário apresentam o dobro da prevalência de DRS, em relação à população geral. Questionários NoSAS score e StopBang são os mais apropriados para rastreio da DRS.



#### 2097

#### ACOMPANHAMENTO CLÍNICO E REMISSÃO ESPONTÂNEA DAS EXTRASSISTOLES VENTRICULARES FREQUENTES EM PACIENTES JOVENS. É POSSÍVEL NÃO TRATAR?

ROGÉRIO BRAGA ANDALAFT'; MARINA DRUMMOND MARQUES LEITÃO°; GABRIELA HINKELMANN BERBERT'; BRUNO PEREIRA VALDIGEM'; CLÁUDIA DA SILVA FRAGATA°; CARLA DE ALMEIDA°.

1. CENTRAL BRASILEIRA DE APRIMORAMENTO MÉDICO/ HOSPITAL ISRAELITA ALBERT EINSTEIN, SÃO PAULO - SP - BRASIL; 2. CENTRAL BRASILEIRA DE APRIMORAMENTO MÉDICO, SÃO PAULO - SP - BRASIL.

Introdução: A remissão espontânea de extrassístoles ventriculares (EV) pode ocorrer em pacientes (Pac) jovens. Em alguns casos, as EV podem ocorrer sem qualquer doença cardíaca sendo chamados de benignas ou idiopáticas. Muitos Pac experimentam remissão espontânea sem qualquer intervenção médica. A frequência e a gravidade das EV podem diminuir com o tempo e, em alguns casos, podem até desaparecer completamente. OBJETIVO: Analisar o padrão clínico e a remissão espontânea em Pac jovens (com idade entre 0 meses e 20 anos) submetidos a acompanhamento eletrofisiológico pediátrico por EV frequentes. Métodos: Avaliamos 47 Pac acompanhados entre 2005 e 2023 em seguimento horizontal. Dados como idade sexo, tempo de seguimento, ecocardiografia, resposta ao teste ergométrico e Holter foram coletados e descritos. Traçamos o perfil para determinar a prevalência de remissão espontânea da arritmia e os possíveis fatores associados. Resultados: Analisamos 47 Pac (29 meninos e 18 meninas com idade média de 5.7 anos - idade entre 0 e 20 anos com EV frequentes. O tempo médio de acompanhamento foi de 36 meses, com mediana de 24 meses. Nenhum apresentava sintomas ou cardiopatia estrutural com repercussão hemodinâmica. Ao ECG a origem no Ventrículo Direito ocorreu em 82% dos casos. O número médio de EV no primeiro Holter foi 17.396. A mediana de EV foi 13.290. Após o período perinatal ou durante a adolescência os pacientes tiveram redução significativa da densidade de EV. A remissão espontânea ocorreu em 70,2% (33 casos). Todos os Pac que tiveram remissão espontânea apresentaram redução das EV duránte o pico do esforço ou durante estresse no Holter (Pac chorando por exemplo). Conclusão:1) Se as EV causarem sintomas significativos ou estiverem associados a uma doença cardíaca subjacente ablação ou medicamentos devem ser considerados. 2) A remissão espontânea das EV pode ocorrer em indivíduos jovens. 3) Procedimentos como ablação por cateter para podem ser postergados até a puberdade em Pac assintomáticos; 4) Existe uma elevada taxa de remissão espontânea durante os dois primeiros anos de vida e durante a adolescência; 5) É importante consultar um eletrofisiologista para determina adequadamente o curso de ação mais adequado

### 2101

#### CONTROLE DE ANTICOAGULAÇÃO DE USUÁRIOS DE VARFARINA VIA SMARTPHONE

MARTINO MARTINELLI FILHO¹; SERGIO FREITAS DE SIQUEIRA¹; CAIO VITALE SPAGGIARI¹; TAINÀ M VASCONCELOS¹; ANDERSON DE MELO MOTA ATAIDE²; BRUNO PEREIRA DE MORAES²; TAMER EL ANDERE²; ADRIANO CESAR VENTURA³; WERBERT CARLOS SANTOS³; RAPHAEL DOS SANTOS COUTINHO E SILVA¹; ROBERTO COSTA¹.

1. INCOR - HCFMUSP, SÃO PAULO - SP - BRASIL; 2. COAGMED, SÃO PAULO - SP - BRASIL: 3. COAGMED. SOROCABA - SP - BRASIL.

Introdução: O uso de varfarina ainda é elevado no Brasil e seu controle demanda elevada mobilização de recursos humanos além de longo tempo de permanência dos pacientes em unidades de saúde. Nesse sentido, é imperioso criar ferramentas para agilizar esse processo. **Objetivo:** Avaliar o papel de sistema semi-automatizado de controle de anticoagulação oral por varfarina (ACOv) com Smartphone comparando com controle tradicional. **Métodos:** Estudo intervencional de não inferioridade para controle ACOv. Foi desenvolvido aplicativo de Smartphone (COAGMED) utilizando robô incorporado ao WhatsApp para interação automatizada com pacientes. O desenvolvimento e ajustes para melhorar os aspectos cognitivos e exatidão dos algoritmos de decisão foram extensos. Foram incluídos os pacientes sob controle ACOv da Unidade Clínica de Estimulação Cardíaca do InCor HCFMUSP, assim distribuídos: Grupo I - tradicional e Grupo II - COAGMED. A base para controle da ACOv foi valor da relação normatizada internacional (INR) entre 1,8 e 3,2; e considerados a dose de varfarina, ocorrência de eventos adversos, fatores alimentares, comorbidades e uso de outros medicamentos. No **Grupo I**, as decisões foram tomadas por médico assistente e, no **Grupo II**, pelo robô nas situações de normalidade ou baixo risco e por médico em situações de maior risco. Para avaliar a efetividade do controle de ACOv foi utilizado o cálculo do % tempo de INR na faixa terapêutica (TTR) e a taxa de pacientes na faixa terapêutica na ultima avaliação. Os testes estatísticos foram o t de Student para amostras independentes e o Qui quadrado para variáveis dicotômicas. **Resultados:** Entre jan/jun 2023 foram avaliados 585 pacientes com Fibrilação Atrial e Dispositivo Cardíaco Eletrônico Implantável (DCEI) a idade média foi 67±16anos sendo 54% do sexo feminino; 519 pacientes no **Grupo I** e 66 do **Grupo II**. No **Grupo I**, a mediana do TTR foi 100%(IQ 47-100) e no **Grupo II 95**%(IQ 37-100); p=0,61. A taxa de pacientes com INR na faixa terapêutica na última avaliação foi 81,1% no **Grupo I** e 74,2% no **Grupo II**; p=0,23. **Conclusão**: A efetividade do controle de ACOv com aplicativo COAGMED não foi inferior ao controle tradicional para pacientes em seguimento em unidade clínica de DCEI de hospital terciário.

### 1951

### SÍNCOPES POR ASSISTOLIA RECORRENTE NA FASE DE RECUPERAÇÃO DE TESTE ERGOMÉTRICO

LUCIANA FERNANDES BALESTRA<sup>1</sup>; GIULLIANO GARDENGHI<sup>2</sup>; ISRAEL GUILHARDE MAYNARDE<sup>3</sup>.

1. HOSPITAL DO CORAÇÃO ANIS RASSI, GOIÂNIA - GO - BRASIL; 2. HOSPITAL ENCORE, APARECIDA DE GOIÂNIA - GO - BRASIL; 3. HOSPITAL DO CORAÇÃO DE GOIÁS, GOIÂNIA - GO - BRASIL.

Introdução: Durante esforços pode ocorrer, em indivíduos susceptíveis, vasodilatação exacerbada nos músculos e uma inadeguada vasoconstrição reflexa visceral, o que pode resultar em síncope neuromediada. Além do componente periférico, a hiperventilação provocada pelo exercício físico pode resultar, na fase de recuperação, em diminuição do fluxo sanguíneo cerebral pela eventual alcalose ventilatória, com consequente aumento da resistência cerebrovascular. O sequestro de sangue para os músculos em atividade, associado à diminuição do retorno venoso que acontece na fase de recuperação do teste de esforço, podem levar o coração a ter uma diminuição da pré carga, o que pode, pelo reflexo de Bezold-Jarisch, desencadear bradicardia e assistolia. **Relato de caso**: Jovem de 20 anos, masculino, foi encaminhado para realização de teste ergométrico para ajuste de treinamento físico, em acompanhamento com cardiologista há 11 anos por episódios de sincope, principalmente relacionados a punção venosa. Teste de inclinação ortostática sensibilizado prévio com assistolia de 6 segundos. Apresentou cerca de dois episódios de sincope por ano após esforço físico e punção venosa. O teste ergométrico foi realizado utilizando o protocolo de Ellestad sendo atingida a frequência cardíaca máxima de 199 bpm, assintomático durante a fase de esforço. A pressão arterial inicial estava em 120/080mmHg e atingiu 190/85mmHg no pico do esforço (variação PAS 4,6mmHg/MET). Não foram observadas arritmias durante o exame. A partir do primeiro minuto de recuperação iniciou mal-estar seguido de síncope. O eletrocardiograma evidenciou pausa sinusa de cerca de 30 segundos, seguida de ritmo juncional ativo e novo episódio de pausa sinusal de cerca de 8 segundos, aos 9 minutos da recuperação, quando da tentativa de ortostase. Manteve-se em posição supina até recuperação completa e ritmo sinusal. Conclusão: A síncope neuromediada pode ocorrer na fase de recuperação do teste de esforço, com pausas sinusais recorrentes, que resultam em baixa perfusão cerebral O cardiologista deve estar preparado para lidar com tal situação, como no caso ora relatado. Embora pouco comum na prática clínica é importante ressaltar que tal situação clínica tem bom prognóstico.

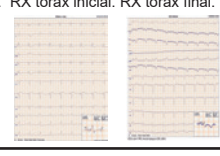
### 1955

INCREMENTO DE SUPERRESPOSTA A TERAPIA DE RESSINCRONIZAÇÃO COM ESTIMULAÇÃO DE RAMO ESQUERDO EM SUPERRESPONDEDOR PRÉVIO COM INFECÇÃO DE SISTEMA

RAONI DE CASTRO GALVÃO; JOAO PAULO VELASCO PUCCI; OFIR GOMES VIEIRA; EDVAGNER SERGIO LEITE DE CARVALHO; FERNANDO ARTUR DOS SANTOS

CENTRO DE RITMOLOGIA DE BRASILIA, BRASÍLIA - DF - BRASIL.

A ressincronização cardíaca (TRC) é consagrada há mais de 20 anos. Já a estimulação do sistema de condução (ESC) surge como alterativa a TRC tradicional, com trials indicando respostas similares e até superiorse em favor da ESC. Relatamos o caso de um pcte portador de TRC-p tradicional já superrespondedor, em que houve incremento de resposta clínica e anatômica após infecção de sistema e troca para TRC-p com estimulação de ramo esquerdo. Caso clínico: homem, 53 a, implantado TRC-P com estimulação de ramo esquerdo. Caso clínico: homem, 53 a, implantado TRC-P em 04/2020 após BAVT, mcp dilatada e FEVE de 26%. RM coração prévia sem sinais de fibrose miocárdica. Ecg com QRS de escape 160ms morfologia de BRE, após TRC-P de 140ms. Permaneceu em CF-1 no seguimento pós-op. ECO TT 04/2023 com FEVE 50%, dimensões VE 45/33mm; vol diastolico VE 129ml e sistolico final 64ml. Hipocinesia difusa discreta e todas as paredes de VE. Em abril/2023 o paciente apresentou infecção de sistema de TRC-p. Internado, foi tratado com ATB-por 42 dias e feito extração de sistema. Após tto da infecção, implantado novo TRC-P com estimulação de ramo esquerdo por inserção em septo IV profundo. QRS final após procedimento de 115ms e eixo qrs 0°. Tempo ativação VE de 75ms. O pcte permaneceu em CF-1 referindo até mais disposição para exercícios após implante do novo sistema. ECO TT no PO1m com FEVE de 61%, e redução de volumes sistólico e diastolico final de VE. ECG com TRC inicial (esq) e ESC (dir). Discussão: A ESC ganha protagonismo na Ritmologia por ter execução mais simples e maior reprodutibilidade do que a TRC tradicional, sujeita a inúmeras adversidades. Estudos recentes já apontam a ESC com resultados similares e até superiores a TRC tradicional. Diretrizes nacionais e internacionais já a indicam como alternativa e até como opção de escolha me determinadas situações. A presentamos um caso peculiar em que pudemos comparar ambas modalidades de TRC em um mesmo pcte. No entanto, após o implante de novo TRC-P com estimulação de ramo esquerdo, o







### 2047

CARACTERÍSTICAS DAS ARRITMIAS E RESULTADOS DAS ABLAÇÕES REALIZADAS EM PACIENTES PEDIÁTRICOS EM HOSPITAL TERCIÁRIO DO RIO GRANDE DO SUL

MARCO ANTONIO VINCIPROVA DALL AGNESE'; TIAGO LUIZ LUZ LEIRIA'; MARCELO LAPA KRUSE'; STEPHANIE SCHÄFER'; SÉRGIO FERREIRA DE FERREIRA FILHO': ALEXANDRE PERIN DECOL'; GUSTAVO GLOTZ DE LIMA'.

1. INSTITUTO DE CARDIOLOGIA DO RIO GRANDE DO SUL, PORTO ALEGRE - RS - BRASIL; 2. UNIVERSIDADE FEDERAL DE CIÊNCIAS DA SAÚDE DE PORTO ALEGRE PORTO ALEGRE - RS - BRASIL.

As arritmias cardíacas na população pediátrica podem ocorrer tanto em pacientes com coração estruturalmente normal quanto em pacientes com cardiopatia congênita. Em ambos os grupos, as taquicardias supraventriculares são a causa mais frequente de arritmia. Historicamente, tinha-se como hábito postergar o tratamento intervencionista desses pacientes, com vistas a evitar possíveis complicações. Apesar disso, a ablação por radiofrequência tem sido cada vez mais utilizada como terapia curativa de arritmias em pacientes pediátricos, com grandes taxas de sucesso e baixo índice de complicações. Descrever as características e resultados de todos os estudos eletrofisiológicos realizados em pacientes com até 18 anos em hospital terciário do Rio Grande do Sul. Estudo descritivo de análise retrospectiva de laudos de 784 estudos eletrofisiológicos realizados em pacientes com até 18 anos no período entre 1997 e 2023. Foram descritas a idade e o sexo dos pacientes, a presença de cardiopatia congênita associada ou não, o motivo do exame, a realização de ablação, o sucesso da mesma e a ocorrência de complicações quando presentes. Dos 784 estudos realizados, 450 (57%) foram em pacientes do sexo masculino e a média de idade dos pacientes foi de 13,7 anos. Houve presença de cardiopatia congênita em 62 pacientes (7,9%), sendo a Tetralogia de Fallot e a Anomalia de Ebstein as mais prevalentes. Foi realizada ablação por radiofrequência em 561 pacientes (71%), com uma taxa de sucesso de 80%. Dentre os motivos da ablação, o mais incidente foi a evidência de via acessória atrioventricular, presente em 382 pacientes (68%), seguida de taquicardia por reentrada nodal atrioventricular em 91 pacientes (16%) e de extrassistolia ventricular em 19 pacientes (3,3%). Complicações foram descritas em 3 (0,38%) dos pacientes submetidos a ablação, sendo dois casos de bloqueio atrioventricular total e um de instabilidade hemodinâmica. Conclui-se que as ablações em pacientes pediátricos apresentam taxas de insucesso superiores comparadas às dos adultos conforme literatura atual relatada. São necessários maiores estudos sobre a relação entre cardiopatias congênitas e as dificuldades para ablação de arritmias nesses

### 2052

UTILIDADE DA TÉCNICA "OPEN WINDOW MAPPING" PARA ABLAÇÃO DE

CRISTIANO DE OLIVEIRA DIETRICH<sup>1</sup>; LUCIANA VIDAL ARMAGANIJAN<sup>2</sup>; RAFAEL THIESEN MAGLIARI<sup>3</sup>: INGRID MEALLA SAUCEDO<sup>3</sup>: TAMER EL ANDERE<sup>3</sup>

1. CAEC E HOSPITAL SANCTA MAGGIORE, SÃO PAULO - SP - BRASIL; 2. HOSPITAL SANCTA MAGGIORE, SÃO PAULO - SP - BRASIL; 3. CAEC, SÃO PAULO - SP - BRASIL;

A pré-excitação ventricular associa-se a episódios de taquiarrtimia supraventricular e, raramente, morte súbita. A ablação por cateter é uma estratégia efetiva com baixa taxa de recorrência e complicações. O mapeamento eletroanatomico associa a informação tridimensional da anatomia à precisa localização do substrato arritmico. **Objetivo:** Avaliar a utilizada da técnica Open Window (OW) no mapeamento e ablação per cateter de feixe acessório. Métodos: Incluídos 13 pacientes com indicação de ablação por cateter de feixe acessório manifesto ou por taquicardia supraventricular. Consentimento informado foi obtido para todos pacientes. Mapeamento eletroanatomico foi realizado com Carto-3 (n=7) e EnSite-Precision (n=6). Janela de interesse do sistema incluiu a ativação atrial e ventricular com o complexo QRS como referencia. Paciente com pré-excitação ventricular foram mapeados durante ritmo sinusal (n=10) ou taquicardia antidrômica (n=1) e, naqueles com feixe acessório oculto, o mapeamento foi realizado durante a taquicardia supraventricular (n=2). Ablação por cateter foi realizada com SPSS 20.0. **Resultados:** A tabela I demonstra os resultados. Idade média foi 35,2 ± 18 anos. Nove pacientes foram submetidos ao procedimento por recorrência após ablação pelo método convencional. Tempo de procedimento foi 72 ± 17 min. Em todos pacientes, o feixe acessório foi localizado pelo mapa de ativação pela técnica OW: parede livre do anel tricúspide (n=5), septal direita (n=3), parede livre do anel mitral (n=4) e pejadádico (n=1). A eliminação do feixe acessório pela ablação pela ablação foi alcançada em todos pacientes, sendo em 11 na primeira aplicação de radiofrequência (<2s). Durante o seguimento clínico de 13 ± 7 meses, apenas 1 paciente apresentou recorrência da pré-excitação ventricular. Nenhuma complicação relacionada com o procedimento contribuir para ablação por cateter.



### 2054

TRATAMENTO HÍBRIDO DA FIBRILAÇÃO ATRIAL E PREVENÇÃO DO AVC ISQUÊMICO ATRAVÉS DA CRIOABLAÇÃO ASSOCIADA À OCLUSÃO DO APÊNDICE ATRIAL ESQUERDO

EDVALDO FERREIRA XAVIER JUNIOR¹; SARA CAROLLINE GOMES DE ARAUJO LIMA²; ALFREDO AURÉLIO MARINHO ROSA FILHO¹; ALEXANDRE PEGO XAVIER²; GUSTAVO SANTIAGO¹; MARCELO RUSSO¹; LENINE ANGELO¹; LETICIA TORRES²; LUCAS BRANDÃO CAVALCANTE²; DARIO DE MOURA¹; MARCONE BRANDÃO¹.

1. SANTA CASA DE MISERICÓRDIA DE MACEIÓ, MACEIÓ - AL - BRASIL; 2. UNIVERSIDADE DE MACEIÓ, MACEIÓ - AL - BRASIL.

Introdução: A fibrilação atrial (FA) é a arritmia mais prevalente na prática médica e sua principal consequência é o aumento, em 5 vezes, do risco de acidente vascular cerebral isquêmico (AVCI). A crioablação das veias pulmonares (VP) concomitante à oclusão percutânea do apêndice atrial esquerdo (OAAE) é uma alternativa para o tratamento desta patologia. Objetivo: Apresentar a técnica de tratamento hibrido da FA e prevenção do AVCI trombogênico, através da crioablação associada à OAAE. Metodologia: Entre outubro de 2019 a setembro de 2023 foram realizadas 130 crioablações das VP, através do isolamento elétrico por congelamento, com nitrogênio, e 29 casos de OAAE. Neste grupo, em 05 pacientes (PT) foi realizada técnica hibrida, destes, 04 homens e 01 mulher. A idade variou de 48 a 70, com média de 61,5 anos. O critério de inclusão para tratamento hibrido foi PT com história de AVCI, mesmo em uso de anticoagulantes ou presença de complicações hemorrágicas pelo uso do medicamento. Resultados: Em 05 PT (100%) foram submetidos ao isolamento das VP, sempre após a OAAE. Destes, 80% (04) são homens e/ou sexagenários. Foi utilizado o sistema de Sentinel em 02 PT (40%), implantado na carótida para a prevenção de uma possível complicação embólica cerebral e retirado logo após o procedimento. Não houve nenhum prejuízo anatômico, como paralisia no nervo frênico e lesão esofágica, ou complicação embólica. Além disso, as próteses, pós-implantes, não evidenciaram shunt no apêndice e o ritmo pós-procedimento foi restaurado para sinusal em 100% dos PT (05). Conclusão: Neste grupo analisado, foi demonstrado que é possível realizar o tratamento hibrido com segurança e resultados satisfatórios para o tratamento da FA e prevenção do AVCI trombogênico.

### 2061

CORRELAÇÃO ENTRE LESION SIZE INDEX E VALORES DE TROPONINA I ULTRASSENSÍVEL DURANTE ABLAÇÃO DE FIBRILAÇÃO ATRIAL

SÉRGIO FERREIRA DE FERREIRA FILHO¹; MARCO AURELIO LUMERTZ SAFFI²; GUSTAVO GLOTZ DE LIMA¹; MARCELO LAPA KRUSE¹; TIAGO LUIZ SILVESTRIN¹; MARCO ANTONIO VINCIPROVA DALL AGNESE¹; TIAGO LUIZ LUZ LEIRIA¹. ¹. INSTITUTO DE CARDIOLOGIA DO RIO GRANDE DO SUL, PORTO ALEGRE - RS - BRASIL;

2. PROGRAMA DE PÓS GRADUAÇÃO EM CARDIOLOGIA E CIÊNCIAS CARDIOVASCULARES, DA UNIVERSIDADE FEDERAL DO RIO GRANDE DO SUL (UFRGS), PORTO ALEGRE - RS - BRASIL.

Fibrilação atrial (FA) é uma arritmia cardíaca comum, que pode levar a diversas complicações, incluindo acidente vascular encefálico e insuficiência cardíaca. Ablação por catéter é um tratamento padrão para FA, e o lesion size index (LSI) é um parâmetro comumente utilizado para avaliar a eficácia do procedimento de ablação No entanto, a relação entre LSI e os biomarcadores cardíacos, como troponina, ainda não foi totalmente explorada. Investigar a relação entre LSI e valores de troponina após procedimento de ablação de FA. Estudo prospectivo com pacientes submetidos à ablação de FA por catéter. Mediu-se o nível de troponina em 6 e 24h após o procedimento e o LSI foi calculado baseado nas lesões de ablação criadas durante o procedimento usando o sistema Navx Ensite. Pacientes com cardioversão elétrica (CVE) durante o procedimento foram excluídos da análise. A correlação entre LSI e troponina foi analisada usando o coeficiente de correlação de Pearson. Características dos pacientes, incluindo tipo de FA, gênero, tempo de procedimento, fração de ejeção e tamanho atrial esquerdo também foram registradas. P < 0.05 foi considerado estatisticamente significativo. Um total de 32 pacientes foi recrutado. Destes, 9 realizaram CVE durante o procedimento e foram excluídos da análise. Dos 23 pacientes analisados, LSI médio foi de 4,74 ± 0,78, 47.82% eram mulheres e 100% com FA paroxistica. A fração de ejeção média foi de 65,63% ± 4,2%, tamanho médio de átrio esquerdo 42,41 mm ± 5 mm e valor médio de troponina I 24 horas após o procedimento foi de 1.474,29 ± 982,17 pg/mL. O coeficiente de correlação entre LSI e niveis de troponina em 6h foi de -0,46 (p=0.0272), níveis de troponina em 24h foi de -0,60 (p=0.0020) e nível mais alto de troponina -0,6151 (p=0.0018) Demonstra-se correlação negativa significativa entre LSI e valores de troponina após procedimento de ablação de FA. Esse achado sugere a possibilidade de que lesões de melhor qualidade possam resultar em um menor nível de injúria miocárdica durante o procedimento. Estudos adicionais com um maior número de pacientes e maior tempo de acompanhamento são necessários para melhor entendimento das implicações clínicas de LSI e os níveis do biomarcador após ablação de FA.



### 2075

#### REGISTRO UNICÊNTRICO DE SIMPATECTOMIA TORÁCICA PARA CONTROLE DE ARRITMIAS CARDÍACAS

RODRIGO MELO KULCHETSCKI<sup>1</sup>; PAULO HENRIQUE PEITL GREGÓRIO<sup>2</sup>; LUIS G ABDALLA<sup>2</sup>; CRISTIANO FARIA PISANI<sup>1</sup>; MUHIEDDINE OMAR CHOKR<sup>1</sup>; CARINA ABIGAIL HARDY<sup>1</sup>; SISSY LARA DE MELO<sup>1</sup>; MAURÍCIO IBRAHIM SCANAVACCA<sup>1</sup>; PAULO MANUEL PÉGO-FERNANDES<sup>2</sup>.

1. UNIDADE DE ARRITMIAS - INCOR - HOSPITAL DAS CLÍNICAS FMUSP, SÃO PAULO - SP - BRASIL; 2. SERVIÇO DE CIRURGIA TORÁCICA - INCOR -HOSPITAL DAS CLÍNICAS FMUSP, SÃO PAULO - SP - BRASIL.

Introdução: O sistema nervoso autônomo tem um papel importante como trigger de arritmias cardíacas. A denervação simpática cardíaca (DSC) alcançada por meio de ressecção do gânglio estrelado e da cadeia simpática torácica superior é considerada uma alternativa para o controle de arritmias ventriculares. Descrevemos os resultados deste procedimento em uma coorte unicêntrica envolvendo diversas patologias. **Métodos:** Os dados foram coletados retrospectivamente, a partir de registros de pacientes submetidos a DSC. Foi realizada análise criteriosa de prontuários incluindo descrições cirúrgicas e dados ambulatoriais, em um hospital universitário terciário no Brasil. Resultados: Entre maio de 2002 e dezembro de 2022, 45 procedimentos de DSC foram realizados na instituição. Dentre estes, 19 foram realizados em contexto de protocolos de pesquisa e, portanto, foram excluídos da análise. Dos 26 pacientes restantes (média de idade 45±21; 73% sexo masculino; média de fração de ejeção: 46±16%), os motivos para a DSC foram: Miocardiopatia Chagásica (7; 26,9%), Síndrome do QT Longo congênito (6; 23%%), Taquicardia Ventricular Polimórfica Catecolaminérgica (TVPC) (3; 11,5%), Miocardiopatia Dilatada Idiopática (4; 15,3%), Miocardiopatia Isquêmica (3; 11,5%) e outros (3; 11,5%). O procedimento ocorreu de maneira vídeo-assistida e com uso de bisturi harmônico em todos os casos, sendo DSC esquerda apenas em 7 (26,9%) e bilateral nos restantes. A taxa de complicações intraoperatórias foi baixa, apenas um paciente necessitou de conversão para cirurgia aberta. Complicações tardias foram raras: 2 (7,6%) pacientes apresentaram dor crônica na ferida operatória e 1 (3,8%) paciente evoluiu com Síndrome de Horner, que três meses de seguimento. A maioria dos pacientes possuía um CDI no pré procedimento (14; 53%). O tempo médio de follow-up foi de 4,03±4,07 anos, com resultados variáveis quanto ao controle de arritmias. Conclusão: A DSC mostra-se um procedimento relativamente seguro em diversos cenários, com baixas taxas de complicação a longo prazo, e resultado variável no controle de arritmias ventriculares Estudos randomizados são necessários para esclarecer o papel dessa terapêutica nesse grupo de pacientes.

### 2062

FOLLOW-UP DE DISPOSITIVOS CARDÍACOS IMPLANTÁVEIS SUSCETÍVEIS A RECALL ATRAVÉS DE MONITORAMENTO REMOTO: RESULTADOS DE UM SERVIÇO DE REFERÊNCIA

LIVIA TEIXEIRA MARTINS E SILVA; ANDRÉ DEL'ARCO ESPER; MATHEUS HENRIQUE COLEPICOLO BRIANEZI; ARNOLD JASON BENAVIDEZ PENA; PEDRO ARTHUR FERREIRA BORGES; EUSÉBIO RAMOS DOS SANTOS FILHO; REMY NELSON ALBORNOZ VARGAS; CECILIA MONTEIRO BOYA BARCELLOS; PAULO DE TARSO JORGE MEDEIROS.

DANTE PAZZANESE, SÃO PAULO - SP - BRASIL.

Introdução: Em março de 2021 a Biotronik emitiu um comunicado sobre uma possível depleção prematura da bateria de cardiodesfibriladores implantáveis (CDI) e ressincronizadores cardíacos com desfibrilador (TRC-D). A empresa não orientou troca imediata das baterias e sugeriu o acompanhamento através de monitoramento remoto desses pacientes com dispositivos implantados em nosso serviço. Relatamos neste trabalho a taxa de recall. Métodos: Estudo retrospectivo observacional com pacientes com CDI e TRC-D Biotronik suscetíveis a recall implantados no Instituto Dante Pazzanese de Cardiologia entre os anos de 2015 a 2021. Em consulta médica, os pacientes foram convidados a participar do monitoramento remoto com o uso do monitor CardioMessenger Smart, orientados quanto ao comunicado da empresa e sobre como manusear o aparelho. Resultados: Foram identificados 76 pacientes com dispositivos passíveis de disfunção. Através de contato telefônico, observou-se que 34 pacientes já haviam falecido. Uma paciente foi submetida à troca do gerador previamente ao comunicado por desgaste da bateria. Dos 41 restantes, realizouse o monitoramento remoto de 73% (30), sendo 2 TRC-D e 28 CDI. Não ocorreu a monitorização de 10 pacientes devido à não disponibilização dos aparelhos pela empresa. Não foi possível contato com um paciente. Durante o follow-up de 2 anos, 6,6% dos casos (2) apresentaram depleção prematura da bateria, sendo submetidos à troca do gerador. Conclusão: A percentagem de recall encontrada neste estudo foi relevante e o monitoramento remoto foi fundamental para a detecção precoce e prevenção de uma situação potencialmente fatal.



### 2065

EXPERÊNCIA INICIAL DA UTILIZAÇÃO DE UM SISTEMA COM IMAGEM ESPACIAL PARA ESTIMULAÇÃO FISIOLÓGICA EM PACIENTES QUE QUE NECESSITAM DE MARCAPASSO

PAULO ROBERTO SLUD BROFMAN'; RODRIGO M MILANI'; MAXIMILIANO R GUIMARÃE'; ANTONY H SANTOS'; RAYSSA S GOIS'; MICHAEL H MIKAMI'; LUCAS V CICCOZZI'; ANDRES DI LEONI FERRARI<sup>2</sup>; FRANCISCO MAIA DA SILVA<sup>1</sup>

1. HOSPITAL SANTA CASA CURITIBA, CURITIBA - PR - BRASIL; 2. HOSPITAL SÃO LUCAS PORTO ALEGRE. PORTO ALEGRE - RS - BRASIL.

A estimulação fisiológica tem revolucionado a área da terapia elétrica do coração com diferentes modos de atuação como a TRC, a estimulação do Feixe de His e a estimulação do Ramo Esquerdo. Todas com resultados promissores e com maiores ou menores problemas de implantação dos eletrodos e seus limiares. Apresentamos a nossa experiência inicial em que utilizamos um equipamento (Synchromaxr) que permite uma medição não invasiva da sincronia interventricular, de fácil interpretação, que não requer treinamento especial e com resultados reprodutíveis. Esta tecnologia baseia-se na detecção do QRS do ECG e processa os sinais das derivações DII e V6, calcula uma média destes e determina um índice de sincronia por meio da correlação cruzada e mostra o resultado imediato baseado em um algoritmo desenvolvido pelo fabricante. Este algoritmo permite identificar e por meio de uma tabela que pode ser interpretada numericamente ou por sobreposição de imagem das curvas adquiridas. As curvas podem ser obtidas no ritmo intrinsico normal dos pacientes, em distúrbios de condução ou em resposta da estimulação dos diferentes modos selecionados. Esta metodologia é usada durante o implante de marcapasso convencional, seja VVI, DDD, CDI ou CRT e permite também otimizar a estimulação pela variação da sequência da contração dos ventrículos e do intervalo AV tomando-a mais fisiológica possível. Utilizamos esta técnica em 30 pacientes operados entre julho e agosto de 2023, com idade média de 73 anos, sendo em 11 mulheres (36,6%), 20 deles apresentavam BAVT (66,6%), 6 com BAV 2:1 (20%), 3 com DNS (10%), e 1 com episódios de TVIFV (3,3%). Em 27 pacientes foi utilizado o modo DDD, em 2 pacientes o modo VVI e em 1 paciente o modo DDD + CDI. Conseguimos manter ou recuperar a sincronia ventricular em 27 pacientes foi utilizado o modo eletrodo em VD próximo ao Ramo Esquerdo, sem auxilio da bainhas e com apenas moldagem na guia. Por ser um método não invasivo e poderá ser usado em todos os implantes convencionais buscando a estimulação do soderá ser



### 2086

SINCRONIA CARDÍACA EM PACIENTES COM MARCA-PASSO, COMPARAÇÃO ENTRE ELETRODO VENTRICULAR APICAL VS ESTIMULAÇÃO CARDÍACA FISIOLÓGICA

BERNARDO NEUHAUS LIGNATI<sup>1</sup>; GUSTAVO CHIARI CABRAL<sup>2</sup>; LUÍS HENRIQUE KLAFKE<sup>2</sup>; NICOLAS BIONI STEFANO<sup>2</sup>; JESSICA CAROLINE FELTRIN WILLES<sup>2</sup>; GUILHERME FERREIRA GAZZONI<sup>2</sup>; THIAGO CAMARGO MOREIRA<sup>2</sup>; DANIEL NUNES DA ROSA<sup>2</sup>; ANDRES DI LEONI FERRARI<sup>2</sup>.

1. FACULDADE DE MEDICINA UNIVERSIDADE LUTERANA DO BRASIL, CANOAS - RS - BRASIL; 2. SERVIÇO DE ESTIMULAÇÃO CARDIACA HSL -PUCRS, PORTO ALEGRE - RS - BRASIL.

Fundamento: Estimulação cardíaca artificial (ECA) fisiológica é a captura do sistema de condução intrínseco do paciente para alcançar melhor ativação eletromecânica cardíaca, fundamentalmente na sincronia da ejeção ventricular. A literatura mostra limitações em usar apenas análise da duração do QRS para determinar a sincronia cardíaca, e sugere indices alternativos (Di Leoni et al. Arq. Bras. Card., 2022;118:486-502). Objetivo: Comparar duração dos complexos QRS, análise da variáncia espacial do QRS e índice de sincronia cardíaca (ISC Synchromax®), em pacientes com marcapasso temporário apical (MPT) vs. os mesmos pacientes após colocação do eletrodo ventricular em posição comprovada de ECA fisológica (MPF). Métodos: Analisamos 20 pacientes consecutivos da Unidade de estimulação cardíaca de um hospital universitário de Porto Alegre-RS. QRS>120ms foi considerado largo. O ISC possui três categorías: Síncronia se 0,0 a 0,4; Intermediário: 0,41 a 0,7; Dissincrônicos: >0,71. Resultados: Dos 20 pacientes, 19 apresentaram significativa melhora no ISC (média MPT= 1,5±1,27 e após MPF= 0,18±0,122; p <0,0002). Após MPF, 18 pacientes foram classificados sincrônicos e 2 na categoria intermediário. Esses 2 apresentavam piores marcadores de dissincronia (ISC) com o MPT, melhorando significativamente os índices após MPF. Com o MPF, a duração do QRS reduziu em 17 pacientes, e 4 desses passaram a ter QRS<120ms. A média dos QRS= 149,4±21,44ms com MPT variando para 129,85±17,59ms com MPF (p<0,0005). Um paciente não variou o QRS, e 2 pacientes mostraram aumento da largura apesar da melhora significativa do ISC para valores compatíveis com sincronia (c-0.4). Isso, como postulado por Brignole et al (Eur. Heart J.,2022;43:4174-4176) demonstra que a duração do QRS pode ser parâmetro não ideal como marcador de sincronia ventricular. Conclusão: Há notável ganho na sincronia cardíaca ao se utilizar a estimulação fisiológica. Além disso, durante a ECA o ISC do Syncromax®, permite o conhecimento da sincronia ventricular em tempo real, demons



### 2109

INTERCORRÊNCIA NO FUNCIONAMENTO DO BALÃO INTRA-AÓRTICO EM PACIENTE COM CHOQUE CARDIOGÊNICO RECEBENDO ESTIMULAÇÃO VENTRICULAR EM SUPORTE MECÂNICO

GUILHERME MARCOS LEVY LAMELLA; GUSTAVO VIGNOLI DOS SANTOS; NATHALIA PALOMO VALLE.

PROCARDIACO, RIO DE JANEIRO - RJ - BRASIL.

Introdução: O balão intra-aórtico (BIA) é um suporte ventricular mecânico que requer adequada sincronia com a sístole ventricular. Quando associado ao suporte mecânico com oxigenação por membrana extracorpórea venoarterial (ECMO VA) e dependente de estimulação ventricular provisória pode gerar dificuldades no sincronismo adequado do BIA. Relato de caso: Paciente feminina, 70 anos, internada por insuficiência cardíaca aguda com rápida progressão para choque cardiogênico, nas primeiras 12 horas de internação, apresentou taquicardia ventricular incessante e necessidade de múltiplas cardioversões elétricas. Após reversão da taquicardia evoluiu com bloqueio atrioventricular total sendo feito o implante de marcapasso transvenoso temporário. A coronariografia não evidenciou lesões obstrutivas, sendo posicionado BIA e implantado em seguida suporte em ECMO VA por refratariedade ao tratamento clínico. O funcionamento do BIA depende do sincronismo com o complexo QRS ou a curva de pressão arterial, os quais deflagram a insuffação do balão de forma sincrônica. A paciente em ECMO VA, no qual a curva de pressão arterial é amortecida pelo fluxo contínuo da bomba extracorpórea e a estimulação ventricular com complexos QRS alargados, impossibilitou que o BIA reconhecesse os parâmetros para a sincronia adequada. O manual do BIA descreve que a duração do QRS deve estar entre 25-135ms para que seja reconhecido, sendo o complexo alargados uma limitação. Foi realizado a conexão "em T" através de um cabo jacaré, dos eletrodos do eletrocardiograma do console do BIA diretamente ao pólo proximal e distal do cabo do marcapasso provisório para reconhecer a espícula do marcapasso pelo sistema. O eletrodo do braço direito foi conectado ao pólo distal do cabo do marcapasso, e o eletrodo do braço esquerdo no pólo proximal. O sistema passou a reconhecer as espículas, para gerar o disparo da insuflação, sincronizado. Conclusão: O caso em questão demonstra uma boa opção para configurar o BIA, ao apresentar dificuldade de sincronismo com a monitorização convencional, pode ser sincronizado com o marca passo para manter o beneficio nemodinâmico.

### 1966

CARDIOMIOPATIA ARRITMOGÊNICA DO VENTRÍCULO ESQUERDO RELACIONADA À MUTAÇÃO GENÉTICA FILAMINA C - RELATO DE CASO

ANDRÉ PACHECO SILVA'; LUCIANA EDER MARTINS BARROS SIMONIº; ALEXANDER DAL FORNO'; ANDRE LUIZ BUCHELE D'ÁVILA'; MAURÍCIO LUÍS SPESSATTO'; LUCIANO RAMOS BOFF'; ANDREI LEWANDOWSKI¹; CLOVIS FROEMMING JUNIOR'; HELCIO GARCIA NASCIMENTO'.

1. HOSPITAL SOS CARDIO - CLINICA RITMO, FLORIANOPOLIS - SC - BRASIL; 2. HOSPITAL SOS CARDIO, FLORIANOPOLIS - SC - BRASIL.

Introdução: A cardiomiopatia arritmogênica (CMA) com acometimento do ventrículo direito (VD) é uma entidade bem definida e estudada, enquanto o envolvimento apenas do ventrículo esquerdo (VE) tem critérios diagnósticos mais recentes, que incluem presença de mutação genética, e confunde-se frequentemente com o fenótipo de miocardiopatia dilatada (MCD). Descrição do caso: R. R. F., 29 anos, masculino, branco. HMA: Palpitações aos esforços há 8 meses durante atividades de academia e jiu-jitsu, e um episódio de pré-sincope associado. Usava suplementos "pré-treino". Nega dispnéia aos esforços ou síncopes. Afastado da atividade física desde então, segue assintomático. AP: nega outras comorbidades, uso de álcool ou hormônios. AF: Avô paterno com "cardiopatia" desde os 35 anos e portador de marcapasso. País sem cardiopatia. Tio paterno com relato de miocardiopatia dilatada. Único irmão com 2 episódios de miocardites. Exame físico: FC 50 bpm PA: 122 x 80 mmHg, exame físico normal. Exames laboratoriais: NTproBNP 358 pg/ml, demais sem alterações. ECG: ritmo sínusal, PR normal, QRS estreito, repolarizacao normal. Holter 24n: 35/63/120 bpm. 4% EV polimórficas, 2763 isoladas. 90 pares, e 1 TVNS com 4 batimentos. Teste ergométrico: 88% fc máxima, 17 METS, sem alterações ST, raras EV polimórficas isoladas e pareadas no esforço, sem piora com maior intensidade do exercicio. Eco TT: AE 37mm, FEVE 60%, VE 68 x 46 mm, septo 7mm parede posterior 7 mm, VD normal, sem alterações contratilidade. RMC: FEVE 45%, VE 73 x 57 mm, hipocinesia difusa VE, VD normal. Realce tardio subepicárdico em segmentos interior, infero-septal e ântero-septal medial do VE. Padrão de realce não isquêmico "ring-like". O painel genêtico de miocardiopatias observou variante provavelmente patogênica no gene filamina C (OMIM \* 102565), variante chr: 1218.846.164 G-7, em heterozigose. Conclusões: A mutação patogênica em filamina C está associada a uma alta incidência (15 a 27%) de eventos arritmicos maiores e morte cardíaca súbita em 5 a nos, e já consta em difer



### 1984

PREDITORES CLÍNICOS E ECOCARDIOGRÁFICOS DE TROMBO INTRACAVITÁRIO EM PORTADORES DE FIBRILAÇÃO ATRIAL SUBMETIDOS A ECOCARDIOGRAFIA TRANSESOFÁGICA

RUBIA CARLA CAPPELLARI TOLENTINO; JULIA PETRY TREVISANI; GABRIELA GRANDE GIARETTA; LAURA PANCOTTE BERNDSEN; ROBERTA DO NASCIMENTO ANDRADE; LUIZ GABRIEL MAY; ALVARO LAZARTE ARIAS; RICARDO FELIPE RAMOS; KÁRILA SCARDUELLI LUCIANO; RAFAEL DE MARCH RONSONI.

HOSPITAL REGIONAL HANS DIETER SCHMIDT, JOINVILLE - SC - BRASIL.

CLINICAL PREDICTORS AND ECHOCARDIOGRAPHY OF INTRACAVITARY THROMBUS IN PATIENTS WITH ATRIAL FIBRILLATION UNDERGOING TRANSESOPHAGEAL ECHOCARDIOGRAPHY. Palavras-chave: fibrilação atrial, ecocardiograma transesofágico, trombo intracavitário, cardiologia. atrial fibrillation, echocardiography, intracavitary thrombus, cardiology. **Resumo:** Fundamentos: A fibrilação atrial (FA) pode ser definida como uma taquiarritmia supraventricular sustentada e o tromboembolismo originado do átrio esquerdo (AE) está dentre as suas complicações. Se utiliza o ecocardiograma transesofágico (ETE) como principal ferramenta para diagnóstico e análise desta complicação. A literatura atual carece de informações sobre a real prevalência brasileira de trombo em AE em pacientes submetidos à ETE e de seus fatores associados. Objetivo: Reconhecer a prevalencia e os fatores associados com a formação de trombo interatrial em pacientes com FA não valvar submetidos a ETE. Métodos: Estudo de coorte retrospectivo realizado no Setor de Ecocardiografia Transesofágica do Hospital Regional Hans Dieter Schmidt na cidade de Joinville, Santa Catarina, junto à revisão literária na qual foram utilizadas as bases de dados PubMed. Resultados significativos: A amostra foi constituída de 359 pacientes, sendo a idade média de 56.32 e a maioria do sexo masculino (61,8%). O desfecho ocorreu em 26 pacientes (7,24%). Após análise mutivariada foi possível inferir que placa aórtica (RR 3,09 IC95% 1,36, 7,09 p=0,04) e presença de contraste espontaneo significativo (RR 17,92 IC95% 6,51, 49,56 p<0,001) são preditores independentes relacionados à presença de trombo interatrial. **Conclusões:** Demonstramos que a prevalência de trombo de atrio esquerdo em nosso centro está próxima a descrita na literatura e a sua associação Sua associação após análise multivariada com contraste espontâneo significativo e a presença de placa aórtica em portadores de FA não valvar

### 2030

USO DE BAINHA MECÂNICA ROTACIONAL TIGHTRAIL PARA EXTRAÇÃO DE ELETRODO DE CARDIODESFIBRILADOR IMPLANTÁVEL SUBCUTÂNEO: RELATO DO PRIMEIRO CASO NO BRASIL

GUSTAVO GALLI REIS¹; GABRIEL DE ABREU SILVA²; CLAUDIO CAETANO DE FARIAJUNIOR¹; JOÃO AUGUSTO SILVABRUSTULIN¹; CEZAR EUMANN MESAS¹; GUSTAVO ALIANO GAMBARO³; REBECCA AMARAL PIRES MOURA³; VINÍCIUS AUGUSTUS BARUSSO BELEZE¹; ANNA PAULA GONCALVES OLIVIER¹⁴

1. ELETROFISIOLOGIA CARDÍACA LONDRINA, LONDRINA - PR - BRASIL; 2. ELETROFISIOLOGIA CARDIACA LONDRINA, LONDRINA - PR - BRASIL; 3. PUC PR, LONDRINA - PR - BRASIL; 4. HURNP, LONDRINA - PR - BRASIL.

Masculino, 26 anos, portador de cardiomiopatia arritmogênica, foi submetido a implante de cardiodesfibrilador implantável subcutâneo (CDI SC) em 2018, para prevenção primária. Permaneceu livre de eventos durante 3 anos. Em setembro deste ano, em relemetria de rotina, observado alteração abrupta da sensibilidade e impedância do sistema sugerindo fratura do eletrodo. Optado por abordagem cirúrgica de urgência devido risco de terapia inapropriada ou de falha de terapia. Durante ato cirúrgico, ao extrair gerador de loja foi constatada infiltração de sangue na interface eletrodogerador, sendo considerada a causa da disfunção. Foi decidido, então, realizar extração completa do sistema e concomitante reimplante de novo eletrodo e gerador. O primeiro procedimento foi realizado por técnica de dupla incisão. O sítio cirúrgico subxifóide foi aberto para exposição do eletrodo e exérese dos fios de ancoragem. Após exérese dos fios, feito a tentativa de explante com tração simples via subxifóide sem sucesso decorrente de extensa fibrose em topografia do coil para-esternal. Optado por realização da terceira incisão em região para-esternal alta, sobre porção distal do eletrodo. Procedida tração, sem sucesso. Adicionalmente, realizado tentativa de liberação da fibrose com as bainhas de dilatação do próprio sistema de entrega do CDI subcutâneo, sem sucesso. Diante disto, optou-se pela extração através de bainha mecânica rotacional TightRail, Spectranetics. A primeira tentativa de extração foi realizada através de guia de extensão simples, apoiada ao eletrodo por fios de seda e mersilene, aplicando contra-tração através do TightRail. Múltiplas tentativas sem sucesso, os fios de sutura cediam frente a tensão imposta. A ausência de lúmen no eletrodo do dispositivo impedia a utilização da guia de liberação LLD. Em última tentativa, realizado manobra de contra-tração com fios de aço ancorados pelo anel de sutura da porção distal do eletrodo subcutâneo, sendo então possível a liberação da fibrose paraesternal e a extração com sucesso. Após a extração, realizado implante de novo sistema de CDI SC. A impedância do novo sistema, a despeito da fibrose paraesternal, foi de 65 Ohms. O paciente recebeu alta no dia seguinte



### 2033

### SÍNDROME DE BRUGADA DIAGNOSTICADA APÓS CHOQUE ELÉTRICO: RELATO DE CASO

MARIANA DE BARROS CASTELLANETA'; EMMANUELLA ANDRADE LEAL'; SILVIA HELENA CARDOSO BOGHOSSIAN²; MARCELO IMBROINISE BITTENCOURT¹; EDUARDO BARBOSA¹; POLIANA FERREIRA STROLIGO DIAS¹; LUCAS DE ASSIS NOGUEIRA DE MOURA RAGEL²; LEONARDO PINHEIRO DE CAMPOS PINHO²; EDUARDO BOGHOSSIAN CORDOVIL²; RICARDO MOURILHE-ROCHA¹; MARCELO FERREIRA PALOMO VALLE¹

1. HOSPITAL UNIVERSÍTÁRIO PEDRO ERNESTO, RIO DE JANEIRO - RJ -BRASIL; 2. HOSPITAL AMERICAS, RIO DE JANEIRO - RJ - BRASIL.

Introdução: A síndrome de Brugada é uma doença cardíaca genética que pode predispor a arritmias ventriculares e morte súbita cardíaca. O padrão eletrocardiográfico pode ter alterações dinâmicas, mudando de normalização transitória, para padrões tipo 1 (coved type) ou tipo 2 (saddleback type), de acordo com fatores precipitantes. O caso relata uma sindrome de brugada tipo 1 após choque elétrico, achado raro al literatura. Relato de Caso: Homem de 44 anos, previamente hipertenso, chegou à emergência 1 hora após choque elétrico de alta voltagem (13,8Kv), enquanto trabalhava. Estava estável hemodinamicamente, com queixa apenas de dor no braço direito, onde apresentava queimadura de terceiro grau. Exames laboratoriais com função renal, eletrólitos, troponina e CK dentro da normalidade. Realizado eletrocardiograma (ECG) que mostrou supradesnivelamento do segmento ST > 2mm nas derivações V1 e V2 (coved type), característicos de Síndrome de Brugada tipo 1; o achado não estava presente em revisão de ECGs prévios. Ressonância magnética não mostrou alterações em função ventricular. Ao estudo eletrofisiológico com estimulação elétrica, não houve indução de taquicardia ventricular polimórfica sustentada. Discussão: É descrito que o choque elétrico pode resultar em alterações cardíacas, incluindo arritmias ventriculares malignas e morte súbita. No caso descrito, pode-se supor que o choque desmascarou o fenótipo da síndrome de brugada em paciente com genótipo positivo, mesmo que haja poucos casos semelhantes descritos. Naqueles pacientes diagnosticados com o padrão tipo I espontâneo, assintomático e com estudo eletrofisiológico negativo é indicado seguimento clínico. Saber orientar fatores precipitantes, como febre, uso de cocaína, excesso de álcool, agentes anéstesicos e antidepressivos é de suma importância para que se possa prevenir o desencadeamento de arritmias nesses pacientes.



### 2043

ADENOSINE-SENSITIVE INCESSANT RIGHT VENTRICULAR OUTFLOW TRACT VENTRICULAR TACHYCARDIA COMPLICATING FULMINANT LYMPHOCYTIC MYOCARDITIS: CASE REPORT

ROBERTO ALVAREZ COELLO; RODRIGO MELO KULCHETSCKI; MUHIEDDINE OMAR CHOKR; CARINA ABIGAIL HARDY; CRISTIANO FARIA PISANI; SISSY LARA DE MELO; LEONARDO ANTUNES MESQUITA; EDUARDO PELEGRINETI TARGUETA; AFONSO DALMAZIO SOUZA MARIO; LEONARDO RÖTHLISBERGER; MAURÍCIO IBRAHIM SCANAVACCA.

INSTITUTO DO CORAÇÃO DO HOSPITAL DAS CLÍNICAS DA FACULDADE DE MEDICINA DA UNIVERSIDADE DE SÃO PAULO, SÃO PAULO - SP - BRASIL.

Fulminant myocarditis is a rare condition defined as a sudden diffuse cardiac inflammation leading to cardiogenic shock, arrhythmias or multiorgan systemic failure. VT may be present in up to 33% of cases of biopsy-proven myocarditis and is associated with increased mortality. Mechanisms of VT are not well established but may involve abnormal automaticity. Response to adenosine is described in idiopathic outflow tract VT (OVT) due to cAMP-mediated triggered activity, but its effect is not well studied. A 32-years-old woman, was admitted with chest pain and reported a history of a flu-like in the past 7 days. A elevation of cardiac troponin prompted coronary angiography, that was normal. A diagnosis of myocarditis was then suggested. The patient developed heart failure, hemodynamic instability, with the need for intubation and vasopressors. Echocardiogram showed LVEF 25%, so cardiogenic shock was suspected and dobutamine was added. A incessant VT was detected. 3 cardioversions were performed, but were unsuccessful. VT was compatible with a right ventricle outflow tract site. Amiodarone, idocaine and electrolyte reposition were given, but also with no response. It was decided to perform a test with adenosine. Surprisingly, a change in the frequency and even a momentary reversal to sinus rhythm was observed. VA-ECMO was installed as a bridge to recovery. In a few hours, the patient returned to sinus rhythm. An endomyocardial biopsy showed hymphocytic myocarditis. Withdrawal of VA-ECMO was achieved after 11 days. The pacient received a pulse therapy with Methylprednisolone and Immunoglobulin. An EP study was performed, but despite high-dose isoproterenol and programmed ventricular stimulation up to four extra stimuli in two different sites in the right ventricle, no arrhythmias were induced. IOVT is classically adenosine-sensitive. Autientity suppressed, and never terminated (like our case) – the mechanism for that suppression is not well described, so abnormal automaticity may explain most VTs in such cases. Macro



### 2055

INSUFICIÊNCIA CARDÍACA COM FRAÇÃO DE EJEÇÃO MELHORADA DOIS ANOS APÓS IMPLANTE DE TERAPIA DE MODULAÇÃO DA CONTRATILIDADE CARDÍACA: RELATO DE CASO.

GUSTAVO GALLI REIS¹; GABRIEL DE ABREU SILVA¹; CLAUDIO CAETANO DE FARIA JUNIOR¹; JOÃO AUGUSTO SILVA BRUSTULIN²; CEZAR EUMANN MESAS¹; VINÍCIUS AUGUSTUS BARUSSO BELEZE³; ANNA PAULA GONCALVES OLIVIER¹³.

ELETROFISIOLOGIA CARDÍACA LONDRINA, LONDRINA - PR - BRASIL;
 ELETROFISIOLOGIA CARDIACA LONDRINA, LONDRINA - PR - BRASIL;
 HURNP, LONDRINA - PR - BRASIL.

Introdução: Terapia de modulação cardíaca (CCM) induz remodelamento ventricular reverso na insuficiência cardíaca (IC), porém ainda não se encontra consolidada nas diretrizes de insuficiência cardíaca, devido ausência de dados, até o momento, que demonstre redução de mortalidade. **Objetivo:** descrever caso clínico de paciente portador de insuficiência cárdica que apresentou melhora clínica e estrutural, após dois anos do uso do CCM. Caso clínico: Masculino, 82 anos, portador de IC com fração de ejeção reduzida (32%), de etiologia isquêmica, vinha em classe funcional (CF) III, com diversas internações por insuficiência cardíaca descompensada e edema agudo de pulmão, a despeito de terapia medicamentosas otimizada. Apresentava ainda doença renal crônica, com Cr basal de 2.5. Portador de marcapasso definitivo de câmara dupla, por doença do nó sinoatrial (síndrome bradi-taqui). Vinha em uso de: Hidralazina, Isossorbida, Succinato de Metoprolol, Dapaglifozina, Furosemida, Amiodarona, Rosuvastatina, Alopurinol, Eliquis, com doses otimizadas. Aos exames apresentava Ritmo Sinusal, BNP elevado, Eco com disfunção ventricular (fração de ejeção de 32%), com DDVE de 59 mm. Não havia sinais de isquemia miocárdica pela cintilografia. A telemetria do dispositivo do marcapasso, demonstrou mínima estimulação ventricular (< 1%), com QRS intrínseco de 100 ms. Por não ser candidato a terapia de ressincronização cardíaca (QRS 100 ms e baixas taxas de estimulação ventricular artificial) foi optado por intervenção combinada em mesmo ato operatório: Etapa 1: extração de sistema de marcapasso a esquerda com auxílio de bainha mecânica rotacional TightRail; Etapa 2: implante de CDI câmara dupla à esquerda para prevenção primária; Etapa 3: implante de terapia de CCM à direita, como tentativa de melhora dos quadros de internações e evolução desfavorável da IC. Após implante de CCM, paciente não apresentou novas internações por IC, bem como apresentou remodelamento reverso com redução substancial de DDVE (de 59 mm para 45mm), melhora de fração de ejeção (de 32% para 45%). **Conclusão:** A terapia de modulação cardíaca deve considerada como alternativa em pacientes portadores de insuficiência cardíaca, com refratariedade ao tratamento.

### 2079

RESULTADOS INICIAIS DA TRANSIÇÃO DA TÉCNICA HABITUAL DE ABLAÇÃO DA FIBRILAÇÃO ATRIAL PARA ZERO FLUOROSCOPIA

FABRÍCIO SARMENTO VASSALLO<sup>1</sup>; CHRISTIANO LEMOS DA CUNHA<sup>1</sup>; LUCAS CORCINO DOS SANTOS<sup>2</sup>; EDUARDO GIESTAS SERPA<sup>3</sup>; ALOYR SIMŌES JR.<sup>1</sup>; HERMES CARLONI ARAÚJO<sup>1</sup>; CARLOS ALEXANDRE VOLPONI LOVATTO<sup>2</sup>; DALBIAN SIMŌES GASPARINI<sup>2</sup>; DALTON HESPANHOL AMARAL<sup>1</sup>; ANDRE SCHMIDT<sup>4</sup>

1. HOSPITAL SANTA RITA DE CÁSSIA, VITORIA - ES - BRASIL; 2. HOSPITAL SANTA CASA DE MISERICÓRDIA DE VITÓRIA, VITÓRIA - ES - BRASIL; 3. INSTITUTO DO CORAÇÃO DO ESPÍRITO SANTO, VITÓRIA - ES - BRASIL; 4. FACULDADE DE MEDICINA DE RIBEIRÃO PRETO - USP, RIBEIRÃO PRETO - SP - RPASII

Introdução: Ablação da fibrilação atrial (FA) é tratamento alternativo a medicamentosa. Desde seu início a fluoroscopia e posteriormente ecocardiografia intracardíaca (EIC) e mapeamento eletroanatômico são utilizados como suporte ao procedimento. **Objetivo:** documentar e comparar os resultados durante a transição entre técnicas na ablação de FA com ténica de alta potência e curta duração com suporte da fluoroscopia e sem sua utilização. **Métodos:** Entre 10/2021 a 09/2023 de forma retrospectiva analisamos 101 pacientes submetidos primeira ablação FA divididos em dois grupos; com RX (grupo A) e sem RX (grupo B). O EIC foi utilizando 50W de radiofrquência (RF), força de contato de 5-10g e 10-20g com fluxo de 40 ml/minuto nas paredes posterior e anterior do átrio esquerdo, respectivamente. **Resultados:** Grupo A: 57 pacientes, 33 (57,9%) FA paroxística (PAF), CHAZDS2VASC médio 3,1±1,7, tempo AE (TAE) 80,5±29,3 min, total (TTA) de 78,2±23,6 min, tempo de RF 1658±498 s, raio X 4,5±3,5min e isolamento em primeira passagem (IPP) bilateral em 48 (84,2%). Pseudonaneurismas em 2 (3,5%) e hematomas maiores em 3 (5,3%) pts. Grupo B: 44 pacientes, 27 (61,4%) FA paroxística (PAF), CHAZDS2VASC médio 2,6±2,0, TAE 57,7±20,5min (P=0,8), TTA 88,4±19,9min (P=0,01), RF 1.519±675,8 s (P=0,8), RX O min e IPP bilateral em 38 (86,4%). Pseudonaneurismas em 1 (2,2%), hematomas maiores em 2 (4,4%) e tamponamento em 1 (2,2%) pts. Isolamento de veias pulmonares foi atingido em 100% dos pacientes. Sem óbitos. **Conclusões:** A técnica sem uso de fluoroscopia levou a um maior tempo de procedimento e 1 tamponamento cardíaco.



### 2080

EXPERIÊNCIA INICIAL DA OCLUSÃO DE APÊNDICE ATRIAL ESQUERDO GUIADA EXCLUSIVAMENTE PELO ECOCARDIOGRAMA INTRACARDÍACO - RELATO DE NOVE CASOS

FABRÍCIO SARMENTO VASSALLO¹; CARLOS ALEXANDRE VOLPONI LOVATTO²; EDUARDO GIESTAS SERPA³; DALBIAN SIMÕES GASPARINI²; ALOYR SIMÕES JR.¹; HERMES CARLONI ARAÚJO¹; LUCAS CORCINO DOS SANTOS²; DALTON HESPANHOL AMARAL¹; KARLA LOUREIRO MEIRA³; VINICIUS FRAGA MAURO³.

1. HOSPITAL SANTA RITA DE CÁSSIA - AFECC, VITORIA - ES - BRASIL; 2. HOSPITAL SANTA CASA DE MISERICÓRDIA DE VITÓRIA, VITÓRIA - ES - BRASIL; 3. INSTITUTO DO CORAÇÃO DO ESPÍRITO SANTO, VITÓRIA - ES - BRASIL.

Introdução: A oclusão do apêndice atrial esquerdo (OAAE) tornou-se uma alternativa mecânica eficaz à anticoagulação oral (ACO) para prevenção de acidente vascular cerebral em pacientes com fibrilação atrial (FA) e contraindicação ao uso destes. Objetivo: Este estudo visa relatar a experiência inicial e segurança do suporte da ecocardiografia intracardíaca (ICE) como substituta da ecocardiografia transesofágica na OAAE. Métodos: avaliamos 9 pacientes (pts) com FA e flutter atrial (FLA) atípico que apresentaram contraindicação ao uso de ACO. As próteses ustilizadas foram Watchman FLX em 2 (22,2) e Amulet em 7 (77,8). Em 7 (77,8) pacientes observamos a presença FA ou FLA persistentes, CHA2DS2VASC médio 5,0±2,4, HASBLED 2,9±2,2. Em 8 (88,9%) pts sangramentos com uso de ACO e AVC isquêmico e presença de trombo em apêndice atrial esquerdo em uso de apixabana e dabigatrana em 1 (11,1%). Ablação prévia a oclusão em todos casos com uso de cateter Tacticath SETM e ICE ViewflexTM. As medidas dos óstio e profundidade dos apêndices foram realizadas com colocação do ICE no AE após punção transeptal nas projeções septal esquerda ("Home View"), dentro da veia pulmonar superior E, no óstio do AAE e acima da válvula mitral. Estas medidas foram pré e pós-ablação. **Resultados:** Procedimentos realizados em 07/2022 a 08/2023. Procedimentos com sucesso, sem complicações, tempo AE (TAE) 79,9±14,3 min, total (TTA) de 96,2±32,1 min, tempo de radiofrequência (RF) 1388±338 s, raio X 8,9±2,5min, uso médio de 58±17ml de contraste sendo que em dois pacientes não utilizamos por disfunção renal pré-dialítica. Não houve "leak"pós-procedimento No pós-procedimento2 pts apresentaram pequenos pseudoaneurismas em artéria femoral direita com tratamento conservador com resolução em ambos. Conclusão: nesta experiência inicial com 9 casos com uso exclusivo do ICE como suporte na oclusão de apêndice atrial esquerdo esta ferramenta se mostrou ser capaz além de segura na substituição ao ECOTE.

#### 2083

ABLACAO SEPTAL POR RF PARA TRATAMENTO DA OBSTRUCÃO DE VIA DE SAÍDA DE VE EM 70 PACIENTES: SEGURANCA EM 30 DIAS

BRUNO PEREIRA VALDIGEM; EDILEIDE DE BARROS CORREIA; ANTONIO TITO PALADINO FILHO; ROGERIO ANDALAFT; ANDREA DE ANDRADE VILELA; LARISSA VENTURA BRUSCKY; LUCIANA VIDAL ARMAGANIJAN; GABRIELA HINKELMANN BERBERT; PAULO ALEXANDRE DA COSTA; IBRAIM MASCIARELLI FRANCISCO PINTO; JORGE EDUARDO ASSEF.

INSTITUTO DANTE PAZZANESE DE CARDIOLOGIA, SAO PAULO - SP - BRASIL

Ablacao septal por radiofrequencia para tratamento de obstrução de via de saída de ventriculo esquerdo é um campo em expansão do tratamento de cardiopatias estruturais, habitualmente realizado por eletrofisiologistas. 70 pacientes portadores de estenose intraventricular sintomatica(obstrução de via de saída ou medioventricular de ventriculo esquerdo ) com gradiente máximo obtido de 50mmHg a despeito de uso otimizado de betabloqueadores foram submetidos a ablacao por radiofrequencia conforme protocolo institucional já publicado em outra ocasião. Todos os pacientes foram submetidos a ablacao por cateter de radiofrequencia com ponta de 8mm guiado por ecocardiografia transesofagica intraoperatoria. O protocolo descrito originalmente em 2022 foi aplicado sequencialmente em 70 pacientes, com idade media de 56,8 +17,4anos, gradiente médio de 88,6 +-33mmhg, 69,7% de mulheres. O tempo medio de internação dos pacientes foi de 3 dias em Uti e 1 em enfermaria. Ao longo do primeiro mês dois pacientes foram readmitidos de forma nao programada (um paciente com pneumonia bacteriana hospitalar após 5 dias da alta e um paciente com angina secundaria a piora de estenose de ponte miocárdica). Dois pacientes morreram durante a internacao (um paciente com provável embolia coronariana após 36h do procedimento e uma com sindrome de takotsubo resolvida seguida por complicações vasculares com sucesso). Nenhum paciente apresentou lesao do sistema de conducao que justificasse uso de marcapasso definitivo. Conclusão: ablacao septal por radiofrequencia é um procedimento em ascensão, e a Segunacia intraoperatoria depende de protocolos bem definidos e reconhecimento das complicações. Podemos estimar até o momento que uma das maiores series de caso no mundo possa contribuir para estimativa de taxa de complicações.



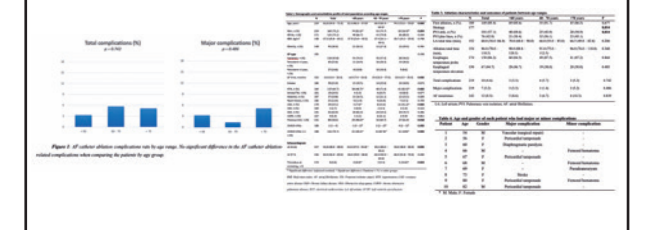
### 2090

IS AGE ASSOCIATED WITH COMPLICATIONS OF ATRIAL FIBRILLATION CATHETER ABLATION?

CARLOS ALEXANDRE VOLPONI LOVATTO; FABRÍCIO SARMENTO VASSALLO; HERMES CARLONI ARAÚJO; ALOYR SIMÕES JR.; EDUARDO GIESTAS SERPA; CHRISTIANO LEMOS DA CUNHA; DALBIAN SIMÕES GASPARINI; LUCAS CORCINO DOS SANTOS; DALTON HESPANHOL AMARAL; LUIZ FERNANDO M.

SANTA CASA DE VITÓRIA, VITÓRIA - ES - BRASIL.

Background: Atrial fibrillation (AF) is the most frequent arrhythmia, and its prevalence increases with age. The management of AF in the elderly is challenging, as it is normally associated with comorbidities and fraitly. AF catheter ablation is a safe and superior alternative to AADs for the maintenance of the sinus rhythm. Aim: To evaluate the rate of complications associated with catheter ablation (CA) for atrial fibrillation (AF) across different age groups. Methods: A retrospective analysis of 219 patients who underwent catheter ablation for AF between 2016 and 2020 were divided into three age groups: less than 60 years, 60-70 years, and >70 years. All the included patients underwentradiofrequency (RF) ablation using an electroanatomic mapping system and nearly half with high power short duration approach. Categorical variables were evaluated with qui-square and Fisher Test and continuous variables by Kruskal Wallis and post-hoc Tamhane's T2. A P-value of less than 0.05 was considered significant. Results: We found an overall total complication rate of 4.6%. Patients of age < 60 years had 3.3%, between 60 and 70 had 5.7%, and >70 years had a 5.2% total complication rate (p=0,742). No deaths occurred.Conclusion: There was no significant difference in the AF catheter ablation-related complications when comparing the patients by age group.



### 2106

EXPERIÊNCIA INICIAL COM BLOQUEIO DE GÂNGLIO ESTRELADO PARA CONTROLE DE TEMPESTADE ELÉTRICA: UMA SÉRIE DE CASOS

JESSICA DE ARAUJO DA FONSECA FERNANDES¹; EDUARDO BENCHIMOL SAAD²; CHARLES SLATER³; LUIZ ANTONIO OLIVEIRA INACIO JUNIOR³; LUCAS CARVALHO DIAS³; GUSTAVO VIGNOLI DOS SANTOS³; LUIZ EDUARDO MONTENEGRO CAMANHO¹.

1. HOSPITAL PRÓ CARDIACO, RIO DE JANEIRO - R.J - BRASIL; 2. 1. COORDE-NADOR DO SERVIÇO DE ARRITMIAS E ESTIMULAÇÃO CARDÍACA - HOSPITAL HOSPITAL SAMARITANO BOTAFOGO (R.J) 2. ELETROFISIOL GISTA DO SERVIÇO DE ARRITMIAS E HARVARD THORNDIKE ELECTROPHYSIOLOGY INSTITUTE, RIO DE JANEIRO - R.J - BRASIL; 3. HOSPITAL PRO CARDIACO, RIO DE JANEIRO - R.J - BRASIL; 4. COORDENADOR DO SERVIÇO DE ARRITMIAS E ESTIMULAÇÃO CARDÍACA - HOSPITAL PRO CARDIACO, RIO DE JANEIRO - R.J - BRASIL.

Introdução: A tempestade elétrica, definida como três terapias ou mais pelo CDI com intervalo mínimo de 5 minutos, representa uma emergência médica associada a elevada morbimortalidade. A despeito do amplo arsenal terapêutico disponível, o manejo adequado desta condição permanece um desafio clínico a ser atingido. O bloqueio do gânglio estrelado (BGE) é uma modalidade percutánea temporária que reduz o estimulo simpático cardíaco, com uma redução descrita de até 90% na carga total de arritmias ventriculares. Relato de caso: No período de agosto/2020 a maio/2022, foram acompanhados 16 pt portadores de CDI e tempestade elétrica admitidos em hospital terciário. Em 10 pt, a indicação do CDI foi por profilaxia primária e em 6 pt por profilaxia secundária. Após sedação e terapia antiarritmica otimizada, foi optado pelo BGE esquerdo em 4 pt (25%). A idade média foi 60,75 anos, 3/4 pt sexo masculino, 1 pt com cardiopatia dilatada não isquémica, 2 pt com etiologia isquémica, 1 pt com coração normal. 2/4 pt tem CDI por profilaxia primária. A FEVE média foi 35%. Outras comorbidades encontradas foram: insuficiência emal crônica em tratamento conservador em 1/4 pt, hipretensão arterial sistémica em 3/4 pt. Diabates mellitus em 2/4 pt. Foi realizado BGE esquerdo, guiado por ultrassonografía com agulha de punção, injeção de bupivacaina no nível de C6, abaixo da fáscia do musculo longo do pescoço. Em 3/4 pt houve supressão completa da arritmia recorrente e em 1/4 pt houve um controle parcial. O tempo médio entre o BGE e a ablação de taquicardia ventricular foi de 48h, durante este período s4 pt permaneceram estáveis clinicamente. Neste grupo de pacientes a curto prazo não houve recorrência de arritmias ventriculares, os 4 pt tiveram alta hospitalar 4-48h após a ablação de TV com tempo médio de internação hospitalar de 4 días. Não houve óbitos por nenhuma causa. Os pacientes seguem em acompanhamento abluatorial sem registro de novos eventos até o momento. Conclusão: Assim a experiência inicial com esta modalidade terapêutica dem

# SBC CARDIO

### **Resumos Temas Livres**

#### 2108

ABLAÇÃO DE FA PERSISTENTE COM ISOLAMENTO DE PAREDE POSTERIOR POR ACESSO JUGULAR EXCLUSIVO EM PACIENTE COM OBSTRUÇÃO DE VEIA CAVA INFERIOR

MUHIEDDINE OMAR CHOKR'; PEDRO MARIO PINTO VANDONI?; PEDRO VIEIRA LINHARES?; ITALO BRUNO DOS SANTOS SOUSA?; KAREN PRISCILLA BRUZZAMOLINO TEIXEIRA?; OLGA FERREIRA DE SOUZA?; MAURÍCIO IBRAHIM SCANAVACCA?.

1. INSTITUTO DO CORAÇÃO INCOR-HCFMUSP E REDE D'OR DE SÃO PAULO, SÃO PAULO - SP - BRASIL; 2. INCOR - INSTITUTO DO CORAÇÃO, SÃO PAULO - SP - BRASIL; 3. REDE D'OR, RIO DE JANEIRO - RJ - BRASIL.

Introdução: Na atualidade a ablação da fibrilação atrial se estabeleceu como o tratamento de eleição e com os melhores resultados na estratégia terapêutica dessa arritmia. No entanto, situações na qual ocorra a impossibilidade de acesso ao atrio esquerdo por via femoral, tornam a realização do procedimento desafiadora. Relatamos o caso de paciente masculino de 68 anos, com fibrilação atrial persistente, Fração de ejeção de 40%, sintomático apesar do tratamento clínico e com tentativa de ablação prévia sem sucesso por impossibilidade de acesso venoso femoral. Indicado nova ablação por acesso jugular exclusivo. Realizado 2 punções de veia jugular esquerda, guiado por ultra sonografía, para passagem de sonda de ecointracardiaco 11F, cateter decapolar en bainha de transeptal Agiles NTX. Realizado posicionamento de cateter decapolar en seio coronário, a seguir realizado inversão da imagem de ecointracárdiaco, e sob visualização direta do septo interatrial, realizado punção transeptal com auxilio de fio guia passando pela bainha, o qual foi conoctado a gerador de radiofrequência externo. Aplicando radioquência com 20W em extremidade distal do guia, foi realizada punção transeptal sem intercorrências, com posicionamento da bainha no interior do atrio esquerdo. Realizado a construção do mapa do atrio esquerdo utilizando cateter smarttouch 3,5mm ST. A seguir com 45W anterior e 40 W em parede posterior, realizado ablação por radiofrequência ( Carto3), guiado por Sure point, com isolamento das 4 veias pulmonares e da parede posterior do atrio esquerdo. Testes com isuprel sem evidencia de foco extravenoso. Paciente recebeu alta após 24h de observação sem intercorrências. Após 18 meses de seguimento teve normalização da função ventricular passando a fração de ejeção de 40% para 57%, e evoluindo assintomático cardiovascular sem uso de medicação a dejeção de 100 para 157%, e evoluindo assintomático cardiovascular sem uso de medicação a dejeção de 40% para 57%, e evoluindo assintomático cardiovascular sem uso de medicação a fa

### 2084

DESPOSICIONAMENTO DE CABO-ELETRODO ATRIAL EM MARCAPASSO DUPLA CÂMARA: CAPTURA VENTRICULAR DEPENDENTE DA FREQUÊNCIA DE ESTIMULAÇÃO

MATEUS BRAGA VALLE; CINTHYA IBRAHIM GUIRAO; GUILHERME MOREIRA PIZETTA; ALEXANDRE LUKAS REIS MARREIROS; VICTOR BAROUKI KORMANN; LUISA CARVALHO BENEDITO; HUGO CARDOSO DE SOUZA FALCON; JOAQUIM TENENTE ANA DE CAMPOS; SILVANA ANGELINA D'ORIO; MARTINO MARTINELLI FII HO

INSTITUTO DO CORAÇÃO - HCFMUSP, SÃO PAULO - SP - BRASIL

Apresentamos o caso clínico de uma paciente com marcapasso atrioventricular Apresentativos o caso clinico de una padente com macepasos autocomodos (MPAV) e disfunção do cabo eletrodo atrial (CEA), por desposicionamento, causando comportamento anômalo de acordo com as frequências de estimulação programadas. Relato do caso: paciente de 70 anos, com MPAV implantado em 2020 por bloqueio atrioventricular total (BAVT) de etiologia pós operatória (troca valvar aórtica). Encaminhada ao InCor em 2023 para avaliação eletrônica: assintomática do ponto de vista cardiovascular, programação basal em modo DDDR, frequência de estimulação (FE) de 60 a 130ppm e intervalo atrioventricular (IAV) de 160 a 200ms. Ao ECG, apresentava estimulação AV com captura ventricular pelo CEA (QRS positivo em D3) e IAV de 100ms. Testes realizados: 1º) avaliação do ritmo basal em modo VVI, FE de 30ppm, demonstrando ritmo sinusal para os átrios com frequência de 60bpm e BAVT sem escape (FIG 1A); 2º) modo DDD, FE 60ppm, IAV de 300ms → espícula atrial com captura de ventrículo direito (VD), IAV de 100ms caracterizando estimulação ventricular de segurança (safety-pace) (FIG 1B); 3º) modo DDD, FE 100ppm, IAV de 300ms → estimulação atrial sem captura e sem sensibilidade atrial, IAV de 320ms e captura do VD pelo cabo-eletrodo ventricular (CEV) (QRS negativo em D3) (FIG 2A). A radiografia de tórax demonstrou extremidade do CEA alocada na transição entre o átrio direito (AD) e o VD (FIG. 2B). A tomografia computadorizada do tórax confirmou CEV fixado em parede livre do VD e CEA com extremidade posicionada na via de entrada do VD, em região subtricuspídea anterior. Interpretação: é possível que o aumento da frequência de estimulação, ao causar redução do tempo de enchimento ventricular, promova menor amplitude de movimento do CEA em direção ao septo infundibular, interrompendo a estimulação ventricular pelo mesmo. Conduta: reprogramado dispositivo em modo VVIR e FE de 70 a 120ppm, com planejamento de troca eletiva do CEA.



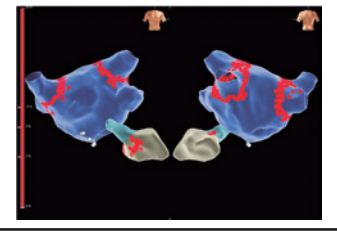
### 2104

ABLACAO SEPTAL COMBINADA A ABLACAO DE FA: UMA SOLUÇÃO ELEGANTE NA INSUFICIENCIA MITRAL PELO SAM EM OBSTRUÇÃO GRAVE DA VSVE?

BRUNO PEREIRA VALDIGEM; ANDREA ANDRADE VILELA; EDILEIDE DE BARROS CORREIA; ROGERIO ANDALAFT; LUCIANA VIDAL ARMAGANIJAN; ANTONIO TITO PALADINO FILHO; GABRIELA HINKELMANN BERBERT; HUGO BELLOTTI LOPES; PAULO ALEXANDRE DA COSTA; LARISSA VENTURA BRUSCKY; CLÁUDIA DA SILVA FRAGATA.

INSTITUTO DANTE PAZZANESE DE CARDIOLOGIA, SAO PAULO - SP - BRASIL

Paciente 67 anos, portadora de fibrilacao atrial e cardiomiopatia hipertrofica obstrutiva, com paroxismos de fibrilacao atrial sintomáticos, com reducao de classe funcional e internações frequentes. Apresenta dispneia a pequenos esforços, evoluindo para dispneia em repouso quando em fibrilacao atrial. Apresenta gradiente máximo de 112mmHg provocado. Atrio esquerdo 59mm, volume indexado de 136ml/m2. Presença de insuficiencia mitral grave associada a movimento anterior sistólico (SAM) da válvula mitral. Após discussão prolongada optamos por abordar as veias pulmonares associado a estratégia que pudesse mitigar o impacto negativo da insuficiencia mitral causada pelo SAM. A ablacao foi realizada via transseptal(veias pulmonares) e retoaortica(septo interventricular), como forma de permitir lesoes mais prolongadas e evitar dano ao folheto anterior da Valvula mitral. Obtivemos reducao aguda de 84mmHg para 20mmHg(intubada sob anestesia geral). A paciente foi extubada ainda em sala, encaminhada a Uti. A despeito de hematoma inguinal na retirada do introdutor e uma fase inflamatória prolongada nas primeiras 48h, a paciente recebeu alta no 5 dia de pos operatório, assintomática. Este é o primeiro relato de ablacao associada em portadora de obstrução grave da via de saída de ventriculo esquerdo. Procedimentos combinados podem ser realizados por equipes experientes, dependendo do reconhecimento de possíveis complicacoes.



### 1973

### MAT PILATES PARA TRATAMENTO DA SÍNCOPE VASOVAGAL POR TELEMEDICINA

PRISCILLA MAZI<sup>1</sup>; RENATA PIMENTEL LEITE<sup>2</sup>; RICARDO GARBE HABIB<sup>2</sup>; DALMO ANTONIO RIBEIRO MOREIRA<sup>2</sup>; BRUNO PEREIRA VALDIGEM<sup>2</sup>; ANGELO AMATO VINCENZO DE PAOLA<sup>1</sup>; FATIMA DUMAS CINTRA LUIZ<sup>1</sup>.

1. UNIFESP, SÃO PAULO - SP - BRASIL; 2. INSTITUTO DANTE PAZZANESE DE CARDIOLOGIA, SÃO PAULO - SP - BRASIL.

Introdução: A diminuição do retomo venoso é o mecanismo pivotal para o desencadeamento do reflexo vasovagal em pacientes com síncope reflexa. Programas de condicionamento físico (PCF) têm se mostrado promissores para diminuição da recorrência de eventos, possivelmente, pela melhoria do retorno venoso. Entretanto, PCF são caros e pouco acessíveis. O uso do mat Pilates por telemedicina (MPT) pode facilitar a disponibilidade desse tratamento. **Objetivos:** Avaliar a recorrência de síncope/ pré-síncope em pacientes com síncope vasovagal (SVV) submetidos a MPT; avaliar a segurança do MPT no tratamento da SVV. Metodologia: Foram inclusos pacientes de 18 a 65 anos, com diagnóstico de SVV e pelo menos 1 episódio de síncope ou 2 de pré-síncope nos últimos 3 meses, do ambulatório de síncope da UNIFESP e da seção de eletrofisiologia e aritminas do IDPC, entre março de 2022 e julho de 2023. Foram excluídos pacientes com evidência de doença cardíaca estrutural (DCE), doenças crônicas (DCR) e com impossibilidade de horário. O MPT possuiu 36 sessões síncronas. Foram realizadas 3 sessões semanais, em grupos de até 3 pessoas, com 1 hora de duração. As fichas clínicas com parâmetros hemodinâmicos, eventos adversos e bemestar foram preenchidas a cada sessão. O diário de síncope foi preenchido durante 90 dias. O questionário WHOQOL foi aplicado no início e fim do estudo. Todos os pacientes assinaram o TCLE (CEP: 5.731.062). Foi considerado nível de significância <65%. **Resultados:** Foram selecionados 229 pacientes, sendo excluídos 27% por DCR ou DCE, 55% por idade, 13% por indisponibilidade, dos quais 11 foram elegíveis e 9 concluíram o estudo. A redução na recorrência de síncope/pré-síncope foi observada após 45 dias de MPT quando comparado com o primeiro período (5,78±2,54 versus 4,00±3,57, p=0,035), gráfico 1. A média do bem-estar foi maior ao término de cada sessão quando comparado ao inicial, entretanto não modificou ao longo do MPT. O WHOQOL não apresentou diferença significativa. A assiduidade foi de 86%. Nenhum evento adver



### 2092

OTIMIZAÇÃO DO ATENDIMENTO NA CLÍNICA DE ANTICOAGULAÇÃO COM USO DO APLICATIVO WHATSAPP BUSINESS E CHATBOT NA PANDEMIA : UM ESTUDO DE COORTE

RITA SIMONE LOPES MOREIRA<sup>1</sup>; ENIA LUCIA COUTINHO<sup>2</sup>; ANGELO AMATO VINCENZO DE PAOLA<sup>3</sup>.

1. ESCOLA PAULISTA DE ENFERMAGEM UNIFESP, SÃO PAULO - SP - BRASIL; 2. HOSPITAL SÃO PAULO, SÃO PAULO - SP - BRASIL; 3. DISCIPLINA DE CARDIOLOGIA ESCOLA PAULISTA DE MEDICINA UNIFESP, SÃO PAULO - SP - BRASIL.

Introdução: Com a mudança drástica do cenário mundial, em decorrência da pandemia de COVID-19, esta pesquisa ocorreu durante este período e tem como objetivo demonstrar a eficiência de atendimento com a utilização das ferramentas WhatsApp Business e ChatBot, pela equipe multiprofissional com intuito de manutenção do cuidado e busca ativa dos indivíduos. Métodos: Trata-se de um estudo de coorte descritivo, retrospectivo, em um hospital de grande porte, relacionado ao acompanhamento de pacientes em uso de anticoagulantes orais anatgonistas de vit k na clínica de de anticoagulação, composta por médico, enfermeiro, biomédico farmacêutico e nutricionista para pacientes com fibrilação atrial, o atendimento ocorreu por meio do aplicativo WhatsApp Business, no período de julho de 2020 a dezembro de 2020. O atendimento foi oferecido a todos devido a indicação de isolamento social, com acesso à internet e ao aplicativo, com compreensão e capacidade de uso do smartphone pelo paciente ou familiar. O serviço prestado consistiu no atendimento remoto durante os dias de funcionamento do ambulatório, de acordo com a preferência do paciente, seja por meio de ligações e/ou mensagens. Além do serviço ChatBot para orientações gerais e solicitações de agendamento, pedido médico e prescrição. Foram coletadas informações registradas na conta do WhatsApp Business do ambulatório e em prontuário eletrônico. **Resultados:** Com 70 participantes foram solicitados 280 atendimentos à distância, em média, 4 atendimentos por participante sendo 98 teleconsultas realizadas exclusivamente por mensagens e 64 teleconsultas através do uso do aplicativo associado ao serviço telefônico. 47,14% dos participantes receberam pelo menos uma ligação para complementar o atendimento remoto pelo aplicativo, com manutenção de um TTR de 64,7% sendo que a média nacional é de 60%. Conclusões: O uso do WhatsApp Business possibilitou o atendimento remoto por meio de ligações e mensagens, gravação das ligações realizadas e direcionamento do atendimento solicitado por mensagens automáticas. Possibilitando maior flexibilidade com a assistência prestada. A introdução destas possibilidades de atendimento reforçam e aproximam o cuidado em saúde para esta população

### 2098

PREDITORES DE ANSIEDADE E DEPRESSÃO EM PACIENTES COM DISPOSITIVOS CARDÍACOS IMPLANTÁVEIS

THAÍS MARQUES DE CARVALHO; SERGIO FREITAS DE SIQUEIRA; CAIO VITALE SPAGGIARI; SILVANA ANGELINA D'ORIO; ANÍSIO ALEXANDRE ANDRADE PEDROSA; THIAGO OVANESSIAN HUEB; MÁRYA DUARTE PAGOTTI; CINTHYA IBRAHIM GUIRAO; MARCOS MARTINELLI SACCAB; MARTINO MARTINELLI FILHO; SERGIO AUGUSTO MEZZALIRA MARTINS.

INCOR - HCFMUSP, SÃO PAULO - SP - BRASIL

Introdução: Dentro do contexto de saúde é importante compreender que ao lidar com o adoecimento é necessário considerar a singularidade do sujeito e a complexidade do processo saúde-doença. Nesse sentido, a presença de sinais de ansiedade e depressão relacionados com indicadores de saúde podem ser apontados como fatores que interferem na resposta terapêutica de pacientes com cardiomiopatias Objetivo: Identificar fatores independentes que possam estar associados a ansiedade e depressão em população assistida por unidade clínica de estimulação cardíaca (UCEC) em hospital público terciário. **Metodologia**: Estudo transversal da coorte de cardiopatas do estudo PROSA (Projeto Saúde e Álcool) em seguimento na UCEC. Foram considerados dados demográficos, antropométricos, condição socioeconômica, cardiomiopatia de base, tipo de dispositivo cardíaco eletrônico implantável (DCEI), consumo nocivo de álcool, tabagismo e rastreio de ansiedade e depressão pelo questionário Hospital Anxiety and Depression Scale (HADS). Os pacientes foram agrupados conforme presença ou não de ansiedade e depressão. A avaliação constou de análise univariada com teste t de Student ou Qui quadrado conforme o tipo de dado, avaliação de colinearidade e análise multivariada por regressão logística bivariada. **Resultados:** Foram avalidados 1992 pacientes com idade média de 67,97 ±14,75 anos, 1279 (64,2%) eram do sexo masculino e as principais cardiomiopatias foram 18,1% de isquémicos, 10,8% de idiopáticos, 19,0% de Chagas e sem cardiopatia estrutural ao ecocardiograma 24,3%. Foram identificadas como variáveis independentes para ansiedade a idade (OR 0,98; 95%IC: 0,97 a 0,98; p<0,0001), sexo masculino (OR on (38; 95%IC: 0,29 a 0,50; p<0,0001) e presença de marcapasso, desfibrilador e ressincronizador com OR de 1,4; 1,9 e 2,0 respectivamente. Com relação a depressão apenas sexo masculino foi preditor independente (OR 0,34; 95%IC: 025 a 0,52; p<0,0001). **Conclusão:** Foi possível identificar fatores independentes de risco para ansiedade e depressão entre pacientes seguidos em UCEC, sendo os mais relevantes o sexo masculino, tipo de dispositivo implantado e a idade



### ÍNDICE REMISSIVO POR AUTOR E Nº DO TEMA

A

Abilio Augusto Fragata Filho - 2024

Adriano Cesar Ventura - 2101

Afonso Dalmazio Souza Mario - 1978, 2043

Ahmed Alturki - 1998, 1999, 2011

Alberto Pereira Ferraz - 1978

Alexander Dal Forno - 1966, 1992, 2009, 2060

Alexandra Regia Dantas Brigido - 1978

Alexandre Lukas Reis Marreiros - 2084

Alexandre Pego Xavier - 2018, 2054

Alexandre Perin Decol - 2047

Alexandre Santoro Francisquini - 2001

Alfredo Aurélio Marinho Rosa Filho - 2018, 2054

Almino Cavalcante Rocha Neto - 1958, 1959

Aloyr Gonçalves Simões Junior - 1985, 1986, 1987, 1993,

2004, 2023

Aloyr Simões Jr - 2079, 2080, 2090

Alvaro Lazarte Arias - 1984

Anderson Barcelos - 2004

Anderson de Melo Mota Ataide - 2101

Andre Assis Lopes do Carmo - 2042

André Del'arco Esper - 2062

André Lucas Callejas Rivera - 2070

Andre Luiz Buchele D´Ávila - 1966, 2009, 1992, 2060

André Pacheco Silva - 1966

Andre Schmidt - 1985, 1986, 1987, 1993, 2004, 2079

Andre Zimerman - 1992, 2060

Andrea Andrade Vilela - 2104

Andrea de Andrade Vilela - 2083

Andrei Lewandowski - 1966

Andres Di Leoni Ferrari - 2065, 2086

Andressa de Abreu Costa - 2088

Angelo Amato Vincenzo de Paola - 1973, 1988, 1994, 2058,

2092

Anísio Alexandre Andrade Pedrosa - 2012, 2037, 2098,

2091

Anna Paula Goncalves Olivieri - 2033, 2055

Antonio da Silva Menezes Junior - 2070

Antonio Luiz Pinho Ribeiro - 2042

Antonio Tito Paladino Filho - 2083, 2104

Antony H Santos - 2065

Arnold Jason Benavidez Pena - 2062

Atul Verma - 1998, 1999, 2011

B

Bárbara Nascimento - 2070

Bernardo Neuhaus Lignati - 2086

Breno Affonso Madaloso - 2081, 2078, 2081

Bruno Pereira de Moraes - 2101

Bruno Pereira Valdigem - 1973, 2083, 2097, 2104

Bruno Ramos Nascimento - 2042

C

Caio de Assis Moura Tavares - 2081

Caio Vitale Spaggiari - 2012, 2037, 2091, 2098, 2101

Caique Martins Pereira de Moura Ternes - 1992, 2060, 2070

Camila Helena Macedo da Costa - 2044

Carina Abigail Hardy - 1978, 2043, 2067, 2075

Carisi A Polanczyk - 1992, 2060

Carla de Almeida - 2097

Carla Septimio Margalho - 2017

Carlos Alberto Pastore - 2078, 2081

Carlos Alexandre Volponi Lovatto - 1985, 1986, 1987, 1993,

2004, 2023, 2079, 2080, 2090

Carlos Arthur Hansel Diniz da Costa - 1988, 1994, 2058



Carlos Eduardo Duarte - 2020 Edileide de Barros Correia - 2083, 2104 Carlos Morillo - 2042 Eduarda Silva Rodrigues - 2037 Cecilia Monteiro Boya Barcellos - 2021, 2062 Eduardo Barbosa - 2033 Eduardo Benchimol Saad - 2020, 2106 Cezar Eumann Mesas - 2030, 2055 Charles Slater - 2020, 2106 Eduardo Boghossian Cordovil - 2033 Eduardo Dan Itaya - 2009 Christiano Lemos da Cunha - 1985, 1986, 1987, 1993, 2004, 2023, 2079, 2090 Eduardo Giestas Serpa - 1985, 1986, 1987, 1993, 2004, 2023, 2079, 2080, 2090 Cinthya Ibrahim Guirao - 2012, 2037, 2084, 2091, 2098 Eduardo Gomes Lima - 2044 Cláudia da Silva Fragata - 2024, 2097v2104 Eduardo Pelegrineti Targueta - 1978, 2043 Claudio Caetano de Faria Junior - 2030, 2055 Eduardo Rocha - 1958, 1959, 1974 Claudio Cirenza - 1988, 1994, 2058 Edvagner Sergio Leite de Carvalho - 1955 Claudio Munhoz da Fontoura Tavares - 2001 Edvaldo Ferreira Xavier Junior - 2018 Clovis Froemming Junior - 1966 Cristiane Bezerra Liberato - 1958, 1959 Edvaldo Ferreira Xavier Junior - 2054 Elton Pinheiro Barbiero - 2023 Cristiano de Oliveira Dietrich - 2044, 2052 Emilio Logarzo - 1960, 1961, 1962 Cristiano Faria Pisani - 1978, 2043, 2067, 2075 Emmanuella Andrade Leal - 2033 Enia Lucia Coutinho - 1988, 1994, 2058, 2092 Dalbian Simões Gasparini - 1985, 1986, 1987, 1993, 2004, 2023, 2079, 2080, 2090 Eusébio Ramos dos Santos Filho - 2062 Dalmo Antonio Ribeiro Moreira - 1973, 1996 Evelyn Garcia - 1960, 1961, 1962 Dalton Hespanhol Amaral - 1985, 1986, 1987, 1993, 2079, 2080, 2090 Fabiano Barrionuevo - 2088 Daniel Moreira Costa Moura - 2073 Fabiano Novaes Barcellos Filho - 2044 Daniel Nunes da Rosa - 2086 Fabrício Sarmento Vassallo - 1985, 1986, 1987, 1993, 2004, Daniel Ortega - 1960, 1961, 1962 2023, 2079, 2080, 2090 Dario de Moura - 2018, 2054 Fatima Dumas Cintra Luiz - 1973 Davi Sales Pereira Gondim - 1974 Fausto Feres - 1996, 2021 Débora Pacheco Flach - 2088 Felipe Ferraz Martins Graça Aranha - 2009 Diandro Marinho Mota - 2044 Fernanda Donner Alves - 1992, 2060, 2088 Douglas Mesadri Gewehr - 2070 Fernando Artur dos Santos -1955 Flávia Paiva Proença Lobo Lopes - 2044 Edevaldo da Silva - 1987, 2004 Francisca Tatiana Moreira Pereira - 1974



Francisco Maia da Silva - 2065

Frederico Scuotto - 1994

G

Gabriel de Abreu Silva - 2030, 2055

Gabriel José Silva Júnior - 2017

Gabriel Pelegrineti Targueta - 2073

Gabriela Grande Giaretta - 1984

Gabriela Hinkelmann Berbert - 2083, 2097, 2104

Gabriela Menichelli Medeiros Coelho - 1988, 1994, 2058

Gabriela Rodrigues de Oliveira - 1988, 1994, 2058

Geraldo Lorenzi Filho - 2091

Gilberto Balby Araujo Filho - 2021

Giulliano Gardenghi - 1951

Glaucia Fragoso Hohenberger - 2088

Guilherme Augusto Teodoro Athayde - 2073

Guilherme Ferreira Gazzoni - 2086

Guilherme Marcos Levy Lamella - 2109

Guilherme Moreira Pizetta - 2084

Gustavo Aliano Gambaro - 2030

Gustavo Chiari Cabral - 2086

Gustavo de Araujo Silva - 2042

Gustavo Galli Reis - 2030, 2055

Gustavo Glotz de Lima - 2047, 2061

Gustavo Santiago - 2018, 2054

Gustavo Vignoli dos Santos - 2020, 2106, 2109

Н

Helcio Garcia Nascimento - 1966

Henrique Cesar de Almeida Maia - 2017

Henrique Takachi Moriya - 1996, 2021

Hermes Carloni Araújo - 1985, 1986, 1987, 1993, 2004,

2023, 2079, 2080, 2090

Horacio Gomes Pereira Filho - 2078, 2081

Hugo Bellotti Lopes - 2104

Hugo Cardoso de Souza Falcon - 2012, 2084

Humberto Weber Fernandes - 2044

I

Ibraim Masciarelli Francisco Pinto - 2083

Ieda Prata Costa - 1958, 1959

Ingrid Mealla Saucedo - 2052

Isabele Ayumi Miyawaki - 2070

Israel Guilharde Maynarde - 1951

Italo Bruno dos Santos Sousa - 2067, 2108

J

Jacqueline Joza - 1998, 1999, 2011

Jairo Macedo da Rocha - 2017

Jessica Caroline Feltrin Willes - 2086

Jessica de Araujo da Fonseca Fernandes - 2020, 2106

João Augusto Silva Brustulin - 2030, 2055

Joao Paulo Velasco Pucci - 1955

João Victor Innecco Areas - 2044

Joaquim Tenente Ana de Campos - 2084

Jorge Eduardo Assef - 1996, 2021, 2083

Julia Petry Trevisani - 1984

Julia Santos Duarte Fernandes - 1974

Juliana Souza Santos - 1992, 2060

K

Karen Priscilla Bruzzamolino Teixeira - 2067, 2108

Kárila Scarduelli Luciano - 1984

Karla Loureiro Meira - 2080

Larissa Ventura Bruscky - 2083, 2104



Laura Pancotte Berndsen - 1984 Luiz Gabriel May - 1984

Luiz Gustavo Bravosi da Rosa - 1998, 1999, 2011 Leandro loschpe Zimerman - 1992, 2060

Lenine Angelo - 2018, 2054

Leonardo Antunes Mesquita - 2043 Marcela Fiel Rodrigues - 2037

Leonardo Paschoal Camacho Varoni - 2078, 2081 Marcello Russo - 2018

Leonardo Pinheiro de Campos Pinho - 2033 Marcelo de Paula Martins Monteiro - 1974

Leonardo Rezende de Sigueira - 2001 Marcelo Ferreira Palomo Valle - 2033

Leonardo Röthlisberger - 2043 Marcelo Imbroinise Bittencourt - 2033

Leticia Torres - 2018, 2054 Marcelo Lapa Kruse - 2047, 2061

Lilian Lucia Amador Resende - 2073 Marcelo Russo - 2054

Liliane Appratto Souza - 1992, 2060 Marco Antonio Vinciprova Dall Agnese - 2047, 2061

Livia Teixeira Martins E Silva - 2062 Marco Aurelio Lumertz Saffi - 2061

Lucas Brandão Cavalcante - 2018, 2054 Marcone Brandao - 2018, 2054

Lucas Carvalho Dias - 2020, 2106 Marcos Guilherme Martinelli Saccab - 2037, 2091

Lucas Corcino dos Santos - 1985, 1986, 1987, 1993, 2004, Marcos Martinelli Saccab - 2012, 2098

2023, 2079, 2080, 2090

Marcos Roberto Queiroz Franca - 2042 Lucas de Assis Nogueira de Moura Rangel - 2033

Lucas V Ciccozzi - 2065

Mariane Higa Shinzato - 1996, 2021 Luciana Eder Martins Barros Simoni - 1966

Marina Drummond Marques Leitão - 2097 Luciana Fernandes Balestra - 1951

Marina Mayrink - 2042 Luciana Vidal Armaganijan - 2052, 2083, 2104

Martha Valeria Tavares Pinheiro - 2001 Luciano Ferreira Drager - 2091

Martin Bernier - 1998, 1999, 2011 Luciano Ramos Boff - 1966

Martino Martinelli Filho - 2012, 2037, 2084, 2091, 2098, 2101

Mariana de Barros Castellaneta - 2033

Luis Eduardo Rohde - 1992, 2060

Luiz Eduardo Montenegro Camanho - 1958, 1959, 2020,

Luis G Abdalla - 2075 Márya Duarte Pagotti - 2098

Luís Henrique Klafke - 2086 Mateus Braga Valle - 2012, 2084

Luisa Carvalho Benedito - 2037, 2084 Matheus Cassimiro Partata - 1988, 1994, 2058

Luisa Diogenes Queiroz - 1974 Matheus Henrique Colepicolo Brianezi - 2062

Luiz Antonio Oliveira Inacio Junior - 2020, 2106 Maurício Ibrahim Scanavacca - 1978, 2043, 2067, 2075,

2108

2106 Maurício Luís Spessatto - 1966

Maximiliano R Guimarãe - 2065 Luiz Fernando M - Barbosa - 2023, 2090



Pedro Henrique Correia Filgueiras - 2058

Pedro Mario Pinto Vandoni - 2067, 2108

### Índice Remissivo

Mayara Maza Marques - 2011 Pedro Sales Pereira Gondim - 1974 Michael H Mikami - 2065 Pedro Vieira Linhares - 2067, 2108 Mirella Esmanhotto Facin - 2078, 2081 Poliana Ferreira Stroligo Dias - 2033 Muhieddine Omar Chokr - 1978, 2043, 2067, 2075, 2108 Priscilla Mazi - 1973 R Nancy Maria Martins de Oliveira Tobias - 2081 Rafael Augusto Lethier Rangel - 2001 Natasha Soares Simoes dos Santos - 1996, 2021 Rafael de March Ronsoni - 1984 Nathalia Palomo Valle - 2109 Rafael Thiesen Magliari - 2052 Nelson Samesima - 2078, 2081 Raoni de Castro Galvão - 1955 Nicolas Bioni Stefano - 2086 Raphael dos Santos Coutinho E Silva - 2101 Nicolas Mangani - 1960, 1961, 1962 Rayssa S Gois - 2065 Nilson Araujo de Oliveira Junior - 2001 Rebecca Amaral Pires Moura - 2030 Remy Nelson Albornoz Vargas - 2062 Renata Pimentel Leite - 1973 Ofir Gomes Vieira - 1955 Renato David da Silva - 2017 Olga Ferreira de Souza - 2001, 2067, 2108 Renato de Aguiar Hortegal - 1996, 2021 Renato Haviaras Cancellier - 1996 Paolucci Analia Gladys - 1960, 1961, 1962 Renner Augusto Raposo Pereira - 2073 Patricia Mattos Vieira do Paço - 2001 Reynaldo de Castro Miranda - 2042 Paula Damasco do Vale - 2017 Rhanniel Theodorus Helhyas Oliveira Shilva Gomes Villar -Paula Sanchez - 1998, 1999, 2011 1988, 1994, 2058 Ricardo Felipe Ramos - 1984 Paulo Alexandre da Costa - 2083, 2104 Paulo de Tarso Jorge Medeiros - 1996, 2021, 2062 Ricardo Ferreira Coelho de Miranda - 2017 Paulo Henrique Peitl Gregório - 2075 Ricardo Garbe Habib - 1973 Paulo Manuel Pêgo-Fernandes - 2075 Ricardo Mourilhe-Rocha - 2033 Paulo Roberto Slud Brofman - 2065 Rita Simone Lopes Moreira - 2092 Paulo Roberto Telles Pires Dias - 2044 Roberta do Nascimento Andrade - 1984 Roberto Alvarez Coello - 2043 Pedro Arthur Ferreira Borges - 2062 Pedro Felipe Prates Silva - 2017 Roberto Costa - 2101

Roberto da Justa Pires Neto - 1974

Roberto Lima Farias - 1958, 1959



Rodrigo Bellio de Mattos Barreto - 2021

Rodrigo M Milani - 2065

Rodrigo Melo Kulchetscki - 1978, 2043, 2067, 2075

Rodrigo Pereira de Almeida - 2088

Rodrigo Periquito Cosenza - 2001

Rogerio Andalaft - 2083, 2104

Rogério Braga Andalaft - 2097

Rojas Paola - 1961

Ronaldo Vasconcelos Távora - 1958, 1959

Rosa Livia Freitas de Almeida - 1974

Roseana Boek Carvalho - 2088

Rubia Carla Cappellari Tolentino - 1984

Ruiter Carlos Arantes Filho - 2017

S

Santiago Sanchez Bustamante - 2011

Sara Carolline Gomes de Araujo Lima - 2018, 2054

Sergio Augusto Mezzalira Martins - 2012, 2037, 2091, 2098

Sergio Decker - 1992, 2060

Sérgio Ferreira de Ferreira Filho - 2047, 2061

Sergio Freitas de Siqueira - 2012, 2037, 2091, 2098, 2101

Sergio Henrique Rodolpho Ramalho - 2044

Silvana Angelina D'orio - 2012, 2037, 2084, 2091, 2098

Silvia Helena Cardoso Boghossian - 2033

Sissy Lara de Melo - 1978, 2043, 2075

Stephanie Schäfer - 2047

T

Tainá M Vasconcelos - 2101

Tamer El Andere - 2052, 2101

Tamer Najar Seixas - 2017

Tayene Albano Quintella - 2001

Thaís Marques de Carvalho - 2098

Thiago Camargo Moreira - 2086

Thiago Ovanessian Hueb - 2012, 2091, 2098

Tiago Luiz Luz Leiria - 2047, 2061, 2061

Tom Hadjis - 1998, 1999

V

Valeria Anglesio - 1998, 1999, 2011

Vanessa Puche Salazar - 1996, 2021

Victor Barouki Kormann - 2084, 2044

Vidal Essebag - 1998, 1999, 2011

Vinícius Augustus Barusso Beleze - 2030, 2055

Vinicius Fraga Mauro - 2080

Vítor Bastos Lovisi - 1978

Vladimir Poletaev - 2011

W

Walter Duarte Batista Junior - 2023

Werbert Carlos Santos - 2101

William Oliveira de Souza - 2001

Y

Yuri Maduro - 1996

## JUNTE-SE A NÓS!

A Campanha da SOBRAC, "Coração na Batida Certa", está transformando vidas e combatendo a arritmia cardíaca.



Faça parte desse movimento pela saúde do coração. Sua batida, sua vida, sua escolha!

WWW.SOBRAC.ORG

